

西唯原第2遺跡(二次・三次)

Nishiunewara 2 Site

東九州自動車道（都農～西都間）建設に伴う埋蔵文化財発掘調査報告書17

2005

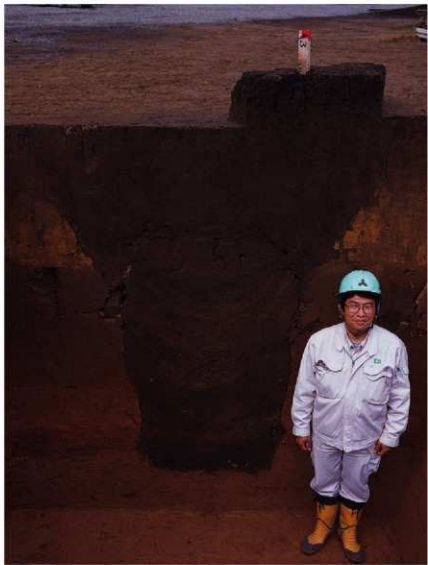
宮崎県埋蔵文化財センター



西畠原第2道路（二次調査）遠景 北東より



西畠原第2道路（三次調査）遠景 南西より



西鶴原第2遺跡（二次調査） 3号墓し穴 南より

序

宮崎県教育委員会では、東九州自動車道（都農～西都間）建設予定地にかかる埋蔵文化財の発掘調査を平成11年度から実施しております。本書はその発掘調査報告書であります。

本書に掲載した西鞋原第2遺跡（二次・三次）は、平成14年から15年にかけて発掘調査した遺跡です。今回の調査では、旧石器時代の礫群、石器ブロック、陥し穴、縄文時代早期の集石遺構、土坑が検出され、当該期の石器、土器も出土しました。

ここに報告する内容は、今後、当地域の歴史を解明する上で貴重なものになるものと考えられます。

本書が学術資料となるだけでなく、学校教育や生涯学習の場などで活用され、また、埋蔵文化財保護に対する理解の一助になれば幸いです。

最後に、調査にあたってご協力いただいた関係諸機関・地元の方々、並びに御指導・御助言を賜った先生方に対して、厚くお礼申し上げます。

平成17年3月

宮崎県埋蔵文化財センター
所長 宮園淳一

例 言

- 1 本書は、東九州自動車道（都農～西都間）建設に伴い、宮崎県教育委員会が実施した西駐原第2遺跡（二次・三次調査）の発掘調査報告書である。
- 2 発掘調査は、日本道路公団の委託により宮崎県教育委員会が調査主体となり、宮崎県埋蔵文化財センターが実施した。
- 3 現地での実測・写真撮影等の記録は、主に栗山正明、安藤真二、金丸史絵が行い、一部を発掘作業員の協力を得た。
- 4 調査区の座標設置及びグリッドの設定は、二次調査については、進藤測量に委託した。三次調査については、第1回を建設コンサルタントナガトモ、第2回を三和コンサルタントに委託した。
- 5 二次調査空中写真撮影は、スカイサーバイ九州に、三次調査は文化財サポート協会に委託した。
- 6 自然科学分析は株式会社古環境研究所に委託し、石器実測を九州文化財サポートに委託した。
- 7 整理作業は、遺物洗浄、注記、接合、トレースを、宮崎県埋蔵文化財センターで行った。また、種洗浄、注記、属性記録作業、接合等を、東駐原整理作業事務所（新富町大字新田字下迫口）で行った。写真撮影は、安藤が今堀屋製作所、阿部直人、整理作業員の協力を得て行った。
- 8 本書で使用した位置図は国土地理院発行の2万5千分の1をもとに作成した。
- 9 石材の鑑定は赤崎宏志が行った。
- 10 土層壁断面、石材、土層の色調は『新版 標準上色帖』に従った。本書で使用した方位は磁北である。
- 11 本書の執筆は安藤が担当した。
- 12 出土遺物・その他の諸記録は埋蔵文化財センターに保管している。
- 13 本遺跡の流紋岩については、以下のように色調による分類を行った。
流紋岩A……黒色(HueN1.5/または2/0)で無斑状のもの
流紋岩B……灰黄色(Hue2.5YR7/2)～暗灰黄色(Hue2.5YR5/2)～暗オリーブ褐色(Hue2.5YR3/3)で斑状のもの
流紋岩C……黒褐色(Hue2.5YR3/1)で無斑状のもの
流紋岩D……灰黄(Hue2.5YR7/2または6/2)で無斑状のもの

凡 例

- 1 掘図の縮尺は次の通りとする。
遺構・遺物分布図……1/400、1/800 土層壁断面図……1/60
遺構実測図……1/20、1/30 土器・石器実測図……2/3、1/3
以上を基本とするが、これ以外のものもある。
- 2 石器計測表の計測値は、下記の方法に従った。単位は、cm、gである。
- 3 実測図中の記号、表示は以下のものを示す。
石器の節理面は実測図は1点鎖線で表示した。「折れ」の確認された石器の欠損部分については、/の記号を記した。敲打痕については、下記の要領で記した。
- 4 遺構の略号は次の通りである。
S I = 集石遺構・礫群 S C = 土坑
S G = 道路状造構
- 5 遺構の略号は次の通りである。
a = 長さ
b = 幅
c = 厚さ



本文目次

第Ⅰ章 はじめに	
第1節 調査に至る経緯	1
第2節 調査の組織	1
第Ⅱ章 道路の環境	
第1節 地理的環境	2
第2節 歴史的環境	2
1 旧石器時代	2
2 縄文時代早期	4
第Ⅲ章 調査の経過と方針	
第1節 確認調査の概要	5
1 二次調査区の確認調査の概要	5
2 三次調査区の確認調査の概要	5
第2節 発掘調査の方法	5
1 調査の方法と調査区の設定・調査の手順	5
2 調査報告会（二次調査）	5
3 現地説明会（三次調査）	5
4 平成16年度第1回埋蔵文化財講座	5
5 日誌抄	7
(1) 二次調査	7
(2) 三次調査	7
第3節 整理作業及び報告書作成	9
1 整理の方針・方法	9
2 整理作業・報告書作成作業工程の実際	9
第Ⅳ章 調査の概要と基本層序	
第1節 調査の概要	10
1 二次調査	10
2 三次調査	10
第2節 基本層序	10
第Ⅴ章 二次調査の記録	
第1節 発掘調査の方法	14
1 調査の方法と調査区の設定	14
2 調査の手順	14
第2節 二次調査区の土層	14
第3節 旧石器時代の遺構と遺物	14
1 第Ⅰ文化層の遺構と遺物	17
(1) 遺構	17
(2) 遺物	18
2 第Ⅱ文化層の遺構	29

第4節 縄文時代早期の遺物	31
第VI章 三次調査の記録	
第1節 発掘調査の方法	33
1 調査の方法と調査区の設定	33
2 調査の手順	33
第2節 三次調査区の土層	33
第3節 旧石器時代の遺構と遺物	40
1 第I文化層の遺構と遺物	40
(1) 遺構	40
(2) 遺物	40
2 第II文化層の遺構と遺物	49
(1) 遺構	49
(2) 遺物	49
3 第III文化層の遺構と遺物	53
(1) 遺構	53
(2) 遺物	56
4 第IV文化層の遺構と遺物	60
(1) 遺構	60
(2) 遺物	65
第4節 縄文時代早期の遺構と遺物	66
1 遺構	66
2 遺物	68
3 時代不詳の遺構	77
第VII章 自然科学分析の結果	
第1節 はじめに	78
第2節 放射性炭素年代測定結果	78
第3節 種実同定	80
第4節 樹種同定	82
第5節 植物珪酸体分析	85
第VIII章 まとめ	
第1節 本道路のまとめ	95
1 二次調査区	95
2 三次調査区	95
3 三次調査区陥し穴1号 (SC1)について	96
4 三次調査で確認した硬について	97
5 隣接する遺跡と本道路の縁について	98
第2節 高鍋町・新富町検出の陥し穴について	100
1 はじめに	100
2 高鍋町・新富町で検出された陥し穴の特徴	100
3 陥し穴の使われた時代の手がかり	103

(1) 西畠原第2遺跡(二次・三次)の陥し穴	103
(2) 高鍋町・新富町の陥し穴	103
① 「A T下面からの深さ」から推定されること	103
② 陥し穴の使われた時代(仮説)	104
4 陥し穴の剥ぎ取り方法	106

挿 図 目 次

道路の環境・調査の概要・基本層序	
第1図 周辺地形図及び調査区(1/4,000) ···· 2	
第2図 道路分布図(1/50,000) ···· 3	
第3図 二次調査確認トレンド配置図(1/2,000) ···· 6	
第4図 三次調査確認トレンド配置図(1/2,000) ···· 6	
第5図 二次調査遺構分布図(1/600) ···· 11	
第6図 三次調査遺構分布図(1/600) ···· 11	
第7図 基本上層図 ···· 13	
第8図 遺構・遺物の概要 ···· 13	
二次調査	
第9図 周辺地形図及び二次調査区(1/4,000) ···· 14	
第10図 二次調査グリッド配置図(1/800) ···· 14	
第11図 二次調査土層位置図(1/1,600) ···· 15	
第12図 二次調査東西壁上層図(1/60) ···· 15	
第13図 二次調査南北壁上層図(1/60) ···· 16	
第14図 二次調査南北壁上層図(2)(1/60) ···· 17	
第15図 第I文化層遺構分布図(1/400) ···· 20	
第16図 第I・II文化層調査区域(1/1,600) ···· 20	
第17図 第I文化層石器ブロック・礫群分布図(1/400,1/200) ···· 20	
第18図 石器ブロック石材別分布図(1/200) ···· 21	
第19図 石器ブロック接合状況(1/400) ···· 21	
第20図 磕群実測図(1)(旧石器I)(1/40) ···· 22	
第21図 磕群実測図(2)(旧石器I)(1/40) ···· 22	
第22図 第I文化層石器実測図(1)(2/3) ···· 23	
第23図 第I文化層石器実測図(2)(2/3) ···· 24	
第24図 第I文化層石器実測図(3)(2/3) ···· 25	
第25図 第I文化層石器実測図(4)(2/3) ···· 26	
第26図 第I文化層石器実測図(5)(2/3) ···· 27	
第27図 第I文化層石器実測図(6)(2/3) ···· 28	
第28図 SC1(1号陥し穴)実測図(1/30) ···· 29	
第29図 SC2(2号陥し穴)実測図(1/30) ···· 30	
第30図 SC3(3号陥し穴)実測図(1/30) ···· 30	
第31図 縄文時代早期遺物分布図(1/800) ···· 31	
第32図 縄文時代早期調査区域(1/1,600) ···· 31	
第33図 縄文時代早期石器実測図(2/3) ···· 32	
三次調査	
第34図 周辺地形図及び調査区(1/4,000) ···· 34	
第35図 三次調査グリッド配置図(1/800) ···· 34	
第36図 三次調査上層位置図(1/800) ···· 35	
第37図 三次調査A区東西壁上層図(1)(1/60) ···· 35	
第38図 三次調査A区東西壁上層図(2)(1/60) ···· 36	
第39図 三次調査A区南北壁(西)上層図(1)(1/60) ···· 36	
第40図 三次調査A区南北壁(西)上層図(2)(1/60) ···· 37	
第41図 三次調査A区南北壁(東)上層図(1/60) ···· 37	
第42図 三次調査B区北東西壁上層図(1/60) ···· 38	
第43図 三次調査B区北南北壁上層図(1/60) ···· 38	
第44図 三次調査B区南南北壁上層図(1/60) ···· 39	
第45図 三次調査B区南東西壁上層図(1/60) ···· 39	
第46図 第I・II文化層遺構分布図(1/800) ···· 41	
第47図 第I・II文化層A区散発集中区東西壁土層図(1/60) ···· 41	
第48図 第I文化層遺物・礫群・散礫の分布(1/1,600) ···· 42	
第49図 第I・II文化層調査区域(1/1,600) ···· 42	
第50図 第I文化層遺物・礫群・散礫の分布(A区)(1/500) ···· 42	
第51図 第I文化層A区礫の接合(1/500) ···· 43	
第52図 磕群実測図(1)(旧石器I)(1/30) ···· 44	
第53図 磕群実測図(2)(旧石器I)(1/30) ···· 44	
第54図 磕群実測図(3)(旧石器I)(1/30) ···· 45	
第55図 A区散発集中区実測図(旧石器I)(1/50) ···· 46	

第56図	第Ⅰ文化層石器実測図(1) (2/3)	47
第57図	第Ⅰ文化層石器実測図(2) (2/3)	48
第58図	第Ⅱ文化層遺物・縄群・散疊の分布 (1/1,600)	50
第59図	第Ⅱ文化層遺物・散疊の分布(A区) (1/400)	50
第60図	第Ⅱ文化層石器・縄の接合状況 (1/400)(A区)	50
第61図	縄群実測図(4)(旧石器Ⅱ)(1/30)	51
第62図	第Ⅱ文化層石器実測図 (2/3)	52
第63図	第Ⅲ・Ⅳ文化層遺物分布図(1/800)	54
第64図	第Ⅲ・Ⅳ文化層調査区域(1/1,600)	54
第65図	第Ⅲ文化層遺物・縄群・散疊の分布 (1/1,600)	54
第66図	縄群実測図(5)(旧石器Ⅲ)(1/20)	55
第67図	縄群実測図(6)(旧石器Ⅲ)(1/20)	55
第68図	第Ⅲ文化層遺物・縄群・散疊集中区 (A区)(1/1,000)	55
第69図	第Ⅲ文化層縄の接合状況(A区) (1/500)	55
第70図	縄群実測図(7)(旧石器Ⅲ)(1/20)	56
第71図	第Ⅳ文化層遺物・散疊の分布 (1/1,600)	57
第72図	第Ⅲ文化層石器実測図(1) (2/3)	58
第73図	第Ⅲ文化層石器実測図(2) (2/3)	59
第74図	SC1(1号陥し穴)実測図(1/30)	62
第75図	SC1(1号陥し穴)底部ピット位置図 (1/30,1/20)	62
第76図	A区南北壁(東)谷部上層断面図(1/60)	63
第77図	A区SC1(1号陥し穴)南東部谷部上層 断面図(1/60)	63
第78図	A区谷部位置図(1/800)	63
第79図	SC2(2号陥し穴)実測図(1/30)	64
第80図	SC5(3号陥し穴)実測図(1/30)	64
第81図	SC6(不明土坑)実測図(1/30)	65
第82図	第Ⅳ文化層石器実測図 (2/3)	66
第83図	縄文時代早期遺構分布図(1/800)	69
第84図	縄文時代早期調査区域(1/1,600)	69
第85図	縄文時代早期遺物散疊分布図 (1/1,000)	69
第86図	集石遺構実測図(1)(1/20)	70
第87図	集石遺構実測図(2)(1/20)	70
第88図	集石遺構(S18~10)の位置図(1/60)	70
第89図	集石遺構実測図(3)(1/20)	71
第90図	集石遺構の東壁上層図(1/60)	71
第91図	集石遺構実測図(4)(1/20)	71
第92図	集石遺構実測図(5)(1/20)	72
第93図	集石遺構実測図(6)(1/20)	72
第94図	SC3(焼土を伴う土坑)実測図(1/30)	72
第95図	SC4(不明土坑)実測図(1/30)	73
第96図	SC7・8(不明土坑)実測図(1/30)	73
第97図	縄文時代早期B区北集石遺構周辺 遺物分布図(1/200)	73
第98図	土器実測図(1/3)	74
第99図	縄文時代早期石器実測図(1) (2/3)	75
第100図	縄文時代早期石器実測図(2) (2/3)	76
第101図	道路状遺構実測図(1/100,1/40)	77
	自然科学分析	
第102図	西畦原第2遺跡(二次調査)、SC1横地 点における植物珪酸体分析結果	91
第103図	西畦原第2遺跡(二次調査)、SC1にお ける植物珪酸体分析結果	91
第104図	西畦原第2遺跡(三次調査)、土層トレン チ1における植物珪酸体分析結果	92
第105図	西畦原第2遺跡(三次調査)、SC1・SC2・ SC3における植物珪酸体分析結果	92
第106図	試料採取地点	94
	まとめ	
第107図	陥し穴の規模や特徴	102
第108図	陥し穴のAT下面からの分類	102
第109図	本遺跡と6遺跡の位置 (1/50,000)	105
第110図	新富町・高鍋町で見つかった主な陥 し穴と集石遺構 (平成16年4月24日)	108
第111図	西畦原第2遺跡(三次調査)現地説明会 資料 (平成15年6月21日)	109

表 目 次

二次調査	
第1表 第I文化層石材別石器組成表	21
第2表 第I文化層礫群の石材・赤化率	22
第3表 磚群計測表	22
第4表 第I文化層石器計測表	28
第5表 縄文時代早期石材別石器組成表	31
第6表 縄文時代早期石器計測表	32
三次調査	
第7表 第I文化層石材別石器組成表	42
第8表 第I・II文化層礫の石材・赤化率	44
第9表 第I・II文化層磚群計測表	44
第10表 第I・II文化層石器の幅長比	46
第11表 第I文化層石器計測表	48
第12表 第II文化層石材別石器組成表	50
第13表 第I・II文化層散磚群計測表	51
第14表 第II文化層石器計測表	52
第15表 第III文化層石材別石器組成表	54
第16表 第III文化層磚群計測表	56
第17表 第III・IV文化層礫の石材・赤化率	57
第18表 第III・IV文化層散磚群計測表	57
第19表 第IV文化層石材別石器組成表	57
第20表 第IV文化層石器計測表	59
第21表 第IV文化層石器計測表	66
第22表 集石遺構・礫の石材・赤化率	71
第23表 集石遺構・磚計測表	71
第24表 集石遺構・一括磚計測表	72
第25表 土器觀察表	74
第26表 縄文時代早期石材別石器組成表	74
第27表 縄文時代早期石器計測表	76
自然科学分析	
第28表 放射性炭素年代測定結果	78
第29表 西咲原第2遺跡(三次調査)における種実 同定結果	81
第30表 西咲原第2遺跡(三次調査)における樹種 同定結果	83
第31表 西咲原第2遺跡(二次調査)における植物 非酸体分析結果	89
第32表 西咲原第2遺跡(三次調査)における植物	
珪酸体分析結果	90
まとめ	
第33表 三次調査礫の石材・赤化率	97
第34表 三次調査礫集計計測表	98
第35表 隣接する遺跡と本遺跡の礫の構成	99
第36表 新富町・高鍋町で確認された縫し穴	101
第37表 西咲原第2遺跡(二次・三次)と唐木戸 第1遺跡(一次)の縫し穴埋土上の植物珪 酸体分析結果	105
第38表 周辺遺跡上層の植物珪酸体分析結果	105

図版目次

巻頭図版	
西咲原第2遺跡(二次調査)遠景(北東より)	
西咲原第2遺跡(三次調査)遠景(南西より)	
西咲原第2遺跡(二次調査)3号縫し穴(南より)	
第II章 図版	4
発掘作業風景(三次調査A区・B区)	
教職経験10年経過研修での実地体験研修風景	
第III章 第2節 図版	5
現地説明会(三次調査)	
第IV章 第2節 図版	13
三次調査(B区北)東西壁上層	
三次調査(B区北)南北壁上層	
第VII章 第3節 図版	81
西咲原第2遺跡(三次調査)の種実	
第4節 図版	84
西咲原第2遺跡(三次調査)の炭化材	
第5節 図版	93
植物珪酸体(プラントオーバル)の顕微鏡写真	
第VI章 第2節 図版	107
縫し穴の土層剥ぎ取り作業過程	
図版1	111
西咲原第2遺跡(二次調査)(北より)	
西咲原第2遺跡(三次調査)(北東より)	
図版2	112
西咲原第2遺跡(二次・三次区)(北東より)	
西咲原第2遺跡(二次調査)SC3・SC1(南より)	

(二次調査)	
図版 3	113
1号階し穴 (SC1)半截状況 同完掘状況 (南より)	
2号階し穴 (SC2)半截状況 同完掘状況 (北西より)	
同底部の道具痕	
二次調査基本上層 (北西より、南北壁)	
図版 4	114
3つの階し穴。左から階し穴2号・1号・3号 (真上より)	
3号階し穴 (SC3)半截状況 同完掘状況 (南より)	
第Ⅰ文化層石器ブロック (北西から、南東から)	
(三次調査)	
図版 5	115
第Ⅰ文化層礫群 (SI1) (北西より)	
第Ⅰ文化層礫群 (SI3) (東より)	
第Ⅰ・Ⅱ文化層 A区 北部礫集団区 (西より)	
第Ⅲ文化層礫群 (SI5) (西より)	
第Ⅲ文化層礫群 (SI6) (北西より)	
第Ⅲ文化層礫群 (SI7) (北より)	
図版 6	116
1号階し穴 (SC1)半截状況 同完掘状況 (南より)	
2号階し穴 (SC2)上層トレント面の断面 (西より)	
同完掘状況 (南西より)	
3号階し穴 (SC5)半截状況 同完掘状況 (南東より)	
図版 7	117
3号階し穴 (SC5)底部道具痕 (南東より)	
不明土坑(SC6)半截状況(南東より)	
集石遺構 (SI8)(南東より)	
集石遺構 (SI9)(西より)	
集石遺構 (SI10)(西より、東断崖より)	
図版 8	118
集石遺構 (SI11)(北より)	
縄文時代早期小礫群 (B区北、南西より)	
集石遺構 (SI13・12)(北東より)	
焼土を伴う土坑(SC3)完掘状況(南西より)	
不明土坑(SC4)完掘状況(南西より)	
道路状遺構(SG1)(北東より)	
図版 9	119
二次調査第Ⅰ文化層石器(1)	
二次調査第Ⅰ文化層石器(2)	
二次調査第Ⅰ文化層石器(3)接合資料 1	
二次調査第Ⅰ文化層石器(4)接合資料 2	
二次調査第Ⅰ文化層石器(5)接合資料 3	
二次調査第Ⅰ文化層石器(6)接合資料 4	
二次調査縄文時代早期石器(石獣)	
三次調査第Ⅰ文化層石器(1)	
図版10	120
三次調査第Ⅰ文化層石器(2)	
三次調査第Ⅱ文化層石器	
三次調査第Ⅲ文化層石器(1)	
三次調査第Ⅲ文化層石器(2)	
三次調査第Ⅳ文化層石器	
三次調査縄文時代早期土器片 (轟1式、中原IV式)	
三次調査縄文時代早期石器	

第1章 はじめに

第1節 調査に至る経緯

東九州自動車道（延岡～清武間）は、平成元年2月に基本計画がなされ、それに基づき、宮崎県教育委員会（以下県教委）では予想されるルート周辺の分布調査を行い、多くの遺跡が確認されている。都農～西都間は、平成9年12月に施行命令が出され、それに伴い平成10年度に県教委が路線上の分布調査を行ったところ、計79箇所に及ぶ遺跡の存在が確定された。そこで、県教委では、平成11年度から日本道路公団の委託を受け、東九州自動車道（都農～西都間）の建設工事に伴う埋蔵文化財発掘調査を実施することになった。平成14年度は、同年4月1日付で同公団九州支社と宮崎県文化課との間で契約が締結され、平成14年9月24日より宮崎県埋蔵文化財センターが西畠原第2遺跡（二次調査）の本調査を実施することになった。

本遺跡では、本調査に先立ち平成14年1月15日～同3月12日の内の20日間で確認調査を行った。トレンチ調査で、アカホヤ（以下K-Ah）下位の黒褐色土層・小林輕石を含む褐色土層（以下Kr-Kb）などの縄文時代早期～旧石器時代の包含層が確認された。遺物としては、石器や三棱尖頭器、剥片などが出土し、本調査が実施されることになった。

平成14年度は、調査対象区の南西部（二次調査区）を平成14年9月24日に着手し、同年12月26日に終了した。

三次調査は、平成15年1月27日から同年3月31日の内の19日間で確認調査を行った。トレンチ調査で、K-Ah下位の黒褐色土層・Kr-Kbなどの縄文時代早期～旧石器時代の包含層が確認された。遺構として集石遺構、遺物としてナイフ形石器、剥片などが出土し、本調査が実施されることになった。

平成15年度は、調査対象区の北東部（三次調査区）を平成15年4月3日に着手し、同年12月25日に終了した。

第2節 調査の組織

西畠原第2遺跡（二次・三次調査）の調査組織は次のとおりである。

調査主体 宮崎県教育委員会

宮崎県埋蔵文化財センター

所長	米良 弘康(平成14・15年度)
	宮園 淳一(平成16年度)
副所長兼総務課長	大庭 和博(平成14～16年度)
副所長兼調査第二係長	岩永 哲夫(平成13～16年度)
主幹兼総務係長	石川 忠史(平成15・16年度)
総務係長	野邊 文博(平成14年度)
調査第一課長	児玉 章則(平成14・15年度)
	高山 富雄(平成16年度)
主幹兼調査第二係長	長津 宗重(平成13～16年度)
調査第一係長	谷口 武範(平成13～16年度)
主査(二次調査担当)	横田 通久(平成14年度)
	(三次調査担当) 栗山 正明(平成15年度)
主査(調査・報告書担当)	安藤 真二(平成14～16年度)
調査員	金丸 史穎(平成15年度)
調査指導	小畠 弘己(熊本大学)
	泉 拓良(京都大学)
	本田 道輝(鹿児島大学)
	田崎 博之(愛媛大学)
	柳沢 一男(宮崎大学)
	広瀬 和雄(国立歴史民俗博物館)
	加藤 真二(文化庁)

第II章 遺跡の環境

第1節 地理的環境

西畠原第2遺跡は、新富町大字新田字前原・吐合に所在する。新富町は、宮崎平野の北西、やや中央よりに位置し、一つ瀬川左岸に広がる三財原台地上にある。本遺跡はこの台地が三財原川と鬼付女川にはさまれた場所に位置する。調査区は、平成13年度に本調査が実施された一次調査区をはさんで、三財原段丘面（標高87m）を北西方に向て緩めて緩やかに傾斜する二次調査地と北東方向に緩やかに傾斜する三次調査地に分かれている。

本遺跡の三次調査区北側に湧水地があり、古くから地域の人々に利用されてきたと聞く。本遺跡三次調査区A区の西～東方向に谷が展開し、現在でも地下の伏流水が流れる場所がある。本調査中、偶然にも陥し穴を断ち切った床面の粘土層から水が何度もあふれ出した。三次調査区は、水に恵まれた場所であったと推察される。一方、二次調査区は、土層堆積が横範的で永年にわたり平坦な場所であったと思われる。

第2節 歴史的環境

新富町の大部分は洪積台地で、宮崎平野に広がる平担地の顯著な段丘地形である。この段丘は、北から茶臼原台地・三財原台地・新田原台地と呼ばれる。

本遺跡では、今回の調査において、旧石器時代の遺構・遺物と縄文時代早期の遺構・遺物が検出・確認された。そこで周辺段丘に位置する遺跡分布状況について概観する。

1 旧石器時代

本遺跡周辺の上新開遺跡や東畠原第3遺跡などでは、A T上位・下位で多くの遺構や遺物が確認されている。上新開遺跡では、Kr-Kbからスクレーバー・ナイフ形石器が出土し、その下位層では礫群が検出されている。また、A T下位ではナイフ形石器、スクレーバー、敲石、磨石、石核などが出土し、礫群が検出されている。

このような検出例は、北東部の東畠原第1・2遺跡でも確認されており、東九州自動車道の建設に伴う発掘調査によって、新富町の旧石器時代における当時の生活の状況は徐々に解明されつつある。



第1図 周辺地形図及び調査区 (S=1/4,000)



- | | | | |
|-----------|-----------|---------------|---------------|
| 1 音明寺第1遺跡 | 2 音明寺第2遺跡 | 3 東蛭原第1遺跡 | 4 東蛭原第2遺跡 |
| 5 東蛭原第3遺跡 | 6 西蛭原第1遺跡 | 7 西蛭原第2遺跡（三次） | 8 西蛭原第2遺跡（二次） |
| 9 上新開遺跡 | 10 勝大寺遺跡 | 11 漢口遺跡 | 12 八幡上遺跡 |
| 13 顯代ヶ迫遺跡 | 14 七又木遺跡 | 15 猿水遺跡 | |

第2図 遺跡分布図 ($S=1/50,000$)

それ以前では、新田原台地上の溜水遺跡、銀代ヶ迫遺跡などで、ナイフ形石器や角錐状石器、細石刃、スクレーパー等の遺物が出土している。

また、本遺跡は大野寅夫氏が「東畦原型細石核」を表掲された周辺にあたる。この型は南九州の一部に分布し、細石器文化を代表するものである。残念ながら、今回の本遺跡調査では確認することができなかつた。

2 縄文時代早期

新富町内におけるこの時代の代表的な遺跡は新田原段丘面の西南端の春日地区に所在する瀬戸口遺跡である。標高約70mの台地縁辺部にあり、集石遺構23基を検出し、縄文時代草創期の隆起線文土器、早期の押型文・貝殻条痕文土器、石鏟・石斧・石錐・磨石等の石器などが出土している。

【参考文献】

新富町史 通史編および資料編

八幡上遺跡・七又木遺跡・銀代ヶ迫遺跡 新富町文化財報告集 第13集 1992 新富町教育委員会

宮崎県史 通史編 考古1

東九州自動車道埋蔵文化財発掘調査概要報告書Ⅱ

東九州自動車道埋蔵文化財発掘調査概要報告書Ⅲ

また、新田原段丘面西南端に位置する八幡上遺跡や七又木遺跡、銀代ヶ迫遺跡でも縄文早期の集石遺構を検出。同時期の遺物を出土している。

東九州自動車道埋蔵の調査でも、同様の成果が確認されている。前述した上新開遺跡では集石遺構や焼土を有する炉穴、東畦原第3遺跡では集石遺構が検出され、石鏟・石核・剥片等の石器が出土した。隣接する西畦原第2遺跡(一次調査)では、集石遺構や土坑が検出され、石鏟・剥片等が出土した。

北東部の東畦原第1遺跡でも集石遺構や石器ブロックが検出され、多くの黒曜石やチャート、サマカイトの剥片・碎片が出土した。また、東畦原第2遺跡では、土坑を検出し、平底式土器片や石鏟が出土している。



発掘作業風景（三次調査A区・B区）



教職経験10年経過研修（H15.7.22・23）



第III章 調査の経過と方針

第1節 確認調査の概要

1 二次調査区の確認調査の概要（第3図）

調査は、重機による表土剥ぎ後に、A区7トレンチ（2m×4m）、B区2トレンチ（4m×25m）、C区5トレンチ（2m×4mまたは2m×5m）を設定し、A区下位の暗褐色土まで確認を行った。

確認調査の結果、遺構は確認されなかつたが、A区では、K-Ah下位黒褐色土層より石頭、Kr-Kb層より三種尖頭器、剥片が出土した。B区は遺物なし、C区では、Kr-Kb層より剥片が出土した。この調査結果からA区のみ本調査を実施することになった。

2 三次調査の確認調査の概要（第4図）

この調査区は、K-Ah降灰以後の文化層については、平成14年度に調査が終了している。従って、今回の確認調査はK-Ah下位黒褐色土層から下層を対象とする。

調査は、A区に18トレンチ（2.5m×2.5m）、B区に7トレンチ（2m×2m、2m×5m、3m×5m）を設定し、Kr-Aw下位～明褐色ローム層まで確認を行つた。

確認調査の結果、A区ではK-Ah下位黒褐色土層より集石遺構2基が確認された。また、A・B区とともに同じ層から剥片や礫が、Kr-Kb層よりナイフ形石器、剥片が出土した。この調査結果から、A・B区とも本調査を実施することになった。ただし、B区の北地区の南西部には水道管が埋設されていた。破損防止のため、調査区をやや狭めた。確認トレンチが調査区外に出ているのはそのためである。

第2節 発掘調査の方法

1 調査の方法と調査区の設定・調査の手順

本遺跡の二次・三次調査区は隣接した調査区ではないので、発掘調査の方法については、第V・VI章の二次・三次調査の記録で後述する。

2 調査報告会（二次調査）

平成15年3月15日に、東畠原整理作業事務所で、勘定寺遺跡・東畠原第2遺跡とともに合同調査報告

会を実施した。出土遺物や陥し穴の実物展示とともに、陥し穴の発見から掘り下げ、完掘、剥ぎ取りの過程などの説明を行つた。

3 現地説明会（三次調査）

平成15年6月21日に発掘現場にて、陥し穴を中心とした現地説明会を行つた。現場の陥し穴2基はもちろん、集石遺構や焼土を伴う土坑などもあわせて説明した。

そのあと、事務所で遺跡で検出されるさまざまな土坑についてのビデオ放映や剥ぎ取った陥し穴の実物展示、高橋町・新富町で検出された陥し穴の特徴について説明を行つた。



現地説明会（三次調査）

4 平成16年度第1回埋蔵文化財講座

平成16年4月24日に、本センター神宮分館（宮崎市神宮2丁目4番4号）にて「縄文時代の狩猟と陥し穴」の演題で講座を開催した。講座では、本遺跡から検出された陥し穴2基を薬剤を使って剥ぎ取った過程を説明し、実物の展示を行つた（受講者42名）。

これらをもとに、本遺跡から検出された6基の陥



第3図 二次調査確認トレンチ配図図 ($S=1/2,000$)



第4図 三次調査確認トレンチ配図図 ($S=1/2,000$)

し穴をはじめ、高鍋町・新富町で検出された計45基の陥し穴の共通点や地域的な違いなどに注目させながら狩猟と陥し穴の関係について問題提起を行った。

5 日誌抄

(I) 二次調査

○ 平成14年9月

調査事務所及び駐車場予定地の除草作業及び重機による整地作業を行った。25日に調査事務所を設置し、重機による調査区表土剥ぎ（K-Ah上面）を行い、本調査の準備を終えた。

○ 平成14年10月

1日より作業員を投入して、本格的な調査を開始した。K-Ah上面を精査し、3日には測量委託業務として調査区の杭打ちを行った。遺構は確認できなかつたため、重機でK-Ahを剥ぎ、黒褐色土（IV層）の精査を行った。石器や剥片・チップが出土したのみであった。IV層は約81%を精査した。

18日よりV層を重機で剥ぎ、Kr-Kb上面（Vla層）で掘え、精査を行い、二次加工剥片・剥片が出土した。28日より、Kr-Kb（Vlb～VII層）の精査に入り、C2グリッドを中心に石器ブロックを1箇所、B3グリッドで土坑（1号陥し穴）を1基検出した。石器ブロック1の遺物はスクレーパー、三種尖頭器、角錐状石器、石核、二次加工剥片・剥片・チップであった。

○ 平成14年11月

引き続きKr-Kb（Vlb層）の精査を行い、礫群を1箇所検出し・実測、1号陥し穴の分層・実測を行った。11日には、B3グリッドで2号陥し穴を検出し、翌12日にはA3グリッドで3号陥し穴を検出した。3基とも位置が近接していた。

11月14日には空中写真撮影業務委託を実施、18日にはB1グリッドから2つ目の石器ブロックと礫群を検出した。石器ブロック2の遺物は、スクレーパー、ナイフ形石器、三種尖頭器、角錐状石器、石核2点、二次加工剥片・剥片・チップであった。礫群2の実測、2号陥し穴の分層・実測を行い、VI～VII層は約68%を精査し、終了した。

20日から重機でAT剥ぎを実施、25日からMB2・MB3（Xa・b層）の精査に入った。グリッ

ド杭を打ち直して、グリッドを再設定した。調査区の東西及び南北壁上層断面実測のために、深掘りトレントを設定し、掘り下げ、土層断面実測に入った。トレントのXa・b層以下の層で遺構・遺物は確認できなかつた。

○ 平成14年12月

引き続き2号陥し穴と3号陥し穴の実測を行つた。4日に大判で1号・3号陥し穴の写真撮影を行い、5日には1号陥し穴を薬材を使って上層剥ぎ取りを実施した。9日には大判で2号陥し穴の写真撮影を行い、3号陥し穴でも上層剥ぎ取りを実施した。

この間、MB2・MB3からは礫がわずかに出土するのみで、遺構・遺物は確認できなかつた。Xa・b層は32%を精査して終了した。

その後、剥ぎ取った1号・3号の陥し穴の加工修正調整、併行して、土層断面実測を行つた。また、フローテーションに備え、各陥し穴底部の埋土を採取した。一方、12日より三次調査予定地（A区のみ）のトレントを設定して、確認調査を行つた。18日より調査区の埋め戻しを行い、26日に現場事務所等を撤収し、二次調査をすべて終了した。

(2) 三次調査

○ 平成15年4月

前年度、調査区に設置した防護柵、標識ロープ等の点検・補修をし、7日より作業員を投入して、本格的な調査を開始した。調査区A区は特に斜面であるので、東西方向（約47m）及び南北方向（約39mと35m）に土層トレントを設定し、土層壁実測しながら上層堆積状況の把握を行つた。両トレントより剥片が出土（IV～VI層）した。25日より黒褐色土（IV層）上面精査を開始し、石器・剥片が出土した。

○ 平成15年5月

引き続き、黒褐色土（IV層）の精査を行い、8日よりA区の測量業務委託として調査区の杭打ちを実施した。9日、北東部に集石遺構を検出し、写真撮影・実測を進めた。また集石遺構の間に新たに集石遺構2基が検出された。IV層では石器・二次加工剥片・剥片が出土した。

東西・南北壁上層トレントに2箇所自然堆積ではないと思われる部分を確認する（1号・2号陥し

穴)。23日、IV層のコンターラインを測量する。29日、調査区の中央のやや北よりに黒いしみ(焼土を伴う土坑、S C 3)を確認した。A区IV層は約63%を精査し、終了した。

○ 平成15年6月

2日より重機による無遺物層剥ぎ(A区V層)を実施した。5日よりKr-Kb(VIb層)の精査に入り、二次調査区南地区に排土運搬委託を行った。

11日、降雨のため排土運搬先の排土が調査区外に流出する可能性があったため、雨天時に作業員とともに排土流出防止作業を実施した。21日、検出した陥し穴を中心とする現地説明会を実施した。Kr-Kb面では、ナイフ形石器、微細剥離片、石核、剥片が出土した。24日より測量業務委託(地形測量)を実施し、25日に焼土を伴う土坑の西隣に土坑を確認(不明土坑、S C 4)した。その後S C 3・4及び集石遺構(2基)の写真撮影・実測を行った。

○ 平成15年7月

引き続き、集石遺構の実測(2基)、1号・2号陥し穴の検出写真および掘り下げ(2号)を行い、併行して、Kr-Kb面の散礫の実測を行った。A区では北部を中心に散礫が漫然と分布していることが明らかとなった。22日、教職経験10年経過研修として13名が参加、研修や現場での実地体験研修を行った(2日間)。同日Kr-Kb面の礫群の実測(2基)もを行い、A区VI・VII層は約63%を精査し、終了した。25日よりA区北部でX層の精査を始めた。

○ 平成15年8月

1日、3基の集石遺構が検出された層確認のため、東断崖の土層実測を行った。4日から重機による無遺物層剥ぎ(VI・VII層)を実施し、20日より第2回目の排土運搬委託を行い、排土は二次調査区調査事務所・駐車場跡地に運搬した。

21日に空中撮影委託を実施し、25日からA区中央やや東よりの谷部深幅部分の土層実測を行った。思った以上に、谷の上層は混在し、下層に向かうほど層の区別が困難になることが明らかとなった。従って、X層の精査に際して調査区の谷周辺は調査対象外とした。

○ 平成15年9月

1日、散礫中に、礫群を1基確認(X b層)、写真撮影・実測し、引き続きX層の精査を25日まで行い、出土した礫群(散礫)の写真撮影を行った。A区ではVI・VII層同様、Xa・b層とも北部を中心に散礫が漫然と分布していることが明らかとなった。X層の精査により、ナイフ形石器、剥片、チップが出土した。

また、4日より1号・2号陥し穴の掘り下げ、断ち削り、実測、完掘を行った。10日より、B区北地区の黒褐色土(IV層)の精査を始め、あわせてA区の遺物・礫(Xa層)の取り上げを行った。

17日にA区北部礫集中区について、コンターラインを実測した。同日より、礫集中区のA区北部の土層断面確認のための深掘トレンチを掘り、実測を行った。一方B区IV層精査では、土器片、石器、黒褐色剥片、剥片、小礫群が出土した。24日より、A区北部礫集中区(X b層)の実測を行い、26日より、B区南地区的黒褐色土(IV層)の精査も始めた。

○ 平成15年10月

1日、引き続きA区のX b層の礫群実測及び取り上げを行った。3日A区2号陥し穴の北隣に3号陥し穴(S C 5)を確認、写真撮影後に掘り下げを開始し、7日1号陥し穴を完掘・写真撮影した。この結果、陥し穴は3基とも隣接して検出されたことになる。同日、B区コンターラインを開始した。B区北地区北西側では集石遺構2基を確認、周りに礫や剥片等が多数出土した。16日、集石遺構2基の検出面写真撮影を行った。

17日、3号陥し穴(S C 5)の半蔵。写真撮影後に土層断面実測を行った。20日、重機でA区東端道路状遺構の調査区及びB区V層剥ぎを行った。同日より、B区集石遺構2基の実測を行い、あわせてB区の測量業務委託を行った(杭打ち及び地形測量)。B区IV層は約42%を精査、終了した。22日より、B区のVI層精査に入った。29日、道路状遺構のトレンチ断面の写真撮影を行い、分層・実測に入った。

○ 平成15年11月

7日、道路状遺構として判断できる箇所が予想よりも短いことが明らかになった。11日、B区北地区の中央やや南よりで、黒いしみを確認(不明土坑、

S C 6) し、13日、S C 6 の断ち割り・掘り下げを進めた。B 区の VI - VII 層では、わずかにナイフ形石器、洞片等が出土。同層は約 20% を精査。終了した。

17 日より重機で B 区 VI 層剥ぎを開始、19 日 A 区 VI 層剥ぎの際に、西端で、礫群 1 基 (VII 層) を確認した。20 日より、Xa 層 (MB 2) の精査を開始し、21 日より礫群の実測および S C 6 断面実測を行う。調査区壁切り後、27 日から B 区の上層壁実測を開始した。

○ 平成 15 年 12 月

1 日、引き続き、上層壁実測を続けた。3 日、B 区は町道に面し、小中学生の登下校も多いことから、調査区に防護柵とは別に、調査区内側にネットを設置した。4 日、B 区南地区に礫群 2 基 (X b 層)、北地区に 1 基 (X a 層) を確認し、写真撮影及び実測を行った。8 日より B 区南地区的埋め戻し及び掛土処理を行った。9 日までに A 区 X 層を 36% 精査、終了した。なお、A 区中央部と南部の X I 層を 75m 精査し、遺構・遺物の精査をしたが確認できなかった。12 日、B 区北地区的南北上層壁に不自然箇所がみられたため、掘り下げを指示 (不明土坑、S C 7・8)、写真撮影・掘り下げ、実測を行った。

18 日より、X 層下面コンタラント実測を行い、B 区 X 層を 60% 精査、終了した。B 区の MB 2・MB 3 (Xa・b 層) は、3 基の礫群以外は、洞片を確認したのみであった。22 日、撤収のための片付け、重機による埋め戻しを開始し、23 日現場事務所等撤収準備を行い、25 日に現場事務所等撤収し、三次調査を完了した。

第 3 節 整理作業及び報告書作成

1 整理の方針・方法

本遺跡発掘調査資料は、平成 16 年 2 月より、縦について新富町大字新田字下追口所在の東唯原整理作業棟にて、遺物等については本センターで整理作業を開始した。

東唯原整理作業棟では、礫の洗浄、注記、計測、属性記録作業を行い、その後接合作業を行った。接合作業は、はじめに集石遺構や礫群内で接合を確認し、次に集石遺構間や礫群間、散礫間などを 5 月ま

で 4 ヶ月間行った。

本センターでの遺物整理も同様に、洗浄、注記、計測を行い、その後石材などを分類し、土器片や石器の接合作業を 4 月まで 3 ヶ月間行った。

遺物や礫の整理作業終了後、石器実測委託の準備を行い、7 ~ 9 月まで委託した図面やトレースの点検を行った。併行して、隙し穴に関する自然科学分析の準備を行い、試料を整理し委託を依頼した。また、断続的に礫台帳や遺物台帳、図面の整備を行った。

9 月末に大まかなレイアウトを作成し、10 月より本センターで報告書にかかるトレース等の整理作業に入り、並行して報告書の作成を行った。

2 整理作業・報告書作成工程の実際

年月	工程
H16. 2	東唯原整理作業棟にて二次・三次の礫整理作業開始 (~H16. 5) ○礫洗浄、注記、計測、接合 本センターにて遺物整理作業開始 (~H16. 4)
H16. 5	○遺物洗浄、注記、計測、接合 石器実測委託準備 (石器 88 点) ○委託石器の選定
H16. 6	自然科学分析委託準備 ○試料の準備
H16. 7	石器実測委託業務開始 ○石器実測図の作成・点検 (リング・フィッシャーの確認等)
H16. 8	自然科学分析委託業務開始 ○石器実測図の点検、トレースの開始 (リング・フィッシャーの確認等)
H16. 9	石器実測図の完成 ○トレース図の点検・完成 報告書の大まかなレイアウト作成
H16. 10	○報告書原稿提出 本センターにて報告書トレース作業 (土層・遺構等) 開始 ○報告書原稿提出 ○報告書原稿提出
H16. 11	二次・三次報告書原稿作成 自然科学分析委託成果品完成 トレース作業完成
H16. 12	報告書原稿レイアウト完成 図版作成・写真撮影 報告書レイアウト完成

第IV章 調査の概要と基本層序

第1節 調査の概要

1 二次調査

本道跡の二次調査では、旧石器時代とK-Ah降灰以前の縄文時代早期の時代において、第5図に示すような遺構が検出された。

旧石器時代については、MB 1下位～Kr-Kb中位の第I文化層から、石器ブロック2箇所と礫群2基、遺物としてスクレーパー、ナイフ形石器、角錐状石器、三棱尖頭器、敲石、石核、二次加工剥片、剥片・チップなどを確認した。

Kr-Kb中位～ML 1下位の旧石器時代第II文化層では、調査区の南寄りに3基の陥し穴を検出した。それぞれ7m以内に隣接して位置する。遺物は、出土していない。

縄文時代早期（ML 1上面～MB 0）においては、遺構は検出されず、遺物はわずかに石礫、チップのみである。

2 三次調査

本道跡の三次調査では、旧石器時代からK-Ah降灰以前の各時代において、第6図に示すような遺構が検出された。

旧石器時代については、第I文化層（MB 3下位～中位）、第II文化層（MB 2中位～上位）、第III文化層（MB 1下位～Kr-Kb中位）、第IV文化層（Kr-Kb中位～ML 1下位）の4つの文化層から、それぞれ遺構や遺物を確認した。

第I文化層では、礫群3基と敲石、石核、剥片等を確認した。遺物は極めて少なく、散漫な分布であった。礫や遺物は他の文化層よりも大きく重量のあるものが多い。

第II文化層では、礫群1基とナイフ形石器、敲石、台石、磨石、二次加工剥片、剥片等を確認した。遺物は少なく、礫は第I文化層ほどではないものの重量のあるものが多い。

第III文化層では、礫群3基とナイフ形石器、台石、磨石、石斧、敲石、微細剥離剥片、石核、剥片等を確認した。遺物は少なく、礫の1個あたりの重量は、

第I・II文化層よりも少ない。

第IV文化層では、A区の中央やや東寄りに3基の陥し穴を検出した。それぞれ隣接するように4m以内に位置する。遺物は、桑/木津留黒曜石製の細石刃、細石刃核、剥片である。

縄文時代早期（ML 1上面～MB 0）においては、集石遺構6基、焼土を伴う土坑1基、不明土坑4基を検出した。遺物は、縄文土器小片、石礫、石錐、台石、石核、二次加工剥片、剥片・チップ等である。

第2節 基本層序

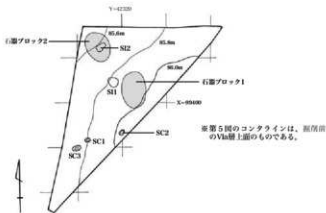
本道跡で確認された層序は、概ね第7図の基本層序上層柱状図に集約される。二次調査は、K-Ah火山灰まで耕作するトレンチャーが著しいが、以下の層は良好に堆積している。

一方、緩やかに傾斜する三次調査B区では、VII層とVI層が混在する場合があり、加えて三次調査A区の特に北東方面では、IX層のATとも混在する。K-Ah火山灰下位黒褐色土や暗褐色土も本来の土色よりさめた浅い褐色土を見ていることが多い。

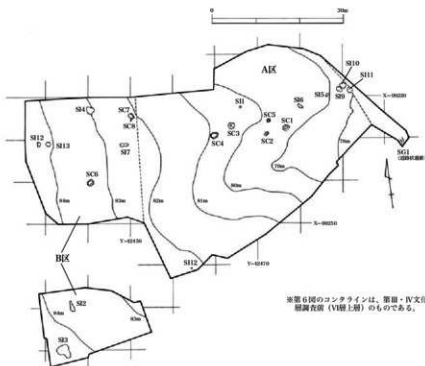
しかしながら、A区の中央より東側をのぞけば、VI層(Kr-Kb)やIX層(AT)、X II層(Kr-Aw)、XIV層(Kr-Iw)等の健層は明確に確認することができた。

包含層は、前述したようにMB 3下位～中位（旧石器時代第I文化層）、MB 2中位～AT直下（旧石器時代第II文化層）、MB 1下位～Kr-Kb中位（旧石器時代第III文化層）、Kr-Kb中位～ML 1下位（旧石器時代第IV文化層）、ML 1上面～MB 0（縄文時代早期）である。なお、VI層はKr-Kbの堆積状況により2層に、X層は白色粒を含む上位層（Xa）と合まない下位層（X b）に分けた。

二次調査区では、上記第I・II文化層にあたる層での遺構・遺物が確認できなかったので、旧石器文化層は2つになる。なお、三次調査A区は傾斜地のため、様相の違う土層については加筆した（第7図）。



第5図 二次調査遺構分布図 (S=1/600)



第6図 三次調査遺構分布図 (S=1/600)

- 第I層：表土（耕作土）
- 第II層：黒色土
クロボクに相当し、IV層の黒褐色土よりも柔らかい。
- 第III層：鬼界アカホヤ (K-Ah)
黄橙色の火山ガラス質を大量に含む。
- 第IV層：暗褐色土 (MB O)
硬くしまっており、弱粘性である。1mm程度の白色粒をまばらに含む。三次調査A区では黄褐色粒を多く含む傾向にある。
- 第V層：暗褐色ローム (ML 1)
全体的にしまっており、粘性はない。
- 第VIa層：褐色ローム (Kr-Kh)
固くしまっており、弱粘性がある。明黄褐色のブロックをまばらに含む。三次調査A区では他よりも柔らかい傾向にある。
- 第VIb層：褐色ローム (Kr-Kh)
VIaよりは柔らかく弱粘性である。VIa同様のバミスを含む暗褐色土のブロックが多く見られる。三次調査A区ではこのブロックが傾斜地の下に行くほどまばらになる。
- 第VII層：暗褐色ローム (MB 1)
柔らかく、粘性がある。褐色のブロックが上位に多く見られる。三次調査A区には調査区の中央より西側でしか確認することができない。
- 第VIII層：褐色ローム (ML 2)
径2~3cmの球形の暗褐色のしみが多くみられ、白色・黄橙色のバミスを多く含む。ATの二次堆積。三次調査A区ではIX層との混じりしか確認できない。
- 第IX層：姶良Tn (AT)
堆積状況は良好・層厚で、上位に細粒の、中位に粗粒の火山ガラスを含む。下部に大崩降下軽石、白色の極細粒を含む。三次調査A区ではV层との混じりで、AT本体はブロック化している。また、東に行くほど褐色に近くなる。
- 第Xa層：暗褐色ローム (MB 2)
極めて硬く、クラックが発達している。1mm程度の白色粒を多く含む。三次調査A区東南側の約1/5では確認できなかつた。
- 第Xb層：暗褐色ローム (MB 3)
a同様固く、しまっている。白色粒は含まない。橙色・赤褐色・青灰色の粒を含む。三次調査A区東端では層厚が次第に薄くなる。
- 第XI層：赤褐色ローム (ML 3)
固くしまっていて粘性がある。5mm程度の赤・橙色・黒色・青灰色の粒を多く含む。三次調査A区では東に向かうに従い、褐色に近くなる。
- 第XII層：露島アワオコシ (Kr-Aw)
非常に固く、径2~3mmの赤褐色のスコリアと青灰色・橙色の粒を含む。三次調査A区では東に向かうに従い、ブロック化していく。
- 第XIII層：明褐色ローム (ML 4)
非常に固くしまっており、径1mm程度の赤褐色・黒色粒や径5mm程度の橙色・青灰色粒を多く含む。三次調査A区では、中央より東側では次第にXII・XIII・XIV層が混在してくる。
- 第XIV層：露島イワオコシ (Kr-Iw)
非常に固く、ざらざらしている。XII層に比べ粗粒で、1cm程度の黄褐色・赤褐色軽石や白色鉱物を多く含む。
- 第XV層：明黄褐色ローム
粘土質のローム層で、小礫や砂を含む箇所もある。三次調査A区の東側谷部に近いところでは涌水も見られた。



三次調査 (B区北) 東西壁土層



三次調査 (B区北) 南北壁土層

二次調査区・三次調査B区の基本土層

I	層	表土 (耕作土)
II	層	黒色土
III	層	褐色アカホガサ(赤土)
IV	層	黒褐色土 (380)
V	層	暗褐色土 (361)
VI	層	褐色ローム (361)
VII	層	褐色ローム (361)
VIII	層	褐色ローム (361)
IX	層	褐色ローム (361)
X	層	褐色ローム (361)
XI	層	褐色ローム (361)
XII	層	褐色ローム (361)
XIII	層	褐色ローム (361)
XIV	層	褐色ローム (361)
XV	層	褐色ローム (361)

備考 大量灰粉を含む層で、根鉢的である。

三次調査 A区の基本土層

I	層	表土 (耕作土)
II	層	黒色土
III	層	褐色アカホガサ(赤土)
IV	層	黒褐色土 (360)
V	層	暗褐色土 (361)
VI	層	褐色ローム (361)
VII	層	褐色ローム (361)
VIII	層	褐色ローム (361)
IX	層	褐色ローム (361)
X	層	褐色ローム (361)
XI	層	褐色ローム (361)
XII	層	褐色ローム (361)
XIII	層	褐色ローム (361)
XIV	層	褐色ローム (361)
XV	層	褐色ローム (361)

備考 A区はD2地盤上に堆積量が少なくて、東側ではロッケ的に堆積しがちである。

第6図 基本土層図

二次調査・時代	三次調査・層
旧石器時代 第1文化層	表面ブリッケナ層付 磨擦土面 スクリーパー ナイフ形石器 先端の石器 三葉尖頭器 磨石 研磨 二次加工剥片 破片 チップ
第2文化層	糙化尖頭器 (遺物なし)
縄文時代中期	石器 チップ (遺物なし)

三次調査・時代	三次調査・層
旧石器時代 第1・2文化層	磨擦4基 磨石 破片 台石 ナイフ形石器 研磨 二次加工剥片 破片 チップ
第2文化層	磨擦3基 ナイフ形石器 台石 磨石 破片 磨削跡剥片 研磨 破片
第3文化層	糙化尖頭器 (遺物なし)
縄文時代中期	新石器時代後期 地下含水土层 (361) 不規則な土層 土器片 不破 破片 伴石 研磨 二次加工剥片 破片 チップ

第6図 遺構・遺物の概要

第V章 二次調査の記録

第1節 発掘調査の方法

1 調査の方法と調査区の設定

発掘調査に入る時点で二次調査区は畠地として利用されており、北に隣接する畠とは0.7~0.8mの段差が、西側隣地とはさらに1.7m程度の段差とU字溝が埋設されていた。そこで、重機を使って西側の段差が調査の障害にならないよう継やかな傾斜面を作つて調査を進めた。最終的な調査面積は、760m²であった。

二次調査では、国土座標に基づき、グリッド法で10m×10mグリッドを設定した。グリッド名は、東西方向にA~C、南北方向に1から4とし、それを組み合わせたものを使用した。例えば、A区西端のグリッドはA 1となる(第10図)。

2 調査の手順

調査は、まず、重機で表土のみ除去し、K-Ah上面で道構の確認を行つた。その後、K-Ahを重機で除去し、縄文時代早期(IV層MB 0~V層ML 1)の精査を人力で行つた。次に、重機で残つたV層を除去して、VI層(Kr-Kb)~VII層(ML 2)まで人力で掘り下げた。そして、無遺物層であるATを重機で除去して、MB 2・MB 3の精査を人力で行つた。



第9図 周辺地形図及び二次調査区(S=1/4,000)

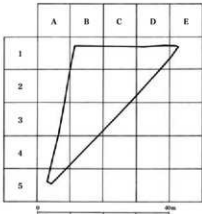
第2節 二次調査区の土層

二次調査では、調査区北の東西南北の壁と東から東南にかけての壁(南北方向)の土層を確認した。極めてゆるやかに北西方向に傾斜し、調査区の東端から西端までの高さ差は約0.5mである。

耕作土下位の黒色土は東西壁(第12図)では確認できるが、南北壁(第13・14図)ではK-Ah層までトレンチャーにより擾乱を受けしており、あまり残存していない。黒褐色土(IV層、MB 0)から下位層は、一部の擾乱や排水路施設などを除いて大変良好な堆積状況である。

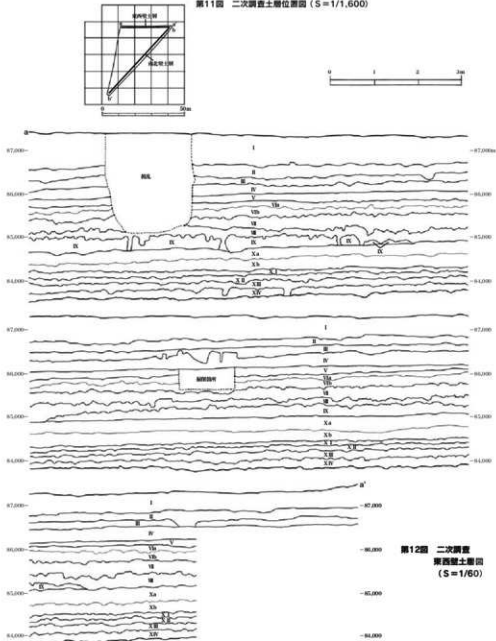
第3節 旧石器時代の遺構と遺物

旧石器時代の調査は、全調査区の約53%の範囲を行つた(第16図)。基本層序のV(下位)・VI・VII層にあたり、始良Tn(AT)降灰以降Kr-Kb火山灰以前の第I文化層とKr-Kb降灰以降~ML 1下位までの第II文化層の2文化層である。この文化層は後述する三次調査の第III・IV文化層にあたる。

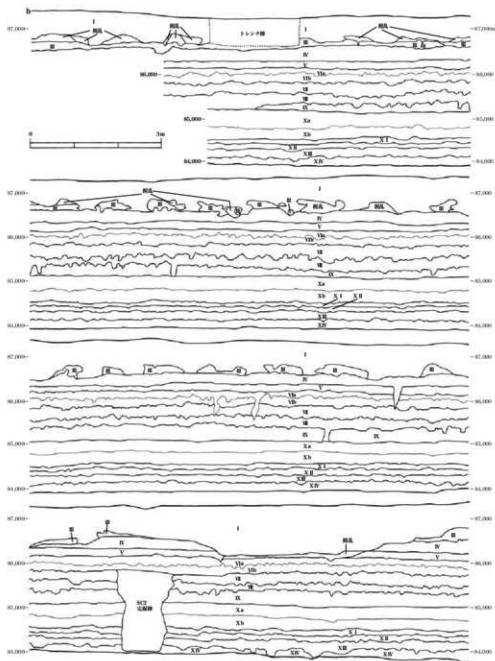


第10図 二次調査グリッド配置図(S=1/800)

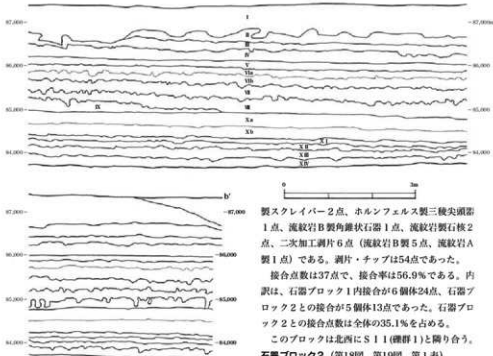
第11図 二次調査土層位置図 ($S = 1/1,600$)



第12図 二次調査
東西壁土層図
($S = 1/60$)



第13図 二次調査南北壁土層面 (1) ($S = 1/60$)



第14図 二次調査南北壁土層面(2)(S=1/60)

I 第Ⅰ文化層の構造と遺物(第15・17図)

旧石器時代第Ⅰ文化層は、基本層序のVI(中位)～VII層にあたり、姶良Tr(AT)降灰以降Kr-Kb以前MB1下位～Kr-Kb中位の文化層である。

第Ⅰ文化層では、構造として2ヶ所の石器ブロックと2つの縦群を検出し、遺物としてスクリーパー、ナイフ形石器、角錐状石器、三棱尖頭器、蔽石、石核、二次加工調片、調片・チップなどを確認した。

(1) 構造

石器ブロック1(第18図、第19図、第1表)

調査区の中央からやや東、グリッドC2～B2に位置する。長径14m、短径10mの範囲内に、66点の石器が集中した。石材は流紋岩57点、ホルンフェルス8点、頁岩1点で、流紋岩は86.4%を占める。

確認された石器は、流紋岩A及びホルンフェルス

製スクリーパー2点、ホルンフェルス製三棱尖頭器1点、流紋岩B製角錐状石器1点、流紋岩製石核2点、二次加工調片6点(流紋岩B製5点、流紋岩A製1点)である。調片・チップは54点であった。

接合点数は37点で、接合率は56.9%である。内訳は、石器ブロック1内接合が6個体24点、石器ブロック2との接合が5個体13点であった。石器ブロック2との接合点数は全体の35.1%を占める。

このブロックは北西にS11(縦群1)と隣り合う。石器ブロック2(第18図、第19図、第1表)

調査区の北西からやや調査区の西端、グリッドB2～B1に位置する。長径10m、短径7.5mの範囲に62点の石器が集中した。石材はホルンフェルス46点、流紋岩15点、頁岩1点で、ホルンフェルスは74.2%を占める。

確認された石器は、スクリーパー4点(流紋岩A製2点、ホルンフェルス製2点)、ナイフ形石器3点(ホルンフェルス製2点、頁岩製1点)、流紋岩D製三棱尖頭器2点、ホルンフェルス製角錐状石器1点、流紋岩A製およびホルンフェルス製石核2点、二次加工調片3点(流紋岩A製2点、ホルンフェルス製1点)である。調片・チップは47点であった。

接合点数は35点で、接合率は56.5%である。石器ブロック2内接合が7個体16点、石器ブロック1との接合が5個体19点であった。石器ブロック1との接合点数は54.3%を占める。したがって、石器ブロック1と2はほぼ同時期に調査作業が行われた可

能性が高いといえる。

このブロックの内の中央から東寄りには S 1.2 (縫群 2) が重なり合う。

S 1.1 (縫群 1) (第20図、第2表、第3表)

調査区中央部からやや西、石器ブロック 1 と 2 の中間 B 2 グリッドに位置し、ほとんど傾斜のない平坦な場所に位置する。

礫石材個数は、ホルンフェルスと砂岩が 37.5%、尾鉢酸性岩が 25% を占める。重量別では、尾鉢酸性岩が 54%、ホルンフェルス 31.5%、砂岩 14.9% である。

長径約 9m、短径約 4m の範囲内に 16 点を数え、完形率は低く、11 個は小縫片である。赤化率は 31% で、後述する縫群 2 よりも低い。赤化した縫の重量では 6 割を占める。非赤化縫ではなく、縫は亜円縫、亜角縫、円縫で構成される。

縫群近くにホルンフェルス製蔽石が 1 点出土した。接合は確認できなかった。周辺には炭化物の集中区が 3 回所あった。また、前述した 2 つの石器ブロックには約 3m と近い位置にある。

S 1.2 (縫群 2) (第21図、第2表、第3表)

石器ブロック 2 の中央から東寄りに重なる B 1 グリッドに位置する。礫石材個数は、尾鉢酸性岩 54.5%、砂岩 36.4%、ホルンフェルス 9.1% を占める。重量別では、尾鉢酸性岩 69.5%、砂岩 16%、ホルンフェルス 14.5% である。

長径約 5m、短径約 4m の範囲内に 11 点を数え、完形率は低く、7 個は小縫片である。赤化率は 55% で、赤化した縫の重量では 74% に達する。

非赤化縫は 1 点のみで、縫は亜円縫、亜角縫、円縫で構成される。前述したように石器ブロック 2 と分布が重なる。石器製作にあたってこれらの縫を活用した可能性も考えられる。接合は 1 個体 2 点のみであった。縫群の南には炭化物の集中区が 1 回所あった。縫群 1 までは約 7m の位置である。

(2) 遺物 (第18・19図、第1・4表)

出土遺物数は 129 点である。その内訳は、スクレイバー 7 点、ナイフ形石器 4 点、角錐状石器 3 点、蔽石 1 点、石核 9 点、二次加工縫片 9 点、縫片 85 点、チップ 9 点である。石材別では、流紋岩 72 点、ホル

ンフェルス 55 点、頁岩 2 点である。ここでは、主な器種（单品）、接合資料の順に報告を行う。

ア スクレイバー

1 はホルンフェルス製で、石器ブロック 1 から出土した。不定形な縫片を素材にした円形搔器（エンドスクレイバー）である。素材の自然面を除いて弧状の刃部が周囲をめぐる調整がなされている。刃部が急角度であることから蔽石による敲打調整と思われる。

2～4 は、流紋岩 A 製で、2・3 は円形搔器、4 は鋼錐状削器と思われる。2 は石器ブロック 2 から出土した。不定形縫片を素材にしたもので、1 と同様周囲に調整がなされている。

右下側縫部にある自然面の部分のみ、裏面に加工が見られる。刃設し加工調整が併用され、打面は除去されている。

3 は 2 点の石器接合で器形が確認された。右側の大きい石器は石器ブロック 1 から、左の小さい石器は石器ブロック 2 から出土した。直線距離で 13m ほど離れていた。1 と同様表面のみの蔽石による加工調整と思われる。この調整の過程で左側が撓面から偶発的に外れたものと思われる。

4 は、石器ブロック 2 から出土した。スクレイバーの大きさにしては厚みがあるが、左側縫部に鋼錐状の刃部が見られる。これは縫邊から遠い部分を粗く敲打した程度の刃部調整であったためであろう。5 は、ホルンフェルス製で石器ブロック 2 から出土した。円形搔器の中で最も大きく、表面のみの蔽石による加工調整をした後、刃設し加工調整を併用したものと思われる。

イ ナイフ形石器

6～9 は石器ブロック 2 から出土した。6～8 はホルンフェルス製、9 は頁岩製である。

6 は、縫長縫片を素材に、先端や基部に二次加工が施され、打面がほとんど残っていない。さらに両側縫に刃設し加工を施している。

7 は、縫長縫片を素材に、基部は打面を残し、左側縫は素材の縫邊によってなる刃部からなる。右側縫は先端から基部まで敲打による二次加工や刃設し加工を施している。さらに、裏面基部にも敲打によ

る加工調整を施している。

8は、縦長剥片を素材に、左右側縁部と先端に二次加工が施され、左右両縁部には刃つぶし加工を施している。

9は、縦長剥片を素材に、基部は打面を残し、左側縁は素材の縁辺によってなる刃部が大半を占める。右側縁全体に敲打による二次加工を、左右側縁上部と基部の一部に刃つぶし加工調整を施している。また、裏面にも両側縁下部にも同様の加工を施している。

ウ 三稜尖頭器

10、11は流紋岩D製で、石器ブロック2で出土した。12はホルンフェルス製で石器ブロック2で出土した。

10は縦長剥片を素材とし、先端と基部が欠損している。左側縁は素材の縁辺によってなる刃部を生かし、右側縁は敲打による二次加工と刃消し加工調整を施している。特徴として後上剥離がみられる。

11は縦長剥片を素材としたもので、基部が欠損している。左側縁は敲打による二次加工を、右側縁は素材の縁辺によってなる刃部の中位に刃消し加工調整を施している。10と同様、後上剥離がみられる。裏面の先端に近い両側縁にも刃消し加工調整を施している。

12は、確認調査時に出土したもので、縦長剥片を素材とし、基部が欠損している。左右両側縁と先端部表裏とも敲打による二次加工を施し、同様に後上剥離が見られる。

エ 錐石

13はホルンフェルス製で、縦群1の周囲で出土した。上部は下部より次第に薄くなる。先端部には打面が見られ、裏側は大きく欠けている。中央部からやや左下方（最大厚の地点付近）から左側縁にかけて、打痕が多く見られる。幅長比（幅+長さ）は0.59である。

オ 二次加工剥片

14はホルンフェルス製で、石器ブロック2から出土した。右側縁にはっきりとした二次加工調整があるほかは、調整が不明瞭である（円形振器未製品か）。

カ 接合資料（第24図～第27図）

接合資料は、2つの石器ブロック全体で18個体であった。そのほとんどは、剥片やチップが2～3点接合したものである。その中で4例の接合について説明する。

接合資料1はC2とB1グリッドに分布する。6点のうち、5点は石器ブロック2で出土した。ホルンフェルス製で、15のスクレイバー、16の剥片、17の石核、剥片a,b,cが接合したもので、スクレイバー製作過程の剥片であろうと考えられる。15のスクレイバー（P型振器）は左側縁の自然面以外は敲打による二次加工調整が見られ、左側縁下部や右側縁には刃消し加工と思われる細かな調整が施されている。

接合資料2は、C2とB1のグリッドに分布し、ブロック1・2間の接合である。流紋岩A製で、18の二次加工剥片、19の剥片、20の石核が接合したものである。18の二次加工剥片は、不定形剥片で、正面下から左側縁にかけて敲打と思われる二次加工調整が見られる。19の剥片は、18を剥離する際に一緒に剥がれたものと思われる。20は、正面は左下→上、右上→左下への剥離、裏面は右側上→下、左上→右下の剥離を行い、次に右側縁から左方向へ、または中央上から下への剥離が確認できる。

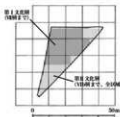
接合資料3はC2・C3・B2グリッドに分布する。9点のうち、8点は石器ブロック1で出土した。流紋岩B製で、21の角錐状石器、22～26までの二次加工剥片、27-dの剥片の9点が接合したもので、角錐状石器製作過程における剥片であろうと思われる。

21は、縦長剥片で右側縁を敲打による二次加工調整が施されている。裏面は両側縁とも敲打もしくは刃つぶし加工を施している。角錐状石器製作の最終段階で先端が折れたために、未完成で終わったものと思われる。

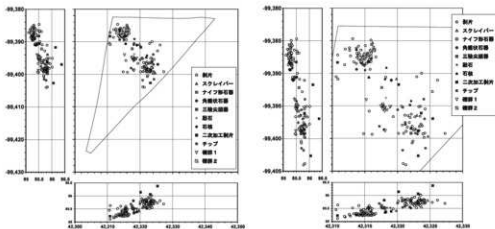
接合資料4は、B1グリッドに分布し、石器ブロック2で出土した。ホルンフェルス製で、28の角錐状石器と29の剥片が接合したものである。28は縦長剥片で、左側縁は素材の縁辺によってなる刃部で、右側縁は敲打による加工調整を施したものである。また、基部の打面まで加工除去している。



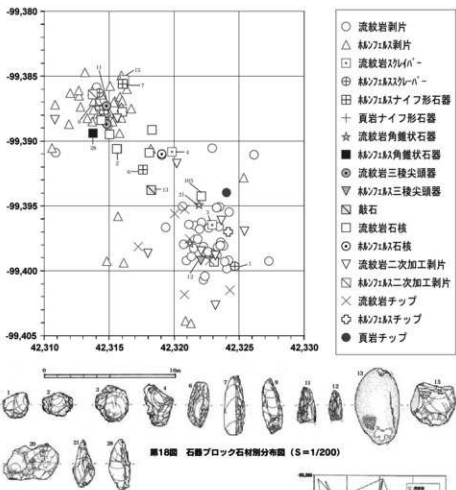
第15図 第Ⅰ文化層遺構分布図 ($S = 1/400$)



第16図 第Ⅰ・Ⅱ文化層調査区域 ($S = 1/1,600$)



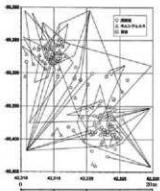
第17図 第Ⅰ文化層 石器ブロック・礫群分布図 ($S = 1/800, 1/400$)



第18図 石器ブロック石材別分布図 (S=1/200)

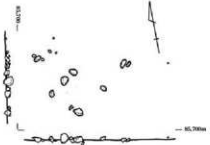
タイプ	石器	先端状	スレバ	三稜	底面	石核	二次加工	剥片	チップ	合計
流紋岩	2	4	2	8	9	9	40	7	72	
ホルンブリス	3	1	3	2	1	1	42	1	55	
貝岩	1							1	2	
計	4	3	7	3	1	9	10	82	9	129

第1表 第1文化層石材別石器組成表



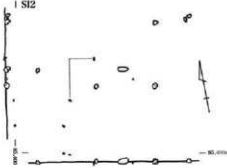
第19図 石器ブロック接合状況 (S=1/400)

SI1



第20図 碑群実測図(1) (S=1/40)

SI2



第21図 碑群実測図(2) (S=1/40)



非赤化：赤化が見られない。

弱赤化：部分的な赤化（5個未満）が見られる。

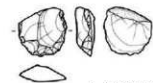
中赤化：赤化している（5個以上～8個未満）。

強赤化：極めて赤化している（8個以上～10個）。

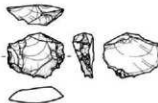
第2表 第Ⅰ文化層碑群の石材・赤化率

箇所名 (Ex-43-下223号)	個数1	個数2	個数1+2合計
個 数	16	11	27
全重量(g)	5, 331 g	3, 204 g	8, 835 g
平均(g)	333.2 g	291.3 g	316.0 g
非 赤 量	4	6	10
赤 量(g)	2, 857 g	2, 225 g	5, 082 g
赤量の割合(%)	25.0%	54.5%	37.0%
性 别	53.8%	69.3%	59.8%
年 齡	平均年齢(g)	172.0 g	508.2 g
石 材	個 数	6	4
非 赤 量(g)	797 g	514 g	1, 311 g
赤量の割合(%)	37.5%	36.4%	37.0%
性 別	赤量の割合(%)	14.9%	16.0%
年 齡	平均年齢(g)	132.8 g	128.5 g
木 材	個 数	6	1
非 赤 量(g)	1, 677 g	465 g	2, 142 g
赤量の割合(%)	37.5%	9.1%	26.0%
性 別	赤量の割合(%)	31.5%	14.3%
年 齡	平均年齢(g)	279.5 g	465.0 g
骨 類	個 数	0	0
赤量(g)	0	0	0
赤量の割合(%)	0	0	0
性 別	赤量の割合(%)	0	0
年 齡	平均年齢(g)	—	—
炭	無	0	1 (3.7%)
30%以上	4 (25.0%)	3 (27.3%)	7 (28.9%)
半	1 (6.3%)	0	1 (3.7%)
40%未満	11 (66.7%)	7 (63.6%)	18 (66.7%)
赤 化	無	0	0
弱	1 (6.3%)	5 (45.5%)	6 (20.0%)
半	5 (31.3%)	6 (54.5%)	11 (39.7%)
強	0	0	0
生けいの標記量	—	—	—
生けいの標記量	3, 191 g	3, 372 g	3, 663 g
合計	3, 191 g	2, 372 g	3, 663 g
割合(%)	59.9%	74.0%	65.2%
塗色の有無	あり	1 (6.3%)	1 (3.7%)
なし	15	11	26 (96.3%)
備 考	石器ブロック 石器ブロック 1の面開き 2と並なら		

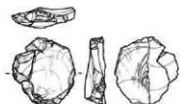
第3表 碑群計測表



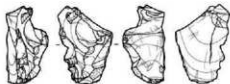
1 ホルンフェルス



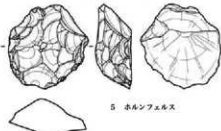
2 流紋岩A



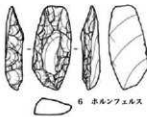
3 流紋岩A



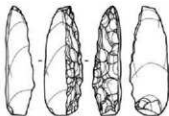
4 流紋岩A



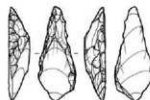
5 ホルンフェルス



6 ホルンフェルス

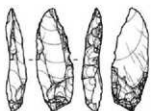


7 ホルンフェルス



8 ホルンフェルス

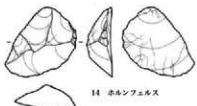
第22図 第1文化層 石器実測図 (1) (5=2/3)



9 灰岩



10 流紋岩D

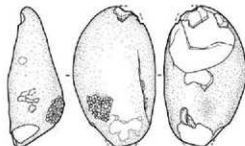


11 ホルンフェルス



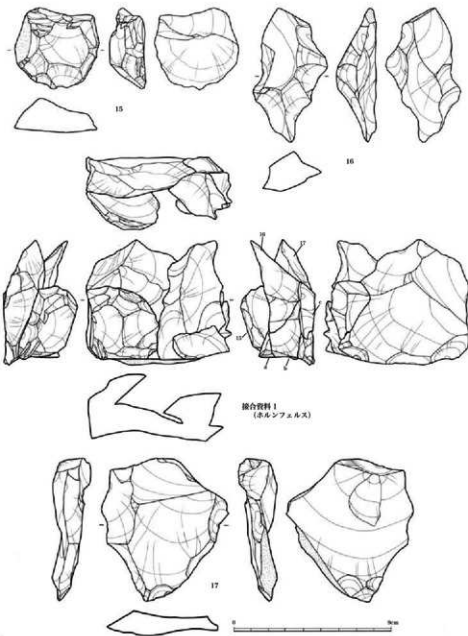
12 ホルンフェルス

4 mm

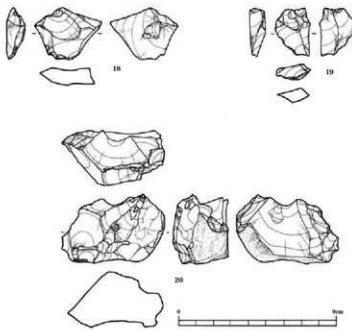
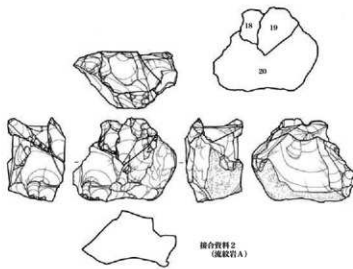


13 ホルンフェルス

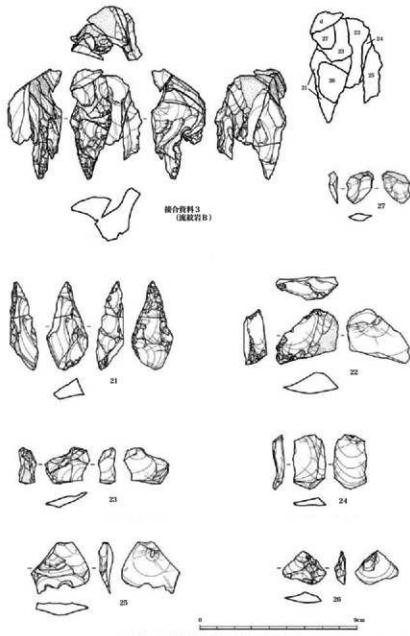
第23図 第Ⅰ文化層 石器実測図(2) (S=2/3)



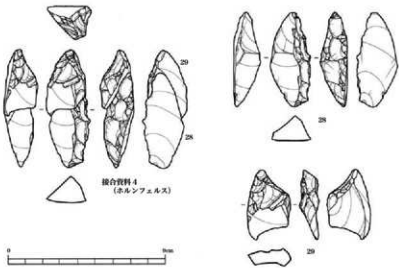
第24図 第I文化層 石器実測図(3) ($S = 2/3$)



第25図 第Ⅰ文化層 石器実測図(4) ($S = 2/3$)



第26図 第Ⅰ文化層 石器実測図 (5) ($S = 2/3$)



第27図 第I文化層 石器実測図 (46) (S=2/3)

標物番号	出土場所	面	種	石材	最大長	最大幅	厚さ	重さ(g)	工具種	工具種	レーベル
1	Vtob-1-C2	スクリュー	ホルンフェルス	22.85cm	2.0mm	10mm	0.1	999999.000	432324.073	85.007	
2	Vtob-1-C2	スクリュー	ホルンフェルス	22.65	3.3	1.2	0.1	999999.500	432315.411	85.432	
3	Vtob-1-C2	スクリュー	ホルンフェルス	23.95	3.6	1.2	0.1	999999.45	432322.965	85.059	
4	Vtob-1-C2	スクリュー	ホルンフェルス	24.46	3.15	1.45	0.1	999999.04	432320.044	85.471	
5	Vtob-1-C2	スクリュー	ホルンフェルス	24.85	4.65	1.05	0.1	999999.5	432314.95	85.293	
6	Vtob-1-C2	スクリュー	ホルンフェルス	24.98	4.24	1.05	0.1	999999.2	432311.05	85.008	
7	Vtob-1-C2	スクリュー	ホルンフェルス	25.02	4.24	1.05	0.1	999999.6	432310.05	85.231	
8	Vtob-1-C2	スクリュー	ホルンフェルス	25.15	4.24	1.05	0.1	999997.6	432314.05	85.252	
9	Vtob-1-C2	スクリュー	ホルンフェルス	25.45	4.24	1.05	0.1	999997.5	432314.95	85.386	
10	Vtob-1-C2	スクリュー	ホルンフェルス	25.55	4.24	1.05	0.1	999999.692	432314.023	85.341	
11	Vtob-1-C2	スクリュー	ホルンフェルス	25.47	4.0	0.9	0.1	999997.3	432314.8	85.225	
12	Vtob-1-C2	スクリュー	ホルンフェルス	25.7	4.45	1.05	0.1	999997.3	432314.8	85.225	
13	Vtob-1-C2	スクリュー	ホルンフェルス	26.15	4.8	1.1	0.1	999999.781	432318.344	85.427	
14	Vtob-1-C2	スクリュー	ホルンフェルス	26.65	4.2	1.4	0.1	999999.4	432313.73	85.247	
縫合資料1											
15	Vtob-1-C2	スクリュー	ホルンフェルス	26.7	4.9	1.0	0.1	999999.2	432314.25	85.308	
16	Vtob-1-C2	スクリュー	ホルンフェルス	26.8	4.3	1.05	0.1	999997.84	432315.05	85.287	
17	Vtob-1-C2	石核	ホルンフェルス	26.9	7.35	1.7	0.1	999991	432319.05	85.404	
縫合資料2											
18	Vtob-1-C2	次加工石核	ホルンフェルス	27.04	3.9	1.05	0.1	999998.26	432315.813	85.303	
19	Vtob-1-C2	石核	ホルンフェルス	27.8	22.05	0.9	0.1	999999.213	432320.985	85.903	
20	Vtob-1-C2	石核	ホルンフェルス	28.0	5.9	1.2	0.1	999994.25	432322.1	85.334	
縫合資料3											
21	Vtob-1-C2	次加工石核	ホルンフェルス	28.07	22.35	0.95	0.1	999997.844	432321.225	85.304	
22	Vtob-1-C2	次加工石核	ホルンフェルス	28.18	3.6	1.2	0.1	999992.067	432313.277	85.059	
23	Vtob-1-C2	次加工石核	ホルンフェルス	28.12	2.6	0.95	0.1	999999.962	432325.431	85.277	
24	Vtob-1-C2	次加工石核	ホルンフェルス	28.2	1.9	0.5	0.1	999998.005	432317.988	85.516	
25	Vtob-1-C2	次加工石核	ホルンフェルス	28.2	2.8	0.5	0.1	999999.113	432323.947	85.321	
26	Vtob-1-C2	次加工石核	ホルンフェルス	28.9	4.7	0.5	0.1	999998.277	432323.173	85.315	
27	Vtob-1-C2	石核	ホルンフェルス	29.88	1.67	0.45	0.1	999991.737	432320.192	85.238	
縫合資料4											
28	Vtob-1-C2	次加工石核	ホルンフェルス	30.88	4.55	1.0	0.1	999995.3	432313.2	85.337	
29	Vtob-1-C2	石核	ホルンフェルス	30.85	4.5	1.1	0.1	999999.15	432313.2	85.306	

第4表 第I文化層 石器計測表

2 第II文化層の遺構

旧石器時代第II文化層の調査は、基本層序のV(下位)～VI層中位にあたり、Kr-Kb層以降、細石器文化期にかけてのKr-Kb中位～MLI下位の文化層である。第II文化層では、遺構として調査区の南西寄りの7mの範囲内に3基の陥し穴を検出した。遺物は残念ながら出土しなかった。

○ 遺構 (第28図～第30図)

SC 1 (1号陥し穴) (第15・28図)

B 3 グリッドの西に位置する。長径1.1m、短径0.85m、残深1.57mで円形を呈する。検出面はKr-Kb(Vlb層)である。しかし、この土層では穴の輪郭が明瞭でなかったため、Vlb層中位まで掘り下げた。

穴の上から2/5程度は、Kr-Kbを主体とする黒褐色～暗褐色の埋土で、弱粘質で、固くしまっている。穴の底部1/5を除く中位は、ATブロックを主体とする黒褐色～暗褐色、一部褐色の埋土でしまりがある。底部の1/5ほどは、粘質の黒褐色～暗褐色

で、一部にATを含み、しまりはまちまちである。底部は、赤褐色ローム層(XI層)に達していた。

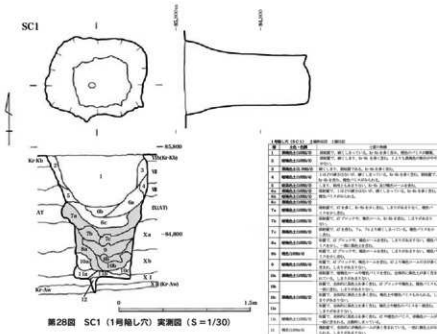
底部には、径8cmの小穴を一つ確認できた。この小穴の底部は明褐色ローム層(XIII層)に達していた。底部からAT下面までの深さは0.8mである。南西1.6mには3号陥し穴が、北東6.8mには2号陥し穴が位置する。

なお、底部上層から採取した土上の植物珪酸体分析により、VIa層の上層断面の植物珪酸体の組成や密度に対比するという結果を得た。

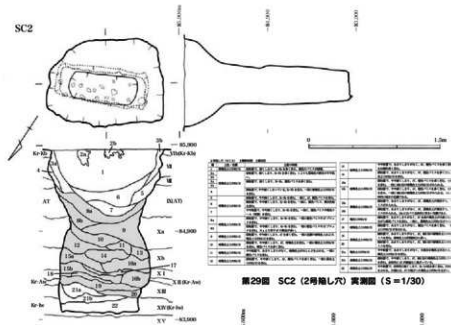
SC 2 (2号陥し穴) (第15・29図)

C 3 とB 3 グリッドの間に位置する。長径1.27m、短径0.99m、残深1.9mで開丸方形を呈する。検出面は、Kr-Kbである。しかし、1号陥し穴と同様に、Vlb層中位まで掘り下げ、輪郭を確かめた。

底部は、霧島イワオシ(Kr-Iw、XIV層)にまで達していた。半数した結果、2号陥し穴はATからMB 2あたりで一度狭くくびれていた。



測量図(15-28) 実測図 (S=1/30)	
1	測量図(15-28) 実測図 (S=1/30)
2	測量図(15-28) 実測図 (S=1/30)
3	測量図(15-28) 実測図 (S=1/30)
4	測量図(15-28) 実測図 (S=1/30)
5	測量図(15-28) 実測図 (S=1/30)
6	測量図(15-28) 実測図 (S=1/30)
7	測量図(15-28) 実測図 (S=1/30)
8	測量図(15-28) 実測図 (S=1/30)
9	測量図(15-28) 実測図 (S=1/30)
10	測量図(15-28) 実測図 (S=1/30)
11	測量図(15-28) 実測図 (S=1/30)
12	測量図(15-28) 実測図 (S=1/30)
13	測量図(15-28) 実測図 (S=1/30)
14	測量図(15-28) 実測図 (S=1/30)
15	測量図(15-28) 実測図 (S=1/30)
16	測量図(15-28) 実測図 (S=1/30)
17	測量図(15-28) 実測図 (S=1/30)
18	測量図(15-28) 実測図 (S=1/30)
19	測量図(15-28) 実測図 (S=1/30)
20	測量図(15-28) 実測図 (S=1/30)
21	測量図(15-28) 実測図 (S=1/30)
22	測量図(15-28) 実測図 (S=1/30)
23	測量図(15-28) 実測図 (S=1/30)
24	測量図(15-28) 実測図 (S=1/30)
25	測量図(15-28) 実測図 (S=1/30)
26	測量図(15-28) 実測図 (S=1/30)
27	測量図(15-28) 実測図 (S=1/30)
28	測量図(15-28) 実測図 (S=1/30)
29	測量図(15-28) 実測図 (S=1/30)
30	測量図(15-28) 実測図 (S=1/30)
31	測量図(15-28) 実測図 (S=1/30)
32	測量図(15-28) 実測図 (S=1/30)
33	測量図(15-28) 実測図 (S=1/30)
34	測量図(15-28) 実測図 (S=1/30)
35	測量図(15-28) 実測図 (S=1/30)
36	測量図(15-28) 実測図 (S=1/30)
37	測量図(15-28) 実測図 (S=1/30)
38	測量図(15-28) 実測図 (S=1/30)
39	測量図(15-28) 実測図 (S=1/30)
40	測量図(15-28) 実測図 (S=1/30)
41	測量図(15-28) 実測図 (S=1/30)
42	測量図(15-28) 実測図 (S=1/30)
43	測量図(15-28) 実測図 (S=1/30)
44	測量図(15-28) 実測図 (S=1/30)
45	測量図(15-28) 実測図 (S=1/30)
46	測量図(15-28) 実測図 (S=1/30)
47	測量図(15-28) 実測図 (S=1/30)
48	測量図(15-28) 実測図 (S=1/30)
49	測量図(15-28) 実測図 (S=1/30)
50	測量図(15-28) 実測図 (S=1/30)
51	測量図(15-28) 実測図 (S=1/30)
52	測量図(15-28) 実測図 (S=1/30)
53	測量図(15-28) 実測図 (S=1/30)
54	測量図(15-28) 実測図 (S=1/30)
55	測量図(15-28) 実測図 (S=1/30)
56	測量図(15-28) 実測図 (S=1/30)
57	測量図(15-28) 実測図 (S=1/30)
58	測量図(15-28) 実測図 (S=1/30)
59	測量図(15-28) 実測図 (S=1/30)
60	測量図(15-28) 実測図 (S=1/30)
61	測量図(15-28) 実測図 (S=1/30)
62	測量図(15-28) 実測図 (S=1/30)
63	測量図(15-28) 実測図 (S=1/30)
64	測量図(15-28) 実測図 (S=1/30)
65	測量図(15-28) 実測図 (S=1/30)
66	測量図(15-28) 実測図 (S=1/30)
67	測量図(15-28) 実測図 (S=1/30)
68	測量図(15-28) 実測図 (S=1/30)
69	測量図(15-28) 実測図 (S=1/30)
70	測量図(15-28) 実測図 (S=1/30)
71	測量図(15-28) 実測図 (S=1/30)
72	測量図(15-28) 実測図 (S=1/30)
73	測量図(15-28) 実測図 (S=1/30)
74	測量図(15-28) 実測図 (S=1/30)
75	測量図(15-28) 実測図 (S=1/30)
76	測量図(15-28) 実測図 (S=1/30)
77	測量図(15-28) 実測図 (S=1/30)
78	測量図(15-28) 実測図 (S=1/30)
79	測量図(15-28) 実測図 (S=1/30)
80	測量図(15-28) 実測図 (S=1/30)
81	測量図(15-28) 実測図 (S=1/30)
82	測量図(15-28) 実測図 (S=1/30)
83	測量図(15-28) 実測図 (S=1/30)
84	測量図(15-28) 実測図 (S=1/30)
85	測量図(15-28) 実測図 (S=1/30)
86	測量図(15-28) 実測図 (S=1/30)
87	測量図(15-28) 実測図 (S=1/30)
88	測量図(15-28) 実測図 (S=1/30)
89	測量図(15-28) 実測図 (S=1/30)
90	測量図(15-28) 実測図 (S=1/30)
91	測量図(15-28) 実測図 (S=1/30)
92	測量図(15-28) 実測図 (S=1/30)
93	測量図(15-28) 実測図 (S=1/30)
94	測量図(15-28) 実測図 (S=1/30)
95	測量図(15-28) 実測図 (S=1/30)
96	測量図(15-28) 実測図 (S=1/30)
97	測量図(15-28) 実測図 (S=1/30)
98	測量図(15-28) 実測図 (S=1/30)
99	測量図(15-28) 実測図 (S=1/30)
100	測量図(15-28) 実測図 (S=1/30)
101	測量図(15-28) 実測図 (S=1/30)
102	測量図(15-28) 実測図 (S=1/30)
103	測量図(15-28) 実測図 (S=1/30)
104	測量図(15-28) 実測図 (S=1/30)
105	測量図(15-28) 実測図 (S=1/30)
106	測量図(15-28) 実測図 (S=1/30)
107	測量図(15-28) 実測図 (S=1/30)
108	測量図(15-28) 実測図 (S=1/30)
109	測量図(15-28) 実測図 (S=1/30)
110	測量図(15-28) 実測図 (S=1/30)
111	測量図(15-28) 実測図 (S=1/30)
112	測量図(15-28) 実測図 (S=1/30)
113	測量図(15-28) 実測図 (S=1/30)
114	測量図(15-28) 実測図 (S=1/30)
115	測量図(15-28) 実測図 (S=1/30)
116	測量図(15-28) 実測図 (S=1/30)
117	測量図(15-28) 実測図 (S=1/30)
118	測量図(15-28) 実測図 (S=1/30)
119	測量図(15-28) 実測図 (S=1/30)
120	測量図(15-28) 実測図 (S=1/30)
121	測量図(15-28) 実測図 (S=1/30)
122	測量図(15-28) 実測図 (S=1/30)
123	測量図(15-28) 実測図 (S=1/30)
124	測量図(15-28) 実測図 (S=1/30)
125	測量図(15-28) 実測図 (S=1/30)
126	測量図(15-28) 実測図 (S=1/30)
127	測量図(15-28) 実測図 (S=1/30)
128	測量図(15-28) 実測図 (S=1/30)
129	測量図(15-28) 実測図 (S=1/30)
130	測量図(15-28) 実測図 (S=1/30)
131	測量図(15-28) 実測図 (S=1/30)
132	測量図(15-28) 実測図 (S=1/30)
133	測量図(15-28) 実測図 (S=1/30)
134	測量図(15-28) 実測図 (S=1/30)
135	測量図(15-28) 実測図 (S=1/30)
136	測量図(15-28) 実測図 (S=1/30)
137	測量図(15-28) 実測図 (S=1/30)
138	測量図(15-28) 実測図 (S=1/30)
139	測量図(15-28) 実測図 (S=1/30)
140	測量図(15-28) 実測図 (S=1/30)
141	測量図(15-28) 実測図 (S=1/30)
142	測量図(15-28) 実測図 (S=1/30)
143	測量図(15-28) 実測図 (S=1/30)
144	測量図(15-28) 実測図 (S=1/30)
145	測量図(15-28) 実測図 (S=1/30)
146	測量図(15-28) 実測図 (S=1/30)
147	測量図(15-28) 実測図 (S=1/30)
148	測量図(15-28) 実測図 (S=1/30)
149	測量図(15-28) 実測図 (S=1/30)
150	測量図(15-28) 実測図 (S=1/30)
151	測量図(15-28) 実測図 (S=1/30)
152	測量図(15-28) 実測図 (S=1/30)
153	測量図(15-28) 実測図 (S=1/30)
154	測量図(15-28) 実測図 (S=1/30)
155	測量図(15-28) 実測図 (S=1/30)
156	測量図(15-28) 実測図 (S=1/30)
157	測量図(15-28) 実測図 (S=1/30)
158	測量図(15-28) 実測図 (S=1/30)
159	測量図(15-28) 実測図 (S=1/30)
160	測量図(15-28) 実測図 (S=1/30)
161	測量図(15-28) 実測図 (S=1/30)
162	測量図(15-28) 実測図 (S=1/30)
163	測量図(15-28) 実測図 (S=1/30)
164	測量図(15-28) 実測図 (S=1/30)
165	測量図(15-28) 実測図 (S=1/30)
166	測量図(15-28) 実測図 (S=1/30)
167	測量図(15-28) 実測図 (S=1/30)
168	測量図(15-28) 実測図 (S=1/30)
169	測量図(15-28) 実測図 (S=1/30)
170	測量図(15-28) 実測図 (S=1/30)
171	測量図(15-28) 実測図 (S=1/30)
172	測量図(15-28) 実測図 (S=1/30)
173	測量図(15-28) 実測図 (S=1/30)
174	測量図(15-28) 実測図 (S=1/30)
175	測量図(15-28) 実測図 (S=1/30)
176	測量図(15-28) 実測図 (S=1/30)
177	測量図(15-28) 実測図 (S=1/30)
178	測量図(15-28) 実測図 (S=1/30)
179	測量図(15-28) 実測図 (S=1/30)
180	測量図(15-28) 実測図 (S=1/30)
181	測量図(15-28) 実測図 (S=1/30)
182	測量図(15-28) 実測図 (S=1/30)
183	測量図(15-28) 実測図 (S=1/30)
184	測量図(15-28) 実測図 (S=1/30)
185	測量図(15-28) 実測図 (S=1/30)
186	測量図(15-28) 実測図 (S=1/30)
187	測量図(15-28) 実測図 (S=1/30)
188	測量図(15-28) 実測図 (S=1/30)
189	測量図(15-28) 実測図 (S=1/30)
190	測量図(15-28) 実測図 (S=1/30)
191	測量図(15-28) 実測図 (S=1/30)
192	測量図(15-28) 実測図 (S=1/30)
193	測量図(15-28) 実測図 (S=1/30)
194	測量図(15-28) 実測図 (S=1/30)
195	測量図(15-28) 実測図 (S=1/30)
196	測量図(15-28) 実測図 (S=1/30)
197	測量図(15-28) 実測図 (S=1/30)
198	測量図(15-28) 実測図 (S=1/30)
199	測量図(15-28) 実測図 (S=1/30)
200	測量図(15-28) 実測図 (S=1/30)
201	測量図(15-28) 実測図 (S=1/30)
202	測量図(15-28) 実測図 (S=1/30)
203	測量図(15-28) 実測図 (S=1/30)
204	測量図(15-28) 実測図 (S=1/30)
205	測量図(15-28) 実測図 (S=1/30)
206	測量図(15-28) 実測図 (S=1/30)
207	測量図(15-28) 実測図 (S=1/30)
208	測量図(15-28) 実測図 (S=1/30)
209	測量図(15-28) 実測図 (S=1/30)
210	測量図(15-28) 実測図 (S=1/30)
211	測量図(15-28) 実測図 (S=1/30)
212	測量図(15-28) 実測図 (S=1/30)
213	測量図(15-28) 実測図 (S=1/30)
214	測量図(15-28) 実測図 (S=1/30)
215	測量図(15-28) 実測図 (S=1/30)
216	測量図(15-28) 実測図 (S=1/30)
217	測量図(15-28) 実測図 (S=1/30)
218	測量図(15-28) 実測図 (S=1/30)
219	測量図(15-28) 実測図 (S=1/30)
220	測量図(15-28) 実測図 (S=1/30)
221	測量図(15-28) 実測図 (S=1/30)
222	測量図(15-28) 実測図 (S=1/30)
223	測量図(15-28) 実測図 (S=1/30)
224	測量図(15-28) 実測図 (S=1/30)
225	測量図(15-28) 実測図 (S=1/30)
226	測量図(15-28) 実測図 (S=1/30)
227	測量図(15-28) 実測図 (S=1/30)
228	測量図(15-28) 実測図 (S=1/30)
229	測量図(15-28) 実測図 (S=1/30)
230	測量図(15-28) 実測図 (S=1/30)
231	測量図(15-28) 実測図 (S=1/30)
232	測量図(15-28) 実測図 (S=1/30)
233	測量図(15-28) 実測図 (S=1/30)
234	測量図(15-28) 実測図 (S=1/30)
235	測量図(15-28) 実測図 (S=1/30)
236	測量図(15-28) 実測図 (S=1/30)
237	測量図(15-28) 実測図 (S=1/30)
238	測量図(15-28) 実測図 (S=1/30)
239	測量図(15-28) 実測図 (S=1/30)
240	測量図(15-28) 実測図 (S=1/30)
241	測量図(15-28) 実測図 (S=1/30)
242	測量図(15-28) 実測図 (S=1/30)
243	測量図(15-28) 実測図 (S=1/30)
244	測量図(15-28) 実測図 (S=1/30)
245	測量図(15-28) 実測図 (S=1/30)
246	測量図(15-28) 実測図 (S=1/30)
247	測量図(15-28) 実測図 (S=1/30)
248	測量図(15-28) 実測図 (S=1/30)
249	測量図(15-28) 実測図 (S=1/30)
250	測量図(15-28) 実測図 (S=1/30)
251	測量図(15-28) 実測図 (S=1/30)
252	測量図(15-28) 実測図 (S=1/30)
253	測量図(15-28) 実測図 (S=1/30)
254	測量図(15-28) 実測図 (S=1/30)
255	測量図(15-28) 実測図 (S=1/30)
256	測量図(15-28) 実測図 (S=1/30)
257	測量図(15-28) 実測図 (S=1/30)
258	測量図(15-28) 実測図 (S=1/30)
259	測量図(15-28) 実測図 (S=1/30)
260	測量図(15-28) 実測図 (S=1/30)
261	測量図(15-28) 実測図 (S=1/30)
262	測量図(15-28) 実測図 (S=1/30)
263	測量図(15-28) 実測図 (S=1/30)
264	測量図(15-28) 実測



第29回 SC2(2号輪し穴) 實測圖 (S=1/30)

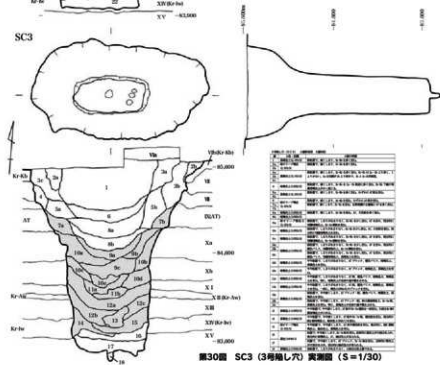
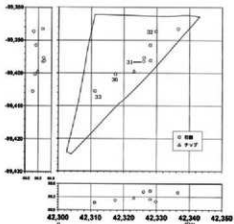
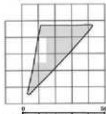


図30 SC3(3号端し穴)実測図(S=1/30)



第31図 縄文時代早期 遺物分布図 (S=1/800)



第32図 縄文時代早期 調査区域 (S=1/1,600)

	石器	チップ	合計
石	石刀/石斧	2	2
石	石器	1	1
石	石器	3	3
石	石器	1	1
石	石器	1	1
石	石器	1	1
石	石器	2	2
石	石器	9	9

第35表 縄文時代早期 石材別石器組成表

埋土の様子は1号陥し穴と似ており、穴の上から半分程度は、Kr-Kbを主体とする黒褐色～暗褐色の埋土で、弱粘質で、固くしまっている。穴の底部1/5を除く中位は、A TブロックやML 2・3を主体とする黒褐色～暗褐色、一部褐色の埋土でしまりがない。底部の1/5ほどは、粘質の黒褐色、褐色で、一部にA Tを含み、上部はしまりがない。最下部はイワコシを含み固くしまっている。

底部には、径1～10cmの小穴を17個確認した。ただ、1・3号とは違い、極めて硬いイワコシを掘り抜くための道具痕であるとの見方できよう。底部からA T下面までの深さは1.11mである。南西6.8mには1号陥し穴が位置する。

なお、底部土層から採取した炭化物の放射性炭素年代測定した結果は、補正¹⁴C年代で11420±60年BPを示した。

S C 3 (3号陥し穴) (第15・30回)

B 4とA 4グリッドの間(北部)に位置する。長径2.0m、短径1.06m、残深2.31mで楕円形を呈する。検出面は、Kr-Kbである。しかし、陥し穴1・2号と同様に、Vt b層中位まで掘り下げ、輪郭を確かめた。底部は、明黄褐色ローム(X V層)まで達していた。本遺跡の中で最も大きくかつ深い陥し穴であ

る。

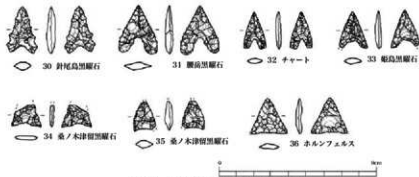
埋土の様子は陥し穴1・2号と似ており、穴の上から2/5程度は、Kr-Kbを主体とする黒褐色～暗褐色の埋土で、弱粘質で、固くしまっている。穴の底部1/10を除く中位は、A TブロックやML 2・3を主体とする黒褐色～暗褐色、一部褐色の埋土でしまりがない。底部の1/10ほどは、粘質の黒褐色、黃褐色で、一部にA T、イワコシ粒を含み極めて粘性がある。

底面には、径6～9cmの小穴を4つ確認できた。底部からA T下面までの深さは1.5mである。北東1.6mには1号陥し穴が位置する。

なお、底部土層から採取した炭化物の放射性炭素年代測定した結果は、補正¹⁴C年代で11540±40年BPを示した。

第4節 縄文時代早期の遺物

縄文時代早期の調査は、全調査区の約81%の範囲を行った(第32図)。遺物は、わずかに9点で、石器8点、チップ1点である。その石材は、桑/木津留黒耀石2点、腰岳黒耀石2点、姫島黒耀石1点、ホルンフェルス1点、針尾島黒耀石1点、チャート1点、流紋岩A 1点である。ここでは、主な機種ご



第33図 純文時代早期 石器実測図 (S=2/3)

石器名	器種	長さ	幅	厚さ	基部形状	尖端形状	断面	基部	尖端	参考
30. 鈎尾島黒曜石	石鏃	1.47	0.45	0.14	平行	鋸歯	平行	平行	平行	11176, 431
31. 腰岳黒曜石	石鏃	1.47	0.45	0.14	平行	鋸歯	平行	平行	平行	11176, 431
32. チャート	石鏃	1.15	0.35	0.13	平行	鋸歯	平行	平行	平行	99387, 303
33. 姫島黒曜石	石鏃	1.15	0.35	0.13	平行	鋸歯	平行	平行	平行	99387, 303
34. 桑ノ木津留黒曜石	石鏃	1.15	0.40	0.13	平行	鋸歯	平行	平行	平行	99480, 314
35. 桑ノ木津留黒曜石	石鏃	1.15	0.40	0.13	平行	鋸歯	平行	平行	平行	99480, 314
36. ホルンフェルス	石鏃	1.15	0.40	0.13	平行	鋸歯	平行	平行	平行	99480, 314

第6表 純文時代早期 石器計測表

とに報告を行う(第31・33図、第5・6表)。

A 石鏃

出土した石鏃は、散漫な分布であるが、北東側に比較的多い。

30~36の石材は、桑ノ木津留黒曜石2点、腰岳黒曜石1点(接合体1個体2点のため)、姫島黒曜石1点、ホルンフェルス1点、針尾島黒曜石1点、チャート1点である。

本遺跡の二次・三次調査では、石鏃の形から次のような分類を行った。7点をあてはめると以下のようになる。

- A 3cm以上の大型で基部が丸い(推定含む)
- B 3cm以上の大型で基部が外に張る(推定含む)
- C AタイプとBタイプの中間 30
- D 扱りの顯著なもの
- E 逆ハート形の均整の取れたもの 31
- F 扱りが全体の1/4~1/5程度のもの 32, 33
- G 扱りのほとんどないもの 34, 35, 36
- H 石鏃の形が不明なもの

イ チップ

わずかに1点である。前述した旧石器時代第I文化層で最も多く確認された流紋岩A製である。

前述した第I文化層の接合資料3(流紋岩B製)はVIa・VIb層の接合資料である。この接合資料の中には、IV層で確認された二次加工調片と剥片の2点が含まれている。接合の主体はKr-Kbがあるので同じ時代とした。断定はできないが、このチップもその可能性があるかもしれない。

第VI章 三次調査の記録

第1節 発掘調査の方法

1 調査の方法と調査区の設定

三次調査区は、傾斜角8%程度の傾斜地であったため、排土置き場を確保できなかった。そこで、二次調査終了区に排土運搬を2回実施して排土流出防止策を講じながら調査を行った。最終的な調査面積は、3,700m²であった。

三次調査でも二次調査と同様に、国土座標に基づき、グリッド法で10m×10mグリッドを設定した。グリッド名は、東西方向にI～10、南北方向にA～Hとし、それを組み合わせたものを使用した。例えば、A区東端のグリッドはB2となる（第35図）。

2 調査の手順

調査は、まず、K-Ah下面で遺構の確認を行った。その後、縄文時代早期（IV層・MB0～V層・ML1）の精査を人力で行った。次に、重機で残ったV層及びVIa層を除去して、VI層（Kr-Kb）～Ⅶ層（ML2）まで人力で掘り下げた。そして、無遺物層であるATを重機で除去して、MB2・MB3の精査を人力で行った。

第2節 三次調査区の土層

A区は、確認調査の結果、土層の堆積状況がわからない箇所があったので、確認調査で設定したトレントに沿って、東西壁1箇所（長さ47.7m、第36～38図）、南北壁西側（39.2m、第36・39・40図）、同東側（35.2m、第36・41図）を掘り下げて確認した。さらに、A区の北に多くの散礫が確認されたので、X層から下位の土層を確認した（東西壁・23m、第36・47図）。

B区北地区では、調査区の北端で東西壁（15.4m、第36・42図）、東端で南北壁（24.4m、第36・43図）を、南地区では、東端で南北壁（7m、第36・44図）、南端で東西壁（24.8m、第36・45図）の土層を確認した。

調査区は北東方向に傾斜し、調査区の東端から西端までの高度差は約8mである。前述したように、

A区のK-Ah層灰以後の文化層については調査が終了している。K-Ah下位層については、A区とB区で様相が変わる。

A区は中央から概ね南半分および西側のみに黒褐色土層（IV層・MB0）は分布し、黒褐色土の分布しない北部は概ねV層以下が堆積している。ただし、調査区の東端にいくにつれて、本来の土色が淡く、にぼい色調になり、黒褐色土や暗褐色土の区別が困難になる。さらに、Kr-Kb層とATが同じ面に混在する場合も一部に確認された。

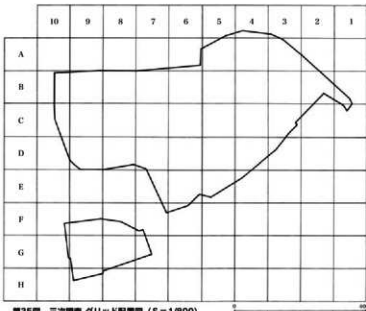
Kr-Kb（Vla・VIb層）は、調査区の南西部から北東部に位置する谷部を除いてほぼ堆積状況が確認できる。MB2・MB3（X層）も、Kr-Kbの分布と同様に、谷部を除いてほぼ堆積している。しかし、高度が下がるにつれて、層厚は減り、東端崖の壁面では、ブロック状に確認できる程度である。

谷部の上層については、旧石器時代第IV文化層のところで後述するが、中位～下位ではKr-KbやATが混在している。また掘り下げた底部周辺は、地下水の伏流水が現在も見られ、大隈降下凝灰岩と思われるAT火山灰やKr-Iwと思われる火山灰が堆積していた。

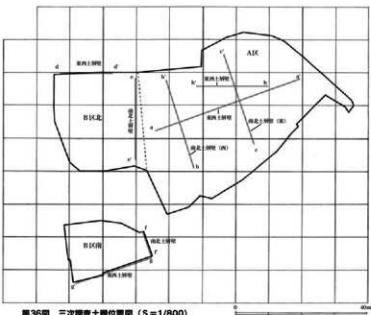
B区は、二次調査と同様に、どの層も堆積状況が概ね確認できる。ただし、ATはVII層（褐色ローム、ML2、ATの二次堆積）とIX層（AT）は、混在している場合が多くみられ、VII・IX層が明確に区別できない傾向にある。



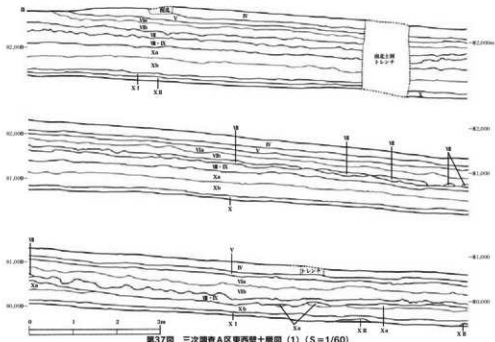
第34図 地形図及び調査区 (S = 1/4,000)



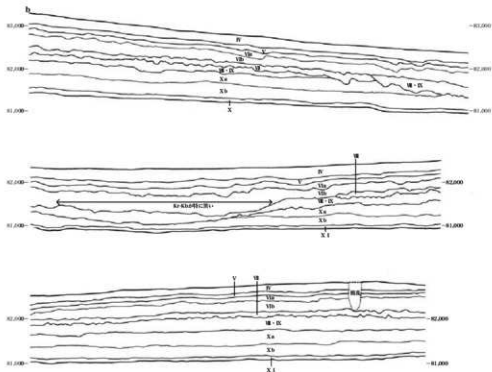
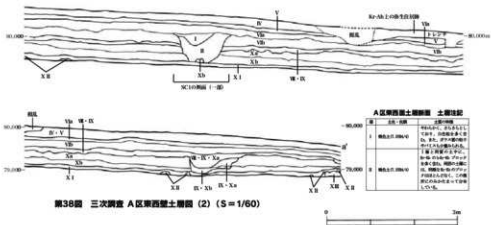
第35図 三次調査 グリッド配図 (S = 1/800)

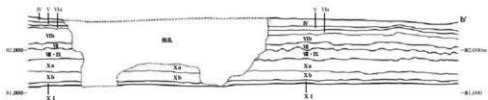


第36圖 三次調查土壤位置圖 ($S=1/800$)

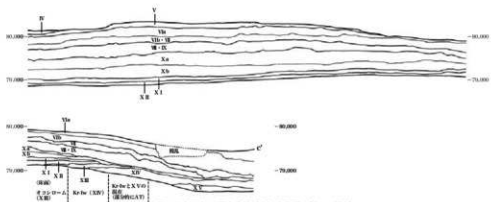
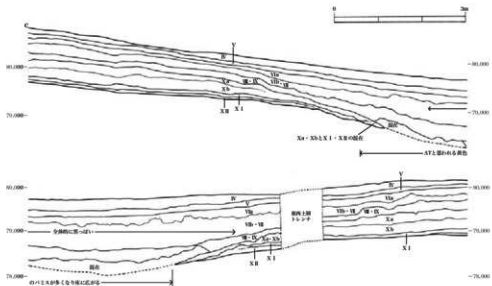


第37図 三次調査A区東西壁土層図(1)(S=1/60)

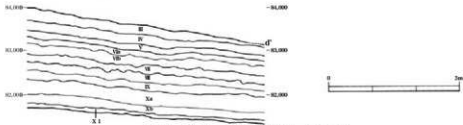
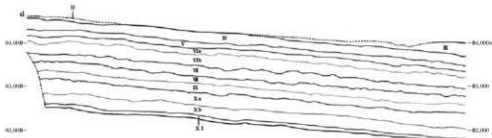




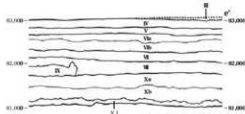
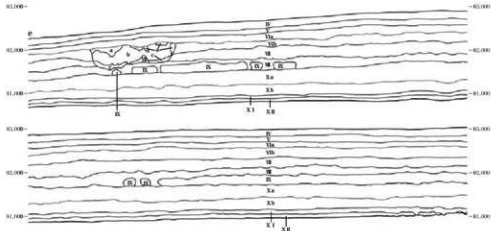
第40図 三次調査 A区南北壁(西) 土層図 (2) (S=1/60)



第41図 三次調査 A区南北壁(東) 土層図 (S=1/60)



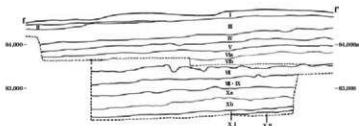
第42図 三次調査 B区北 東西壁土層図 (S = 1/60)



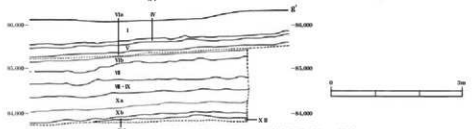
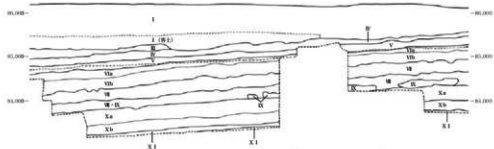
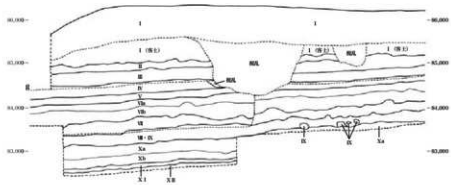
B区南北壁土層断面 土層注記

層	土層名	特徴
II	地盤上砂質土層	地盤の上に、中層にして、かなり厚い砂質土層。表面から、Vb層が形成され、その下にVIa層が形成される。
V	地盤上砂質土層	地盤の上に、中層にして、かなり厚い砂質土層。表面から、VIa層が形成され、その下にVIb層が形成される。
VIa	地盤上砂質土層	地盤の上に、中層にして、かなり厚い砂質土層。表面から、VIb層が形成され、その下にVII層が形成される。
VIb	地盤上砂質土層	地盤の上に、中層にして、かなり厚い砂質土層。表面から、VII層が形成され、その下にVIII層が形成される。
VII	地盤上砂質土層	地盤の上に、中層にして、かなり厚い砂質土層。表面から、VIII層が形成され、その下にIX層が形成される。
VIII	地盤上砂質土層	地盤の上に、中層にして、かなり厚い砂質土層。表面から、IX層が形成され、その下にXa層が形成される。
Xa	地盤上砂質土層	地盤の上に、中層にして、かなり厚い砂質土層。表面から、Xb層が形成される。
Xb	地盤上砂質土層	地盤の上に、中層にして、かなり厚い砂質土層。

第43図 三次調査 B区北 南北壁土層図 (S = 1/60)



第44図 三次調査 B区南 南北壁土層図 ($S = 1/60$)



第45図 三次調査 B区南 東西壁土層図 ($S = 1/60$)

第3節 旧石器時代の遺構と遺物

旧石器時代においては、第4章第1節で述べたように、4つの文化層が確認された。

1 第1文化層の遺構と遺物

旧石器時代第1文化層の調査は、全調査区の約46%を行った(第49図)。基本層序のX b層～X I層にあたり、始良大塚(A-Ot) 降灰前MB 3下位～中位の時期と考えられる。分布がA区北部に集中していたため、土層断面を調査した(第47図)。西から東に向かってX層は徐々に薄くなる。特に、X b層が顕著である。

遺構として3箇所で礫群を検出し、遺物として蔽石、磨石、台石、石核、大型洞片等が出土した。

(1) 遺構(第46図・第52図～第54図)

MB 3(X b層)に関する礫群の検出面はX b層中位～下位にあたり、A区に1箇所、B区に2箇所確認できた。礫群は、多少の傾斜は見られるが平面的で、割り込みはない。礫石材個数では、ホルンフェルスと尾鈴酸性岩が各4割、残りが砂岩である。重量別では、尾鈴酸性岩が6割を占める。平均重量は761gで、礫群単位点数は6～14点と少なく、かつ緩慢に広がっている。炭化物は確認できなかった。

また、3箇群と同じ検出面に散礫がA区北部北西方に分布し、礫個数は240点、總重量は334kgに達する。石材は、尾鈴酸性岩とホルンフェルスがそれぞれが4割弱を占め、2割は砂岩である。B区には、礫群以外に礫13点を確認した。

S I 1 (第52図、第8・9表)

A区中央の北部よりB 5グリッドに位置し、検出面はX b層下位である。長径0.5m、短径0.4mの範囲内に6点で、礫石材は、砂岩が半数、残りが尾鈴酸性岩とホルンフェルスである。配石したと見られ、他の礫群に比べて、完形率が高く(67%)、礫群内の接合関係はない。

平均重量は957.5gで、礫は角礫や亜円礫で構成される。赤化率は3つの礫群の中で最も小さく、礫群内に磨石が1点、3m以内に蔽石が3点確認された。

S I 2 (第53図、第8表、第9表)

B区南地区的北端F 9とG 9のグリッドの間に位置し、検出面はX b層中位～下位である。礫石材は、尾鈴酸性岩45%、ホルンフェルス35%、残りが砂岩である。長径2.3m、短径1.3mの範囲内に9点を数え、平均重量は837.2g、完形率はS I 1について高く、中以上の赤化率(以下同じ)は7割弱を占め、三種群中最も高い。接合関係はなく、礫は角礫や亜円礫で構成され、礫群内に遺物は確認できなかった。

S I 3 (第54図、第8表、第9表)

B区南地区的南端G 9とH 9のグリッドの間に位置し、検出面はX b層中位～下位である。礫石材は、ホルンフェルス6割、尾鈴酸性岩3割、残りが砂岩である。長径7.1m、短径3.0mの範囲内に14点を数え、平均重量は225.4g、他の礫群に比べて完形率が低く、散漫に分布し、1個体2点(亜角礫)が接合する。

礫は亜角礫や亜円礫で構成され、赤化率は5割弱で、礫群内に蔽石が1点確認された。

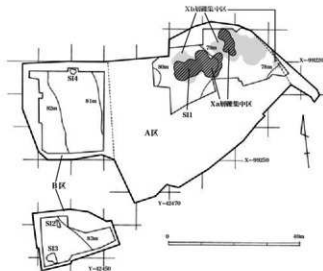
散礫(第48・50・51・55図、第8・9表)

礫の全重量は333,970gで重量比は、尾鈴酸性岩69%、ホルンフェルス25%、砂岩5.5%である。平均重量は1,391gで大型礫が顕著である。2kg以上5kg未満の礫は39個、5kg以上の礫は13個を数え、最大礫の重量は14,200gに達する。完形率90%以上の礫が56%を占め、赤化率は52%に達する。赤化率はS I 1、S I 2よりも高い。接合は8個体12点で、亜円礫、亜角礫で構成される。

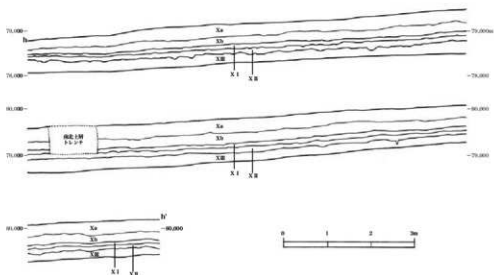
散礫内には、蔽石や洞片等が散在する。ここでは、特に礫が多い北部約50m²範囲を示した。北へ緩やかに傾斜し、X b層下位～X I層にかけて分布する。

(1) 遺物(第48・50・56・57図、第7・11表)

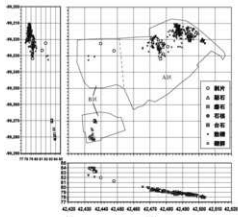
出土遺物は45点である。その内訳は、蔽石26点、磨石5点、台石1点、石核2点、洞片11点である。石材は、砂岩24点、ホルンフェルス13点、尾鈴酸性岩4点、チャート2点、姫島ガラス質安山岩が1点である。ここでは、主な器種ごとに報告を行う。



第46図 第I・II文化層 造構分布図 (S = 1/800)



第47図 第I・II文化層A区散礫集中区東西壁土層図 (S = 1/60)



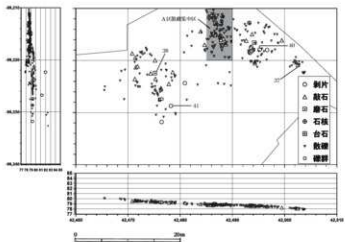
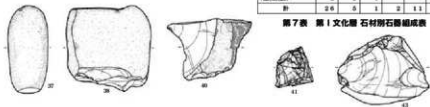
第48図 第I文化層遺物・礫群・散砾の分布 (S = 1/1,600)



第49図 第I・II文化層調査区域 (S = 1/1,600)

	研石	磨石	台石	石核	剥片	合計
砂利	22	2				24
カルシングルート	2				10	12
チャーフ		1			1	2
南島ガラス質陶片					1	1
尾高御生野	2	2	1			5
計	26	5	1	2	11	45

第7表 第I文化層 石材別石器組成表



第50図 第I文化層遺物・礫群・散砾の分布 (A区) (S = 1/500)

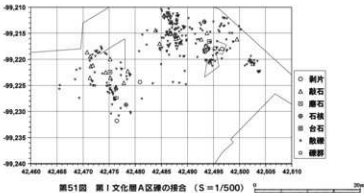


図51 第I文化層A区の接合 (S=1/500)

ア 敲石

石材は、砂岩22点、ホルンフェルスと尾鈴酸性岩が各2点である。出土した敲石の平均は、長さ7.7cm、幅5.2cm、厚さ3.9cm、重量269.4gである。幅長比(幅+長さ)は0.39~0.99で、平均0.72である(第10表)。

37は典型的な敲石で、上部は下面より次第に薄くなる。打面がかなりつぶれ、平坦になっている。

イ 石核

石材は、ホルンフェルスと姫島ガラス質安山岩からなる。38は、重量445.1gのホルンフェルス製石核で、剥ぎ取られた箇所の風化が著しく、縁線もかろうじて確認できる程度である。

41は、重量32.7gの姫島ガラス質安山岩で、左側縁下部には右方向への剥ぎ取り打面が、右側縁には小さな剥離痕が見られる。裏面は右→左への剥離が確認できる。他には、同種の石器や剥片を確認することができなかつた。

ウ 剥片

石材は、ホルンフェルス製10点、チャート製1点で、重量が100g程度の大型剥片が4点確認できた。39・40・42・43はすべてホルンフェルス製で、39・40・42はA区中央から北部で、43はB区北地区的北西端で出土した。

39と40は3m程度の近距離で確認されたが、接合には至らなかった。39は重量27.2gの不定形剥

片である。40は重量100gに近い大型剥片で、正面下に二次加工ではないかと思われる剥離が見られる。

42は重量73.9gで、正面に4方向に剥離面をもつ不定形剥片である。周辺からは、同種の剥片が確認できなかつた。43は、重量126.3gでXb層下位から出土した。幅広で厚みのある横長剥片で、風化があまりない。正面左側縁から右方向に大きな剥離が見られ、さらに右側縁から左へ、上から右下へなど確認することができる。

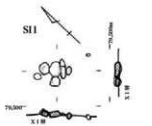


圖52 圖解實測 (1) ($S = 1/30$)

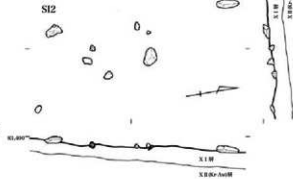
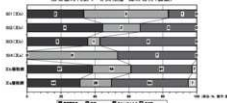
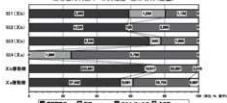


圖53圖 雜群寫真圖 (2) (S=1/30)

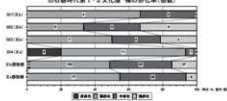
問題集作業第3・日本文化、他の民族(複数)



明治初期は第1-3文化期 緒の西洋(東洋)



第二輯政治篇上：革命化黨、獨立民主黨（續集）



第八表 第1・3文化層 磚の石材・赤化率

圖 9-表一：具文化關懷群計數

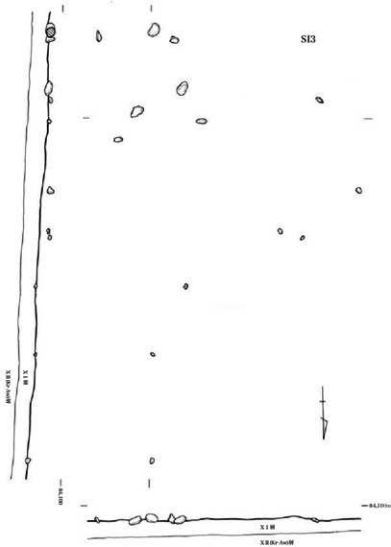
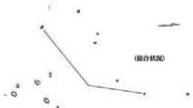
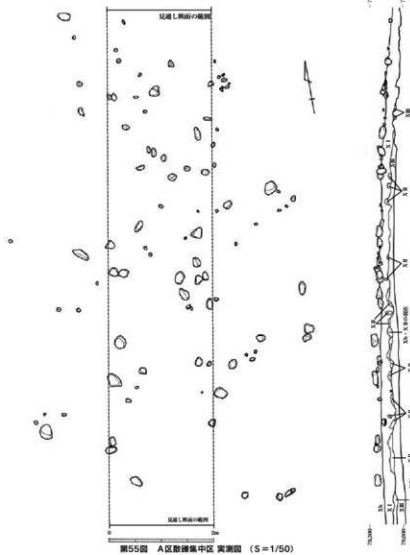


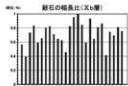
圖54圖 羣群實測圖 (3) ($S = 1/30$)

0 1.5m 10m

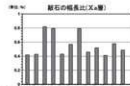


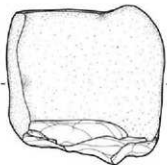


第55回 A区散播集中区 実測図 ($S=1/50$)



第10表 第I・II文化層 磨石の種類比





38 ホルンフェルス

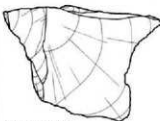
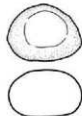


37 砂岩



39 ホルンフェルス

39

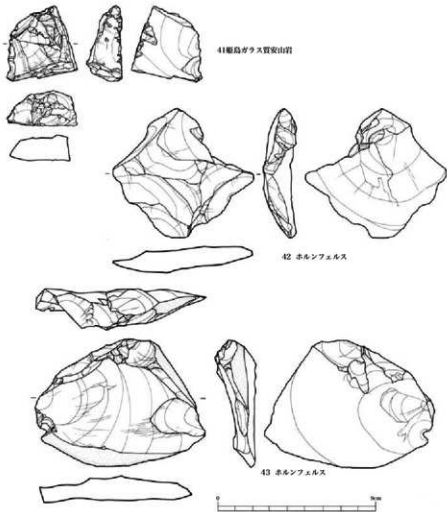


40 ホルンフェルス



0 5mm

第56図 第Ⅰ文化層 石器実測図 (1) (S=2/3)



第57図 第Ⅰ文化層 石器実測図(2) (S=2/3)

遺物番号	出土位置	周 長	お 口	厚 大	厚 小	厚 大	厚 小	直 径	幅 横	レーベル
2	Q3.34.2	鉢形	鉢形	29.45	26.8	20.08	18.08	18.02	9922.381	42002.538
3	Q3.34.2	鉢形	鉢形	29.45	26.8	20.08	18.08	18.02	9922.381	42002.538
4	Q3.34.2	鉢形	鉢形	29.45	26.8	20.08	18.08	18.02	9922.381	42002.538
5	Q3.34.2	鉢形	鉢形	29.45	26.8	20.08	18.08	18.02	9922.381	42002.538
6	Q3.34.2	鉢形	鉢形	29.45	26.8	20.08	18.08	18.02	9922.381	42002.538
7	Q3.34.2	鉢形	鉢形	29.45	26.8	20.08	18.08	18.02	9922.381	42002.538
8	Q3.34.2	鉢形	鉢形	29.45	26.8	20.08	18.08	18.02	9922.381	42002.538
9	Q3.34.2	鉢形	鉢形	29.45	26.8	20.08	18.08	18.02	9922.381	42002.538
10	Q3.34.2	鉢形	鉢形	29.45	26.8	20.08	18.08	18.02	9922.381	42002.538
11	Q3.34.2	鉢形	鉢形	29.45	26.8	20.08	18.08	18.02	9922.381	42002.538
12	Q3.34.2	鉢形	鉢形	29.45	26.8	20.08	18.08	18.02	9922.381	42002.538
13	Q3.34.2	鉢形	鉢形	29.45	26.8	20.08	18.08	18.02	9922.381	42002.538
14	Q3.34.2	鉢形	鉢形	29.45	26.8	20.08	18.08	18.02	9922.381	42002.538
15	Q3.34.2	鉢形	鉢形	29.45	26.8	20.08	18.08	18.02	9922.381	42002.538
16	Q3.34.2	鉢形	鉢形	29.45	26.8	20.08	18.08	18.02	9922.381	42002.538
17	Q3.34.2	鉢形	鉢形	29.45	26.8	20.08	18.08	18.02	9922.381	42002.538
18	Q3.34.2	鉢形	鉢形	29.45	26.8	20.08	18.08	18.02	9922.381	42002.538
19	Q3.34.2	鉢形	鉢形	29.45	26.8	20.08	18.08	18.02	9922.381	42002.538
20	Q3.34.2	鉢形	鉢形	29.45	26.8	20.08	18.08	18.02	9922.381	42002.538
21	Q3.34.2	鉢形	鉢形	29.45	26.8	20.08	18.08	18.02	9922.381	42002.538
22	Q3.34.2	鉢形	鉢形	29.45	26.8	20.08	18.08	18.02	9922.381	42002.538
23	Q3.34.2	鉢形	鉢形	29.45	26.8	20.08	18.08	18.02	9922.381	42002.538
24	Q3.34.2	鉢形	鉢形	29.45	26.8	20.08	18.08	18.02	9922.381	42002.538
25	Q3.34.2	鉢形	鉢形	29.45	26.8	20.08	18.08	18.02	9922.381	42002.538
26	Q3.34.2	鉢形	鉢形	29.45	26.8	20.08	18.08	18.02	9922.381	42002.538
27	Q3.34.2	鉢形	鉢形	29.45	26.8	20.08	18.08	18.02	9922.381	42002.538
28	Q3.34.2	鉢形	鉢形	29.45	26.8	20.08	18.08	18.02	9922.381	42002.538
29	Q3.34.2	鉢形	鉢形	29.45	26.8	20.08	18.08	18.02	9922.381	42002.538
30	Q3.34.2	鉢形	鉢形	29.45	26.8	20.08	18.08	18.02	9922.381	42002.538
31	Q3.34.2	鉢形	鉢形	29.45	26.8	20.08	18.08	18.02	9922.381	42002.538
32	Q3.34.2	鉢形	鉢形	29.45	26.8	20.08	18.08	18.02	9922.381	42002.538
33	Q3.34.2	鉢形	鉢形	29.45	26.8	20.08	18.08	18.02	9922.381	42002.538
34	Q3.34.2	鉢形	鉢形	29.45	26.8	20.08	18.08	18.02	9922.381	42002.538
35	Q3.34.2	鉢形	鉢形	29.45	26.8	20.08	18.08	18.02	9922.381	42002.538
36	Q3.34.2	鉢形	鉢形	29.45	26.8	20.08	18.08	18.02	9922.381	42002.538
37	Q3.34.2	鉢形	鉢形	29.45	26.8	20.08	18.08	18.02	9922.381	42002.538
38	Q3.34.2	鉢形	鉢形	29.45	26.8	20.08	18.08	18.02	9922.381	42002.538
39	Q3.34.2	鉢形	鉢形	29.45	26.8	20.08	18.08	18.02	9922.381	42002.538
40	Q3.34.2	鉢形	鉢形	29.45	26.8	20.08	18.08	18.02	9922.381	42002.538
41	Q3.34.2	鉢形	鉢形	29.45	26.8	20.08	18.08	18.02	9922.381	42002.538
42	Q3.34.2	鉢形	鉢形	29.45	26.8	20.08	18.08	18.02	9922.381	42002.538
43	Q3.34.2	鉢形	鉢形	29.45	26.8	20.08	18.08	18.02	9922.381	42002.538

第11表 第Ⅰ文化層 石器計測表

2 第II文化層の構造と遺物

旧石器時代第II文化層の調査は、全調査区の約46%の範囲を行った（第49図）。基本層序のXa層にあたり、始良Tn（AT）降灰以前のMB2中位～上位の時期と考えられる。

構造として1基の礫群を確認し、遺物として、ナイフ形石器、蔽石、台石、磨石、二次加工剥片、剥片などが出土した。

（1）構造（第46・58・59・61図）

MB2（Xa層）に関する礫群の検出面はXa層上位～中位にあたり、B区北部に1箇所確認できた。平面的で、掘り込みではなく、炭化物は確認できなかった。

また、散礫がXa層上位～下位にかけて第I文化層と同様A区北部の北西方向に分布する。礫個数は141点、總重量は107kgに達する。石材個数では、ホルンフェルス45%、尾鉛酸性岩31%、砂岩18%である。B区には、礫群以外に礫1点を確認した。

§ 14（第61図、第9表）

B区北地区北端B8グリッドに位置する。石材個数は、ホルンフェルスと砂岩が各半数を占め、尾鉛酸性岩は含まれない。重量別では、ホルンフェルスが98%を占める。

長径3.1m、短径3.0mの範囲内に15点を数え、完形率は低く、13個は小礫である。赤化率は1割弱で、非赤化率が13個に達する。礫は亜角礫や亜円礫で構成され、礫群内にホルンフェルス製剥片を1点確認した。接合は、砂岩1個7点（亜円礫）とホルンフェルス1個体3点（亜角礫）で、どちらも弱い赤化率であった。

散礫（第58～60図、第13表）

礫の全重量は106,893gで重量比は、尾鉛酸性岩54%、ホルンフェルス33%、砂岩7.5%である。平均重量は758g、2kg以上の大型礫は18を数え、最大礫の重量は5,020gに達する。完形率90%以上の礫は42%で第I文化層の散礫よりも14%低く、赤化率45%は同様に7%低い。

接合関係は、7個体16点で、円礫、亜円礫、亜角礫である。散礫内には、蔽石やナイフ形石器、剥片等が散在する。北へ緩やかに傾斜し、Xa層上位～

下位にかけて分布する。

（2）遺物（第58・59・62図、第12・14表）

出土遺物は50点である。その内訳は、蔽石12点、ナイフ形石器3点、磨石2点、台石2点、二次加工剥片1点、剥片24点、チップ6点である。

石材は、ホルンフェルス20点、砂岩14点、頁岩8点、流紋岩3点、チャート3点、姫島ガラス質安山岩と尾鉛酸性岩が各1点である。

ア ナイフ形石器

石材は、ホルンフェルス製2点、流紋岩Cが1点である。

441は、流紋岩C製で縦長剥片の右側縁に調整を施す際に、刃部先端を誤って折った未成品である。

45と46はホルンフェルス製で、3m以内の範囲で出土した縦長剥片を素材としたものである。45は右側縁に調整を施し、左側縁上部および下部に刃渡し加工が認められる。46は右側縁に調整を施し、左側縁下部に刃渡し加工が認められる。

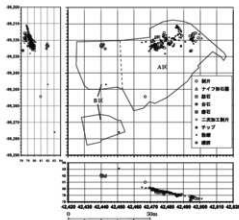
イ 二次加工剥片

47は、右側縁に調整を施す際に、最下先端が折れ、さらに次の下先端が折れたものである。

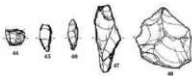
ウ 剥片

48は、重量71.5gの大型剥片で、左側縁から観いた面を下→右→上の順に剥ぎ取ったものである。周辺に同材剥片等は確認できなかった。

なお、Xa層で確認された蔽石の石材は、砂岩11点、頁岩1点である。出土した蔽石の平均は、長さ9.7cm、幅5.4cm、厚さ4.4cm、重量343.9gである。幅長比（幅÷長さ）は0.39～0.99で、平均0.56である（第10表）。従って、Xb層の蔽石よりやや大きい。

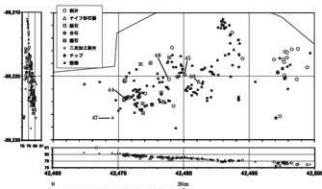


第58図 第Ⅰ文化層遺物・礫群・鉱物の分布 ($S = 1/1,600$)

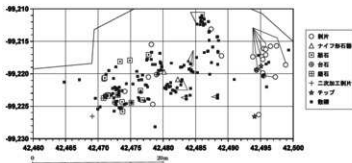


	タイプ別件数	遺物	台石	礫	二次加工削片	刃片	テップ	その他
遺物	1					1	1	1
ホルンブリムス	2					1	2	1
砾群			1	1	2			2
ナイフ						2	1	3
鉱物						4	3	0
丸角アグリノイト山岩						1		1
瓦状鉱物						1		1
計	9	2	1	2	2	3	2	0

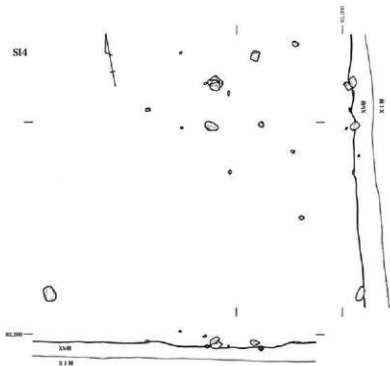
第12表 第Ⅱ文化層 石材帯石器組成表



第59図 第Ⅱ文化層 遺物・鉱物の分布 (A区) ($S = 1/400$)



第60図 第Ⅱ文化層 石器・礫の接合状況 (A区) ($S = 1/400$)



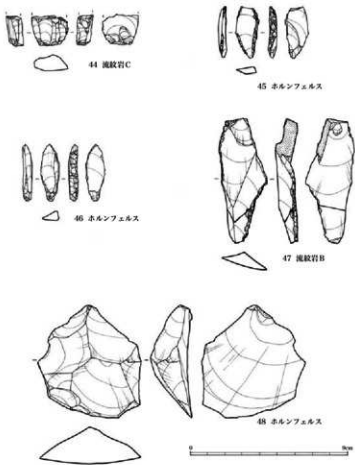
第61図 調査実測図(4)(S=1/30)



(接合状況)

調査小計(個)	調査(A3X4)個	調査(A3X3)個	調査(B3X3)個	調査(C3X3)個
個数	141	240	13	213
全重量(g)	1,061,893g	333,970g	8,313g	329,455g
平均(g)	7,581.1g	1,397.5g	624.2g	1,541.9g
石器	44	91	6	97
瓦	37	4,422g	226,634g	8,037g
骨	21	276	27,9%	49,2%
貝	17	71	0%	61,3%
土物	13	71	0%	61,3%
木	12	71	0%	61,3%
竹	10	71	0%	61,3%
漆	9	71	0%	61,3%
漆器	8	0.01g	16,472g	1,452g
漆器付骨	8	0.4%	22,3%	30,8%
漆器付貝	7	0%	0%	2,9%
漆器付竹	93.0	9.8g	942.7g	99.3g
漆器付漆	94	9.9	8	91
漆器付漆器	23,703g	83,334g	3,93g	83,337g
漆器付漆器付骨	45.4%	38.7%	23,1%	36.0%
漆器付漆器付貝	23.4%	23.0%	8.3%	26.7%
漆器付漆器付竹	53.7	9.9g	947.0g	111.0g
漆器	0	0	0	0
漆器付骨	5	0.7g	51,019g	5,112g
漆器付貝	5	0%	0%	0%
漆器付竹	5	0%	1,1%	0%
漆器付漆	80.9	9.4g	303.4g	80.1g
漆器付漆器	13	0.3%	84,388g	1,079g
漆器付漆器付骨	47.0	0.3%	71,089g	7,420g
漆器付漆器付貝	31	22.0%	47,089g	5,045g
漆器付漆器付竹	81	0.0%	97,089g	7,089g
漆器付漆	0	0	0	0
漆器付貝	77	0.4%	114,002g	9,089g
漆器付竹	0	0.0%	91,002g	12,002g
漆器付漆器付漆	0	0.4%	36,002g	3,002g
漆器付漆器付貝	0	0.4%	0	0.4%
漆器付漆器付竹	51	51.9g	3,913g	50,434g
漆器付漆器付漆器	85	0.4%	1,031,014g	100,017g
漆器付漆器付漆器付骨	85	0.4%	1,031,014g	100,017g
漆器付漆器付漆器付貝	85	0.4%	72,0%	8,0%
漆器付漆器付漆器付竹	85	0.4%	0	0.4%
合計	1,327	225	13	2,446

第13表 第I・II文化層 散跡計測表



第62図 第II文化層 石器実測図 (S = 2/3)

番号	出土地点	種類	小材	最大長	最大幅	最大厚	重量(g)	X座標	Y座標	Z座標
44	段落B-44	流紋岩	流紋岩C	1.75m	2.12m	0.90m	4.7	99223.412	42470.492	79.947
45	段落B-44	流紋岩	ホルンフェルス	0.90	1.35	0.4	1.8	99219.095	42480.169	79.374
46	段落B-44	流紋岩	ホルンフェルス	3	1.1	0.55	2.1	99220.058	42482.369	79.338
47	段落B-96	流紋岩	流紋岩B	27	23	2.8	1.3	99220.562	42449.098	80.161
48	段落B-95	斜片	ホルンフェルス	0.95	6.0	2.28	73.0	99222.716	42474.116	79.271

第14表 第II文化層 石器計測表

3 第Ⅲ文化層の遺構と遺物

旧石器時代第Ⅲ文化層の調査は、全調査区の約51%の範囲を行った（第64図）。基本層序のVI・VII層にあたり、始真Tn（AT）隕灰以降Kr-Kb隕灰以前のMB I下位～Kr-Kb中位の文化層である。なお、第63図中のコンターラインは調査を行う直前のVIb層上面のものである。したがって調査したグリッドとは一致しない。

遺構として3基で礫群を検出し、遺物として、ナイフ形石器、台石、磨石、石斧、敲石、微細剥離片、石核、剥片等が出土した。

(1) 遺構（第63・66・67・70図）

礫群は、A区北西部に2基、B区北地区の西端に1基分布し、VI層（Kr-Kb）～VII層（MB I）で検出された。重量別では、尾鉤酸性岩が6割を占める。平均重量は250gで、礫群単位点数は14～39点である。

礫群3基ともなだらかな傾斜面に位置するが、平面的で割り込みがなく、炭化物は確認できなかった。また、VI層（Kr-Kb）～VII層（MB I）にかけて散礫が第I・II文化層と同様A区北部の北西方向に分布する。礫全重量は98,257g、礫個数は178点である。

石材個数では、ホルンフェルス50%、尾鉤酸性岩25%、砂岩20%である。B区には、礫群以外に礫11点を確認した。

S I 5（第66図、第16表）

A区北東部A3とB3のグリッドの間に位置し、やや南西方向に緩やかに傾斜がはじまる尾根にあたる。石材個数は、尾鉤酸性岩が6割、ホルンフェルスと砂岩が各2割程度を占める。重量別では、尾鉤酸性岩62%、ホルンフェルス23%、砂岩15%である。

長径0.9m、短径0.8mの範囲内に17点を数え、完形率は低く、15個は小礫片である。赤化率は65%で、第Ⅲ文化層の礫群の中では最も低い。非赤化礫ではなく、礫は亜角礫や角礫、亜円礫で構成される。礫群近くにホルンフェルス洞片を1点確認した。接合は、尾鉤酸性岩1個体3点（亜円礫か）で、弱い赤化率であった。

S I 6（第67図、第16表）

A区北東部B3・B4のグリッドの間に位置し、

S I 5同様やや南西方向に緩やかに傾斜がはじまる尾根にあたる。石材個数は、尾鉤酸性岩が6割弱、ホルンフェルスと砂岩が各2割を占める。重量別では、尾鉤酸性岩55%、砂岩25%、ホルンフェルス20%である。

長径1.2m、短径0.6mの範囲内に14点を数え、完形率は低く、11個は小礫片である。赤化率は92%で、第Ⅲ文化層の礫群の中では最も高い。非赤化礫ではなく、礫は亜角礫や角礫で構成される。礫群近くに頁岩洞片を1点確認した。接合は、尾鉤酸性岩4個体10点（角礫2、亜円礫2）、砂岩1個体3点（亜円礫）の合計13点を占め、接合率は93%に達した。

S I 7（第70図、第16表）

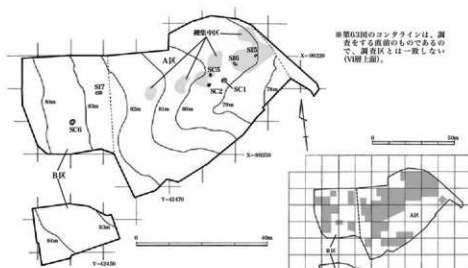
B区北西部C8グリッドの北西に位置し、南東方向に緩やかに傾斜する。石材個数は、尾鉤酸性岩5割、砂岩3割、ホルンフェルス2割である。重量別では、尾鉤酸性岩64%、砂岩28%、ホルンフェルス8%である。

長径2.5m、短径1.7mの範囲内に39点を数え、完形率は低く、26個は小礫片である。赤化率は85%で比較的高い。非赤化礫ではなく、亜角礫や亜円礫、円礫で構成される。礫群近くには遺物を確認できなかつた。

接合は、尾鉤酸性岩4個体11点（円礫2、亜円礫2）、砂岩2個体7点（亜円礫か）、ホルンフェルス2個体7点（亜円礫か）の8個体25点を占め、接合率は64%に達した。3礫群中、2番目に赤化率が高く、黒色付着物が3礫群中最も多い6礫で確認された。

散礫（第63・65・68・69図、第17・18表）

A区の北寄りコンターラインの尾根周辺に主に分布する。礫の全重量は98,257gで重量比は、ホルンフェルス54%、尾鉤酸性岩34%、砂岩9%である。平均重量は552g、2kg以上の大型礫は13を数え、最大礫の重量は6,400gに達する。完形率90%以上の礫は25%で、第Ⅲ文化層の散礫よりも17%低く、赤化率の42%は、同様に3%低い。完形率40%未満の礫は6割弱に達する。接合関係は11個体34点で、亜円礫、亜角礫である。

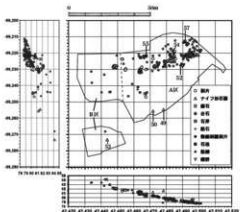


第63図 第III・IV文化層 遺物分布図 ($S = 1/800$)

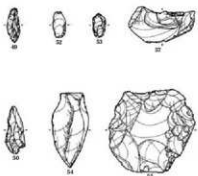
※第63図のコンタインは、調査をする直前のものであるので、調査区とは一致しない(VI崩上面)。



第64図 第III・IV文化層 調査区域 ($S = 1/1,600$)

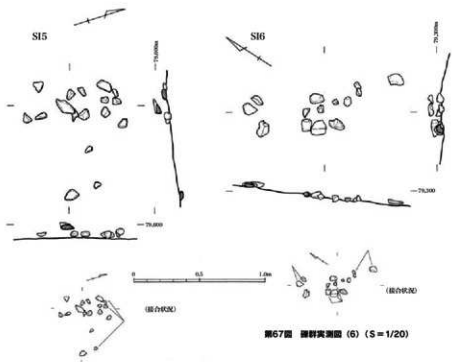


第65図 第III文化層 遺物・碎片・炭素の分布 ($S = 1/1,600$)



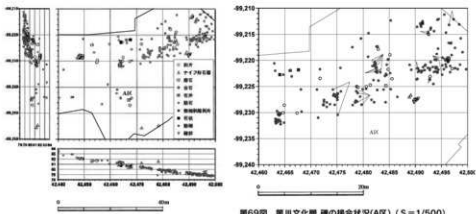
	ナイフ石器	刮刀	尖状	縫合	石斧	石錘	石錐	石針
測量用	0					1	1	1
スルシブルーパ	2	1	1	1		2	1	1
刮削	1			1			0	7
尖状		2	1				0	3
縫合骨竹		1					1	
石	0	1	4	2	1	2	0	40

第15表 第III文化層 石材別石器組成表

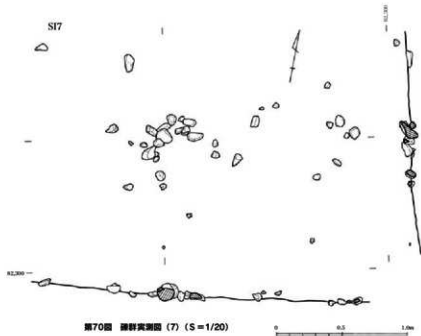


第67図 石群実測図(6) ($S = 1/20$)

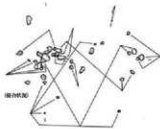
第66図 石群実測図(5) ($S = 1/20$)



第68図 第三文化層 遺物・標記・散在集中区(A区) ($S = 1/1,000$)



第70回 猿群実測図 (7) (S=1/20)



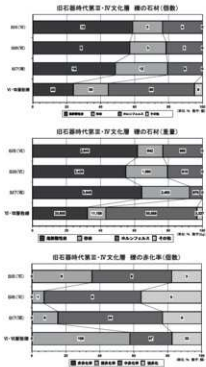
第16表 第三文化層 磚群計測表

(2) 遺物 (第65・68・72・73回、第20巻)

出土遺物は40点である。その内訳は、ナイフ形石器5点、台石4点、磨石2点、石斧1点、敲石1点、微細洞窓片1点、石核3点、剥片23点である。石材は、ホルンフェルス18点、流紋岩7点、頁岩7点、砂岩3点、尾鉤酸性岩1点である。

アナイフ形石器

確認した5個のうち、49と50は7m以内で、51と52は1m以内で出土した。49はホルンフェルス



第17表 第III・IV文化層 様の石材・赤字率

要で、A区南端で確認された。先端や基部に二次加工が施され、刃面がほとんど残っていない。さらに両側縁にも調整を施している。

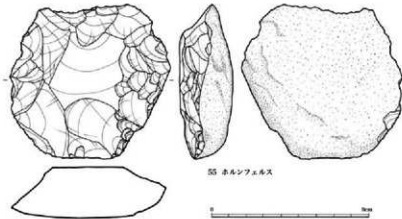
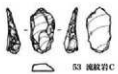
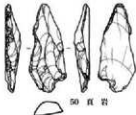
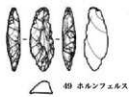
50は頁岩製で、A区南端で出土した。先端や左側縁部に調整の痕が見られる。さらに、基部を除去して尖らせようとしたようである（ナイフ未完成品）。

51はホルンフェルス製で、A区北東で確認された。右側縁のみ加工が見られる。素材の縁辺によってなる刃部と、右側縁の加工によって形成された背部によりなる。

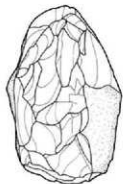
52は流紋岩C製で51とともにA区北東で確認された。基部を残しつつ、右側縁部に調整を施し、左側縁には刃つぶし加工が見られる。

53は流紋岩C製でB区南地区中央で出土した。両側縁に調整を施し、さらに先端や基部にも二次加工をしたが、目的とするナイフの製作には至らなかつた（ナイフ未完成品）。

石器の種類・量	石器(A区V層)	石器(III-IV層)	石器(A-V-VI層)	石器(IV-V層)
石器	37件	23件	18件	15件
骨器(g)	9.0, 3.0±2.4	3.7±2.8	1.0±0.4±2.4	3.1±3.5g
骨器(%)	3.0±0.4	0.2±0.3	0.5±0.2	1.6±1.8%
貝 壳	44件	3件	42件	0件
貝 壳(%)	3.9, 2.7±1.8	0.3±0.9	0.3, 0.0±0.9	0件
貝 壳(種別)	24, 17%	0, 0%	23, 6%	0件
貝 壳(個数)	2.2, 0%	0, 0%	2.2, 0%	0件
貝 壳(重さ(g))	7.3±2.4	0.7±0.9	7.4±0.4	0件
貝 壳(%)	2.0±0.6	0.2±0.3	2.0±0.4	0件
骨 剣	9.0, 4.1±2.4	5.1, 0.6±0.4	1.1, 1.0±0.4	1.0±1.4
骨 剣(種別)	2.0, 0%	2.7, 3%	2.0, 0%	1.5, 4%
骨 剣(個数)	0.6, 0%	4.6, 0%	1.0, 0%	0.5, 0%
骨 剣(重さ(g))	2.3±1.2	0.8±0.7	2.0±1.2	0.2±0.2
骨 剣(%)	0.8±0.4	0.7±0.6	0.8±0.4	0.2±0.2
牙 刃	5.3, 0.9±1.6	2.1, 0.6±0.4	0.5, 0.9±0.4	2.1±2.0
牙 刃(種別)	0.0, 0%	0.0, 0%	0.0, 0%	0.4, 6%
牙 刃(個数)	0.4, 0%	4.0, 3%	0.2, 0%	0.5, 0%
牙 刃(重さ(g))	2.0±0.6	0.6±0.7	0.8±0.9	2.0±1.4
牙 刃(%)	0.5±0.2	0.5±0.3	0.5±0.4	0件
牙 刃(種別)	0, 0%	0, 0%	0, 0%	0件
牙 刃(個数)	0, 0%	0, 0%	0, 0%	0件
牙 刃(重さ(g))	0, 0	0, 0	0, 0	0件
牙 刃(%)	0, 0	0, 0	0, 0	0件
牙 刃(種別)	0, 0	0, 0	0, 0	0件
牙 刃(個数)	0, 0	0, 0	0, 0	0件
牙 刃(重さ(g))	0, 0	0, 0	0, 0	0件
牙 刃(%)	0, 0	0, 0	0, 0	0件
牙 刃(種別)	0, 0	0, 0	0, 0	0件
牙 刃(個数)	0, 0	0, 0	0, 0	0件
牙 刃(重さ(g))	0, 0	0, 0	0, 0	0件
牙 刃(%)	0, 0	0, 0	0, 0	0件
牙 刃(種別)	0, 0	0, 0	0, 0	0件
牙 刃(個数)	0, 0	0, 0	0, 0	0件
牙 刃(重さ(g))	0, 0	0, 0	0, 0	0件
牙 刃(%)	0, 0	0, 0	0, 0	0件
牙 刃(種別)	0, 0	0, 0	0, 0	0件
牙 刃(個数)	0, 0	0, 0	0, 0	0件
牙 刃(重さ(g))	0, 0	0, 0	0, 0	0件
牙 刃(%)	0, 0	0, 0	0, 0	0件
牙 刃(種別)	0, 0	0, 0	0, 0	0件
牙 刃(個数)	0, 0	0, 0	0, 0	0件
牙 刃(重さ(g))	0, 0	0, 0	0, 0	0件
牙 刃(%)	0, 0	0, 0	0, 0	0件
牙 刃(種別)	0, 0	0, 0	0, 0	0件
牙 刃(個数)	0, 0	0, 0	0, 0	0件
牙 刃(重さ(g))	0, 0	0, 0	0, 0	0件
牙 刃(%)	0, 0	0, 0	0, 0	0件
牙 刃(種別)	0, 0	0, 0	0, 0	0件
牙 刃(個数)	0, 0	0, 0	0, 0	0件
牙 刃(重さ(g))	0, 0	0, 0	0, 0	0件
牙 刃(%)	0, 0	0, 0	0, 0	0件
牙 刃(種別)	0, 0	0, 0	0, 0	0件
牙 刃(個数)	0, 0	0, 0	0, 0	0件
牙 刃(重さ(g))	0, 0	0, 0	0, 0	0件
牙 刃(%)	0, 0	0, 0	0, 0	0件
牙 刃(種別)	0, 0	0, 0	0, 0	0件
牙 刃(個数)	0, 0	0, 0	0, 0	0件
牙 刃(重さ(g))	0, 0	0, 0	0, 0	0件
牙 刃(%)	0, 0	0, 0	0, 0	0件
牙 刃(種別)	0, 0	0, 0	0, 0	0件
牙 刃(個数)	0, 0	0, 0	0, 0	0件
牙 刃(重さ(g))	0, 0	0, 0	0, 0	0件
牙 刃(%)	0, 0	0, 0	0, 0	0件
牙 刃(種別)	0, 0	0, 0	0, 0	0件
牙 刃(個数)	0, 0	0, 0	0, 0	0件
牙 刃(重さ(g))	0, 0	0, 0	0, 0	0件
牙 刃(%)	0, 0	0, 0	0, 0	0件
牙 刃(種別)	0, 0	0, 0	0, 0	0件
牙 刃(個数)	0, 0	0, 0	0, 0	0件
牙 刃(重さ(g))	0, 0	0, 0	0, 0	0件
牙 刃(%)	0, 0	0, 0	0, 0	0件
牙 刃(種別)	0, 0	0, 0	0, 0	0件
牙 刃(個数)	0, 0	0, 0	0, 0	0件
牙 刃(重さ(g))	0, 0	0, 0	0, 0	0件
牙 刃(%)	0, 0	0, 0	0, 0	0件
牙 刃(種別)	0, 0	0, 0	0, 0	0件
牙 刃(個数)	0, 0	0, 0	0, 0	0件
牙 刃(重さ(g))	0, 0	0, 0	0, 0	0件
牙 刃(%)	0, 0	0, 0	0, 0	0件
牙 刃(種別)	0, 0	0, 0	0, 0	0件
牙 刃(個数)	0, 0	0, 0	0, 0	0件
牙 刃(重さ(g))	0, 0	0, 0	0, 0	0件
牙 刃(%)	0, 0	0, 0	0, 0	0件
牙 刃(種別)	0, 0	0, 0	0, 0	0件
牙 刃(個数)	0, 0	0, 0	0, 0	0件
牙 刃(重さ(g))	0, 0	0, 0	0, 0	0件
牙 刃(%)	0, 0	0, 0	0, 0	0件
牙 刃(種別)	0, 0	0, 0	0, 0	0件
牙 刃(個数)	0, 0	0, 0	0, 0	0件
牙 刃(重さ(g))	0, 0	0, 0	0, 0	0件
牙 刃(%)	0, 0	0, 0	0, 0	0件
牙 刃(種別)	0, 0	0, 0	0, 0	0件
牙 刃(個数)	0, 0	0, 0	0, 0	0件
牙 刃(重さ(g))	0, 0	0, 0	0, 0	0件
牙 刃(%)	0, 0	0, 0	0, 0	0件
牙 刃(種別)	0, 0	0, 0	0, 0	0件
牙 刃(個数)	0, 0	0, 0	0, 0	0件
牙 刃(重さ(g))	0, 0	0, 0	0, 0	0件
牙 刃(%)	0, 0	0, 0	0, 0	0件
牙 刃(種別)	0, 0	0, 0	0, 0	0件
牙 刃(個数)	0, 0	0, 0	0, 0	0件
牙 刃(重さ(g))	0, 0	0, 0	0, 0	0件
牙 刃(%)	0, 0	0, 0	0, 0	0件
牙 刃(種別)	0, 0	0, 0	0, 0	0件
牙 刃(個数)	0, 0	0, 0	0, 0	0件
牙 刃(重さ(g))	0, 0	0, 0	0, 0	0件
牙 刃(%)	0, 0	0, 0	0, 0	0件
牙 刃(種別)	0, 0	0, 0	0, 0	0件
牙 刃(個数)	0, 0	0, 0	0, 0	0件
牙 刃(重さ(g))	0, 0	0, 0	0, 0	0件
牙 刃(%)	0, 0	0, 0	0, 0	0件
牙 刃(種別)	0, 0	0, 0	0, 0	0件
牙 刃(個数)	0, 0	0, 0	0, 0	0件
牙 刃(重さ(g))	0, 0	0, 0	0, 0	0件
牙 刃(%)	0, 0	0, 0	0, 0	0件
牙 刃(種別)	0, 0	0, 0	0, 0	0件
牙 刃(個数)	0, 0	0, 0	0, 0	0件
牙 刃(重さ(g))	0, 0	0, 0	0, 0	0件
牙 刃(%)	0, 0	0, 0	0, 0	0件
牙 刃(種別)	0, 0	0, 0	0, 0	0件
牙 刃(個数)	0, 0	0, 0	0, 0	0件
牙 刃(重さ(g))	0, 0	0, 0	0, 0	0件
牙 刃(%)	0, 0	0, 0	0, 0	0件
牙 刃(種別)	0, 0	0, 0	0, 0	0件
牙 刃(個数)	0, 0	0, 0	0, 0	0件
牙 刃(重さ(g))	0, 0	0, 0	0, 0	0件
牙 刃(%)	0, 0	0, 0	0, 0	0件
牙 刃(種別)	0, 0	0, 0	0, 0	0件
牙 刃(個数)	0, 0	0, 0	0, 0	0件
牙 刃(重さ(g))	0, 0	0, 0	0, 0	0件
牙 刃(%)	0, 0	0, 0	0, 0	0件
牙 刃(種別)	0, 0	0, 0	0, 0	0件
牙 刃(個数)	0, 0	0, 0	0, 0	0件
牙 刃(重さ(g))	0, 0	0, 0	0, 0	0件
牙 刃(%)	0, 0	0, 0	0, 0	0件
牙 刃(種別)	0, 0	0, 0	0, 0	0件
牙 刃(個数)	0, 0	0, 0	0, 0	0件
牙 刃(重さ(g))	0, 0	0, 0	0, 0	0件
牙 刃(%)	0, 0	0, 0	0, 0	0件
牙 刃(種別)	0, 0	0, 0	0, 0	0件
牙 刃(個数)	0, 0	0, 0	0, 0	0件
牙 刃(重さ(g))	0, 0	0, 0	0, 0	0件
牙 刃(%)	0, 0	0, 0	0, 0	0件
牙 刃(種別)	0, 0	0, 0	0, 0	0件
牙 刃(個数)	0, 0	0, 0	0, 0	0件
牙 刃(重さ(g))	0, 0	0, 0	0, 0	0件
牙 刃(%)	0, 0	0, 0	0, 0	0件
牙 刃(種別)	0, 0	0, 0	0, 0	0件
牙 刃(個数)	0, 0	0, 0	0, 0	0件
牙 刃(重さ(g))	0, 0	0, 0	0, 0	0件
牙 刃(%)	0, 0	0, 0	0, 0	0件
牙 刃(種別)	0, 0	0, 0	0, 0	0件
牙 刃(個数)	0, 0	0, 0	0, 0	0件
牙 刃(重さ(g))	0, 0	0, 0	0, 0	0件
牙 刃(%)	0, 0	0, 0	0, 0	0件
牙 刃(種別)	0, 0	0, 0	0, 0	0件
牙 刃(個数)	0, 0	0, 0	0, 0	0件
牙 刃(重さ(g))	0, 0	0, 0	0, 0	0件
牙 刃(%)	0, 0	0, 0	0, 0	0件
牙 刃(種別)	0, 0	0, 0	0, 0	0件
牙 刃(個数)	0, 0	0, 0	0, 0	0件
牙 刃(重さ(g))	0, 0	0, 0	0, 0	0件
牙 刃(%)	0, 0	0, 0	0, 0	0件
牙 刃(種別)	0, 0	0, 0	0, 0	0件
牙 刃(個数)	0, 0	0, 0	0, 0	0件
牙 刃(重さ(g))	0, 0	0, 0	0, 0	0件
牙 刃(%)	0, 0	0, 0	0, 0	0件
牙 刃(種別)	0, 0	0, 0	0, 0	0件
牙 刃(個数)	0, 0	0, 0	0, 0	0件
牙 刃(重さ(g))	0, 0	0, 0	0, 0	0件
牙 刃(%)	0, 0	0, 0	0, 0	0件
牙 刃(種別)	0, 0	0, 0	0, 0	0件
牙 刃(個数)	0, 0	0, 0	0, 0	0件
牙 刃(重さ(g))	0, 0	0, 0	0, 0	0件
牙 刃(%)	0, 0	0, 0	0, 0	0件
牙 刃(種別)	0, 0	0, 0	0, 0	0件
牙 刃(個数)	0, 0	0, 0	0, 0	0件
牙 刃(重さ(g))	0, 0	0, 0	0, 0	0件
牙 刃(%)	0, 0	0, 0	0, 0	0件
牙 刃(種別)	0, 0	0, 0	0, 0	0件
牙 刃(個数)	0, 0	0, 0	0, 0	0件
牙 刃(重さ(g))	0, 0	0, 0	0, 0	0件
牙 刃(%)	0, 0	0, 0	0, 0	0件
牙 刃(種別)	0, 0	0, 0	0, 0	0件
牙 刃(個数)	0, 0	0, 0	0, 0	0件
牙 刃(重さ(g))	0, 0	0, 0	0, 0	0件
牙 刃(%)	0, 0	0, 0	0, 0	0件
牙 刃(種別)	0, 0	0, 0	0, 0	0件
牙 刃(個数)	0, 0	0, 0	0, 0	0件
牙 刃(重さ(g))	0, 0	0, 0	0, 0	0件
牙 刃(%)	0, 0	0, 0	0, 0	0件
牙 刃(種別)	0, 0	0, 0	0, 0	0件
牙 刃(個数)	0, 0	0, 0	0, 0	0件
牙 刃(重さ(g))	0, 0	0, 0	0, 0	0件
牙 刃(%)	0, 0	0, 0	0, 0	0件
牙 刃(種別)	0, 0	0, 0	0, 0	0件
牙 刃(個数)	0, 0	0, 0	0, 0	0件
牙 刃(重さ(g))	0, 0	0, 0	0, 0	0件
牙 刃(%)	0, 0	0, 0	0, 0	0件
牙 刃(種別)	0, 0	0, 0	0, 0	0件
牙 刃(個数)	0, 0	0, 0	0, 0	0件
牙 刃(重さ(g))	0, 0	0, 0	0, 0	0件
牙 刃(%)	0, 0	0, 0	0, 0	0件
牙 刃(種別)	0, 0	0, 0	0, 0	0件
牙 刃(個数)	0, 0	0, 0	0, 0	0件
牙 刃(重さ(g))	0, 0	0, 0	0, 0	0件
牙 刃(%)	0, 0	0, 0	0, 0	0件
牙 刃(種別)	0, 0	0, 0	0, 0	0件
牙 刃(個数)	0, 0	0, 0	0, 0	0件
牙 刃(重さ(g))	0, 0	0, 0	0, 0	0件
牙 刃(%)	0, 0	0, 0	0, 0	0件
牙 刃(種別)	0, 0	0, 0	0, 0	0件
牙 刃(個数)	0, 0	0, 0	0, 0	0件
牙 刃(重さ(g))	0, 0	0, 0	0, 0	0件
牙 刃(%)	0, 0	0, 0	0, 0	0件
牙 刃(種別)	0, 0	0, 0	0, 0	0件
牙 刃(個数)	0, 0	0, 0	0, 0	0件
牙 刃(重さ(g))	0, 0	0, 0	0, 0	0件
牙 刃(%)	0, 0	0, 0	0, 0	0件
牙 刃(種別)	0, 0	0, 0	0, 0	0件
牙 刃(個数)	0, 0	0, 0	0, 0	0件
牙 刃(重さ(g))	0, 0	0, 0	0, 0	0件
牙 刃(%)	0, 0	0, 0	0, 0	0件
牙 刃(種別)	0, 0	0, 0	0, 0	0件
牙 刃(個数)	0, 0	0, 0	0, 0	0件
牙 刃(重さ(g))	0, 0	0, 0	0, 0	0件
牙 刃(%)	0, 0	0, 0	0, 0	

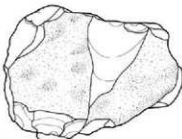


第72図 第三文化層 石器実測図 (1) ($S = 2/3$)

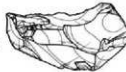
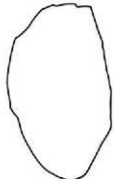


遺物番号	出土場所	直 高	横 幅	厚 さ	最大直 径(最大幅)	最小直 径(最小幅)	面積	容積	重 量	レーベル	記
49	STB-3-037786	ホルンフェルス	3.05	1.80	0.70	1.0	99354.660	432878.261	81.39		
50	同上	ホルンフェルス	3.15	2.10	0.8	2.0	99355.540	432877.740	81.26		
51	同上	ホルンフェルス	3.15	2.10	0.8	2.0	99356.540	432877.740	81.26		
52	同上	ホルンフェルス	3.15	2.10	0.8	2.0	99357.540	432877.740	81.26		
53	同上	ホルンフェルス	3.05	2.00	0.70	2.0	99358.540	432877.740	81.26		
54	同上	ホルンフェルス	3.05	2.00	0.70	2.0	99359.540	432877.740	81.26		
55	同上	ホルンフェルス	3.05	2.00	0.70	2.0	99360.540	432877.740	81.26		
56	同上	ホルンフェルス	3.05	2.00	0.70	2.0	99361.540	432877.740	81.26		
57	同上	ホルンフェルス	3.05	2.00	0.70	2.0	99362.540	432877.740	81.26		

第20表 第三文化層 石器計測表



56 ホルンフェルス



57 遷移石A

第73図 黒田文化層 石器実測図 (2) (S=2/3)

イ 微細剥離剥片

54はA区北部中央で出土した。最大長8cmの流紋岩A製で、礎長剥片である。左側縁の中ほどに細かい剥離が見られる。これは微細な加工か使用痕と思われる。周囲に同石材の剥片等は見つからなかった。

ウ 石核

55の石材はホルンフェルスでA区北西部で確認された。最大長9cm、最大幅0.4cmの大型石核である。左右上下方向から剥離を繰り返したことがわかる。周囲に同石材の剥片等ではなく、砂岩製台石と56のホルンフェルス石核が出土したのみである。

56は、ホルンフェルス製で最大長8cm、最大幅6.7cm、最大厚10.3cm、重量669gの大型石核である。A区北西部で出土した。正面や上部及び下部を観て目的の剥片を剥ぎとろうとしたようである。周囲には同石材の剥片等は出土しなかった。

57は流紋岩A製で、A区最北部で出土した。正面は上→下、右→左、左上→右下、裏面は右上→左下、左→右の方向へ剥離が確認できる。周囲に同石材の剥片等ではなく、流紋岩Bの剥片が1点確認されたのみである。

4 第IV文化層の遺構と遺物

旧石器時代第IV文化層の調査は、全調査区の約51%の範囲を行った(第64図)。基本層序のV(下位)～VI層中位にあたり、Kr-Kb降灰以降、細石器文化期にかけてのKr-Kb中位～ML1下位の文化層である。遺構として、A区中央や北寄りの地点から陥し穴を4mの範囲内に3基、また不明土坑を1基検出した。遺物は、桑木津留黒曜石製の粗石刃が2点と細石刃核1点、剥片3点(ホルンフェルス製2点、チャート製1点)である。

(1) 遺構(第74・79～81図)

SC1(1号陥し穴)(第63・74～78図)

B4グリッドのやや西に位置し、長径1.5m、短径1.357m(トレンチにかかつたため推定値)、残深1.54mで梢円形を呈する。土層確認のための深掘トレンチを設定して掘り下げた際に検出した。検出面は、Kr-Kbである。しかし、この土層では穴の輪郭がはっきりしなかったため、VIIb層中位まで掘り下

げた。陥し穴の長径とトレンチ断面が比較的並行に近かつたため、半蔵できた。底部は褐色粘土層(XV層)にまで達していた。

埋土は、穴の上から2/5程度は、Kr-Kbを主体とする褐色の理土で、弱粘質で、固くしまっているが下位になるほどしまりがなくなる。穴の底部1/5を除く中位は、ATブロックや部分的にML2・3を主体とする褐色にぶい黄褐色の埋土でしまりがあまりない。底部の1/5ほどは、粘質の褐色にぶい黄褐色、一部オリーブ褐色で、一部にMB3やアワオコシを含み、しまりがない。水分を大量に含み、部分的には粘土状になっている。粘土層の詳細は、Kr-lw以下粘土質土層注記を示した。

底部は粘土質であったので、垂直にスライスした結果、径4～9cmの小穴が4つ確認できた。底部からAT下面までの深さは、1.26mである。この陥し穴の底部は、A区を南東から北東に展開する谷部に近いため半蔵時の掘り下げにあたっては伏流水が溜まる傾向にあった。

そこで、陥し穴近くの土層を深掘りし、土層を確認した。これに、土層確認のためのトレンチ掘りの土層断面の結果とを比べてみた。陥し穴より約5mの西側に位置するA区南北面上層トレンチ(第76図)は、注記のとおり、土層の1/3がかなり混在し、VII・VIII層は水の作用を受けたと思われる丸染みがみられ全体的に黒っぽい。底部は混在した状態で、特にATの大限降下軽石等が多く堆積していた。

陥し穴より1.5mの東側に位置する谷の深掘トレンチ(第77図)では、さらに混在し、1～4の土層を除いて、谷部は極めて多くの層に分類ができる。混在する主体は、6層あたりまで、その下位層はATが主体になる。

掘り下げた床面には常に伏流水がたまり、壁面床付近に1m近く横に広がる空洞が確認できた。天候によっては、40～50cm程度水が上昇することもあった。1号陥し穴の底部から粘土層にかけて流れる水もこの谷の水嵩にいくらかの影響を与えている可能性があると思われる。

なお、底部土層から採取した炭化物の放射性炭素年代測定した結果は、補正¹⁴C年代で2290±40年B

Pを示した。また、底部土層を水洗選別によって採取した炭化種実の種実同定をしたところ、炭化米、アワ、マメ科と同定された。同様に、底部土層を水洗選別によって採取した炭化材を樹種同定した結果、コナラ属クヌギ節、コナラ属アカガシ亜属？、クスノキ科、アマツカ属、アワブキ属などの温帶下部の暖温帯の照葉樹林を形成する主要高木と同定された。

さらに、底部土層から採取した埋土の植物珪酸体分析では、土層断面トレンチとの比較による植物珪酸体の組成や密度が整合する層厚は認められなかつた。

S C 2 (2号階し穴) (第63・79回)

B 4 グリッドの南西に位置する。長径1.07m、短径0.64m、残深1.39mで長方形を呈する。2号は1号の西隣4mに位置し、2号も1号同様、土層確認のための深掘トレンチを設定して掘り下げた際に検出した。検出面は、Kr-Kbである。しかし、1号階し穴と同様、この土層では穴の輪郭がはっきりしなかつたため、Vlb層下位まで掘り下げた。2号階し穴は長径とトレンチ断面が直角に近かつたため、半截せず、完掘した。そのため、土層断面が半截した状態では確認できていない。資料は検出時の断面と、掘り下げたときのおおよその土層を記載したものである。

埋土は、穴の上から2/5程度は、Kr-Kbを主体とする褐色の埋土で、弱粘質で、固くしまっているが下位になるほどしまりがなくなる。穴の底部2/5を除く中位は、Kr-KbやATブロック主体とする褐色の埋土でしまりがあまりない。底部の1/3ほどは、粘質の黒褐色・暗褐色～褐色・にぶい黄褐色の埋土で、一部にATやアワオコシ、イワオコシを含み、しまりがない。上位は固くしまっている。下位は水分を含み、粘性がある。

底部の約48cmは、褐色粘土層(XV層)で、小穴は確認できなかった。底部からAT下面までの深さは1.37mである。

なお、底部土層から採取した炭化物の放射性炭素年代測定した結果は、補正¹⁴C年代で13350±60年BPを示した。また、底部土層から採取した埋土の

植物珪酸体分析により、Vlb層の上層断面の植物珪酸体の組成や密度に対比するという結果を得た。

S C 5 (3号階し穴) (第63・80回)

B 4 グリッドのやや西に位置する。長径0.81m、短径0.67m、残深0.71mで梢円形を呈する。3号階し穴は、2号階し穴の北隣2.5mに位置する。当初ATが部分的に堆積した場所であろうと判断したが、MB 2 (Xa層)でも同様の状態が見られたため、確認した。検出面は、MB 2 であるが、Kr-Kb (Vlb層)で実施した空中写真からも、少なくともATより上位のKr-Kb～MB 1あたりから掘り込みはあったと推定される。

埋土は、穴の上から半分程度は、ATを主体とする褐色～黄褐色の埋土で、やや硬質でしまりがある。下位になるほどしまりがなくなる。穴の底部1/5を除く中位は、ATやMB 2を主体とする褐色・暗褐色～暗オリーブ褐色の埋土で上部はしまりがあまりなく、下部はしまりがある。底部の1/3ほどは、やや粘質のある褐色・にぶい黄褐色～暗褐色土の埋土で、一部にオコシローム (X田層) を含み、底部は上部よりしまりがある。

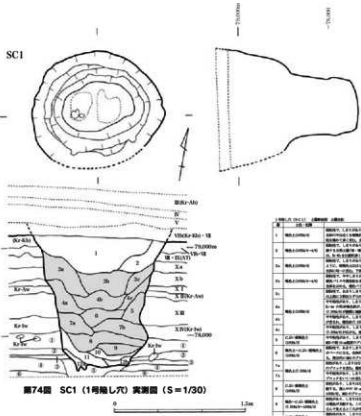
底部はKr-Iw (XIV層) イワオコシまで達していた。3号には、底部床面に幅3～10cm程度の凹凸が多く見られた。この凹凸は、2～5cmの高低差があり、Kr-Iwの硬さのためか、床面を同程度の深さにできなかったものと考えられる。この床面の状態は、二次調査の2号階し穴のように道具痕の可能性があると思われる。

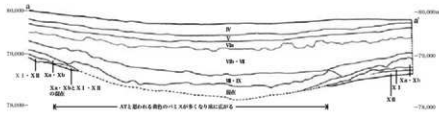
3号階し穴の深さは、ATより上位のMB 1あたりとすると約1.21m、1・2号と同様にKr-Kbとすると1.4～1.5m程度になると推定される。底部からAT下面までの深さは、1.01mである。

なお、底部土層から採取した炭化物の放射性炭素年代測定した結果は、補正¹⁴C年代で13000±70年BPを示した。また、底部土層から採取した埋土の植物珪酸体分析により、Vla層の上層断面の植物珪酸体の組成や密度に対比するという結果を得た。

S C 6 (第63・81回)

B区北地区の中央D 8とD 9のグリッドの間(北)に位置する。長径1.59m、短径1.26m、残深0.98m





第76图 A区南北壁(要) 谷部土层剖面图 ($S = 1/60$)

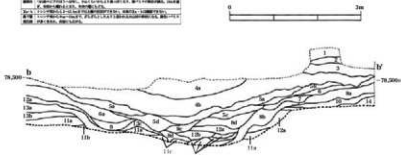


圖77 A区SC1(1号鑿し穴)南東壁部土質断面図 (S=1/60)

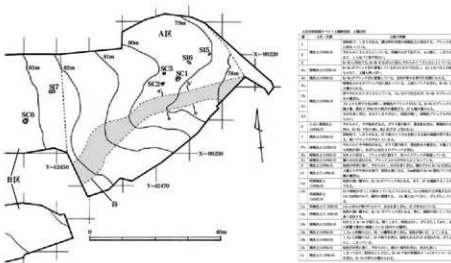
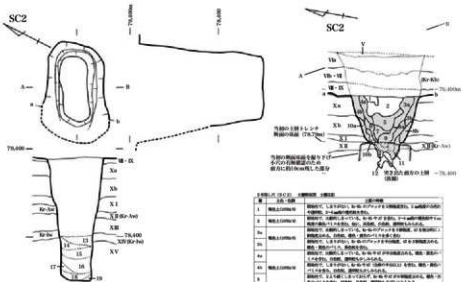
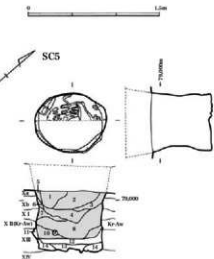


图 78 四 A 区各部位图 (S=1/800)



第79回 SC2 (2列隠し穴) 実測図 (S=1/30)



第80回 SC5 (3号離し穴) 実測図 (S=1/30)

問題	原因	対応策
電源が入らない	電源コードが抜かれている、電源アダプタが故障している。	電源コードを差し込む、新しい電源アダプタを購入する。
モニタが映らない	モニタの電源スイッチがOFFになっている、モニタのケーブルが抜かれている。	モニタの電源スイッチをONにする、モニタのケーブルを再接続する。
音が出ない	スピーカーの電源スイッチがOFFになっている、スピーカーのケーブルが抜かれている。	スピーカーの電源スイッチをONにする、スピーカーのケーブルを再接続する。
USB端子が認識しない	USB端子が壊れている、USBケーブルが抜かれている。	新しいUSB端子を購入する、USBケーブルを再接続する。
HDMI端子が認識しない	HDMI端子が壊れている、HDMIケーブルが抜かれている。	新しいHDMI端子を購入する、HDMIケーブルを再接続する。
SDカードスロットが認識しない	SDカードスロットが壊れている、SDカードが抜かれている。	新しいSDカードスロットを購入する、SDカードを再接続する。
USBメモリが認識しない	USBメモリが壊れている、USBメモリのケーブルが抜かれている。	新しいUSBメモリを購入する、USBメモリのケーブルを再接続する。
外部ディスプレイが映らない	外部ディスプレイの電源スイッチがOFFになっている、外部ディスプレイのケーブルが抜かれている。	外部ディスプレイの電源スイッチをONにする、外部ディスプレイのケーブルを再接続する。
外部スピーカーが音不出	外部スピーカーの電源スイッチがOFFになっている、外部スピーカーのケーブルが抜かれている。	外部スピーカーの電源スイッチをONにする、外部スピーカーのケーブルを再接続する。
外部HDMI端子が映らない	外部HDMI端子が壊れている、外部HDMIケーブルが抜かれている。	新しい外部HDMI端子を購入する、外部HDMIケーブルを再接続する。
外部SDカードスロットが認識しない	外部SDカードスロットが壊れている、外部SDカードが抜かれている。	新しい外部SDカードスロットを購入する、外部SDカードを再接続する。
外部USB端子が認識しない	外部USB端子が壊れている、外部USBケーブルが抜かれている。	新しい外部USB端子を購入する、外部USBケーブルを再接続する。
外部USBメモリが認識しない	外部USBメモリが壊れている、外部USBメモリのケーブルが抜かれている。	新しい外部USBメモリを購入する、外部USBメモリのケーブルを再接続する。
外部HDDが認識しない	外部HDDが壊れている、外部HDDのケーブルが抜かれている。	新しい外部HDDを購入する、外部HDDのケーブルを再接続する。
外部SSDが認識しない	外部SSDが壊れている、外部SSDのケーブルが抜かれている。	新しい外部SSDを購入する、外部SSDのケーブルを再接続する。

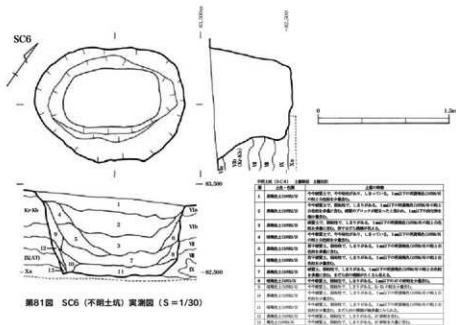


图81 SC6 (不锈钢) 高清晰 (S = 1/30)

で梢円形を呈する。縦文時代早期の調査後、重機でKr-Kb面でそろえた際に検出した。検出面はKr-Kb(Vla層下面～Vlb層上面)である。

埋土は、上位2/3は黒褐色～暗褐色で、ML 1(V層)やKr-Kbを含み、やや固く、粘性はありません。下位1/3は、黒褐色～暗褐色の埋土で、しまりがあり、ATの砂粒やKr-Kbを含み、粘性はほとんどない。細砂を多く含み、底部中心は球形の暗褐色のしみを含む。

(2) 遺物(第71・82回、第19・21表)

細石刃は、A区南西部調査区境界付近と、B区集石遺構S-113の北1m付近で各1点出土した。58、59の細石刃は、ともに桑ノ木津留黒曜石で、厚さを除いて長さ、幅とともにほぼ同じである。

A区で出土した58は、右側縁は素材の縁辺によってなる刃部をもち、正面左上は調整が見られる。59は、左側縁は素材の縁辺による刃部を、上部及び下部には調整が見られる。

60の細石刃核は、B区西端で出土た。礫面を残した上面を使い、細石刃を少なくとも4回以上剥離さ

せている。周囲に同石材の剥片等は確認できなかつた。



第21図 第IV文化層 石器実測図 (S=2/3)

遺物番号	出土地点	層	石種	石打	最高	最大幅	最大厚	重さ(g)	周辺	縦横比	シルエット
58	下ノ尾山	II	砂岩	丸	5.4	5.4	3.5	3.1	99261.071434860	249.382.42	
59	尾山	III	砂岩	丸	5.7	5.8	3.5	3.1	99261.071434860	217.384.33	
60	尾山・中ノ尾山	IV	砂岩	丸	5.6	5.6	3.5	3.1	99261.071434860	205.382.72	

第21表 第IV文化層 石器計測表

第4節 繩文時代早期の遺構と遺物

繩文時代早期の調査は、全調査区の約53%の範囲を行った（第84図）。遺構・遺物は本道跡基本層序IV・V層に相当する層より確認された。

遺構として、集石遺構6基（S18～13）、焼土を作り土坑（S C 3）、不明土坑（S C 4・7・8）を検出した。

遺物は、繩文時代早期の土器片、石器、石錐、台石、石核、二次加工洞片、洞片・チップである。

1 遺構（第83図）

M B 0 (IV層) に関する集石遺構の検出面はIV～V層にあたり、A区北東部に3基（S18・9・10）、南西部に1基（S111）、B区北地区北西部に2基（S112・13）検出した。

A区北東部の3基は、調査区北東際からの検出で、それぞれ隣接し、後述するが接合関係も多いことからほぼ同時期に使用された可能性が高い。B区北地区北西部の2基は隣接し、2基周辺に広がる砾との接合関係もあるので、A区北東部の3基ほどはないが、同時期に使用された可能性がある。検出された6基は、平面的で、振り込みや配石等は見られない。石材個数でみると、A区の4基は、砂岩46%、ホルンフェルス28%、尾鉛酸性岩25%である。重量別では、砂岩37%、尾鉛酸性岩36%、ホルンフェルス26%である。平均重量は167.5 gで、総縦点数は743点である。炭化物は確認できなかった。

B区の2基は、砂岩62%、ホルンフェルス24%、尾鉛酸性岩13%である。平均重量はA区の集石遺構の1/10以下の14.0 gで、総縦点数は750点である。炭化物はS113の近くに確認できた。

S18（第83・86図、第22・23表）

A区北東部A3グリッドに位置する。S18～10の3基中、最も西に位置し、S19と隣接する。石材個数では、砂岩71%、尾鉛酸性岩19%、ホルンフェルス10%である。重量別では、砂岩73%、ホルンフェルス15%、尾鉛酸性岩12%である。平均重量は204.9 gで、総縦点数は110点である。

接合状況は、S18だけの接合は1個体2点のみで、後述するS19と18個体82点、またS19及び後述するS110と5個体23点が接合する。実に、砾の97.3%が接合する。完形率は40%未満の砾が98%と3基中最も高い。接合関係から、もとは円錐形、角錐形、角錐形が多かったと見られる。

S18は3基中最も赤化率が高く、個体数では8割、重量では9割弱に達している。特に接合した赤化率の高い石材は尾鉛酸性岩とホルンフェルスである。S18周辺での遺物は出土しなかった。

S19（第83・87図、第22・23表）

A区北東部A2・3グリッドの間で確認され、3基中最も北に位置し、S18と西に、S110と南に隣接する（第88図）。石材個数では、砂岩42%、ホルンフェルス31%、尾鉛酸性岩27%である。重量

別では、ホルンフェルス38%、砂岩35%、尾鉛酸性岩28%である。平均重量160.4gで、總標点数は278点である。

接合状況は、S I 9だけの接合は10個体31点で、前述したS I 8と18個体102点、またS I 8及び後述するS I 10と5個体83点、S I 10と2個体16点が接合する。確率の84.4%が接合する。完形率は40%未満の確率95%と3基中2番目である。接合関係から、もとは亜円錐、亜角錐、角錐が多くあったと見られる。

S I 9の赤化率はさほど高くなく、個体数では4割、重量では5割である。得の接合した赤化率の高い石材はS I 10の赤化率はさほど高くなく、個体数では4割である。が、重量比にすると7割弱を占める。S I 9の北側付近に陶文土器片が7点出土した。

S I 10 (第83・89図、第22・23表)

A区北東部A 2グリッドの南西方向にあり、3基中、最も南に位置し、S I 9と北に隣接する。石材個数では、砂岩41%、ホルンフェルス32%、尾鉛酸性岩26%である。重量別では、尾鉛酸性岩51%、砂岩25%、ホルンフェルス24%である。平均重量155.3gで、總標点数は351点である。接合状況は、S I 10だけの接合は46個体226点で、前述したS I 8及びS I 9と5個体9点、S I 9と2個体2点が接合する。接合率は67.5%である。その95.4%はS I 10だけの接合である。接合した石材のうち、500g以上の確率は19個体、そのうち10個体は尾鉛酸性岩で、重量比は67%に達する。

S I 10も完形率40%未満の確率が多く、90%を占める。接合関係から、もとは亜円錐、亜角錐が多くあったと見られる。

S I 10の赤化率はさほど高くなく、個体数では4割である。が、重量比にすると7割弱を占める。特に赤化率の高い石材は尾鉛酸性岩とホルンフェルスである。S I 10周辺での遺物は確認できなかった。S I 8～10は調査区東端の断崖面のそばである。断崖面の上層（第90図）を確認したが、はっきりと層があまりなく、淡い褐色土のなかにわずかに確認できる。IV層とV層の違いは明確には判断できない。IV層(Kr-Kb)はわずかなブロックの存在で確認でき

た。VII・VIII・IX層は混在し、区別できない。X層は、ほとんどXa層が占め、Xb層は見当たらない。この結果は、東西壁の上層図とも一致する。

S I 11 (第83・91図、第22・23表)

A区南西部の調査区境界に隣接するF 6グリッドに位置する。石材個数では、尾鉛酸性岩と砂岩が50%である。重量別では、尾鉛酸性岩56%、砂岩44%である。平均重量690gで、總標点数は4点である。

接合状況は、同じ種石材が接合し、2個体4点である。完形率はすべて40%未満で、接合した場合ももとの確率の5割程度にしかならない。接合関係から、もとは亜円錐、亜角錐とみられる。

S I 11の赤化率は高く、4割とも中位以上の赤化である。特に赤化率の高い石材は尾鉛酸性岩である。検出が調査区境界であり、周辺の確率との接合関係を確認できなかった。S I 11周辺では西約4m付近で石脈2点（桑木津留黒曜石製、チャート製）が出土した。

S I 12 (第83・92図、第22・24表)

B区北地区北西部、S I 13の西に隣接し、C 10グリッド北東に位置する。石材個数では、砂岩65%、ホルンフェルス20%、尾鉛酸性岩13%である。重量別では、砂岩58%、ホルンフェルス27%、尾鉛酸性岩15%である。平均重量12.7gで、總標点数は308点である。

接合状況はS I 12だけの接合は16個体51点で、S I 12と後述するS I 13との周辺に広がる小標群との接合が13個体19点、S I 13と3個体3点が接合する。接合率は23.7%である。完形率は40%未満の確率が97%と極めて高い。接合関係から、もとは亜円錐、亜角錐が多くあったと見られる。S I 12の赤化率は低く、個体数では27.3%、重量では38.2%である。特に接合した赤化率の高い石材は尾鉛酸性岩とホルンフェルスである。周辺にはS I 12の東側のS I 13付近を除けば、姫島黒曜石洞片1点、針尾島黒曜石チップ2点が出土した。

S I 13 (第83・93図、第22・24表)

B区北地区北西部、S I 12の東に隣接し、C 9グリッド北西に位置する。石材個数では、砂岩59%、

ホルンフェルス20%、尾鉢酸性岩12%である。重量別では、砂岩55%、ホルンフェルス27%、尾鉢酸性岩17%である。平均重量14.9 gで、總點数は442点である。

接合状況はS I 13だけの接合は45個体102点で、S I 13と前述したS I 12との周辺に広がる小礫群との接合が11個体17点。S I 12と3個体5点が接合する。礫接合率は28.1%である。完形率は40%未満の礫が95%と極めて高い。接合間隔から、もとは粗円錐、亜角錐が多くかったと見られる。S I 13の赤化率は個体数では44%、重量では50.7%でS I 12より高い。接合した赤化率の高い石材はホルンフェルスと尾鉢酸性岩である。

周辺には、S I 13の西側のS I 12付近を除いて、北側4 m以内に縄文時代早期土器片43点（中原IV式4点、無紋土器39点）、南側・東側に縄文時代早期土器片39点（轟I式13点、無紋土器26点）。計82点の土器片が出土した。

S I 13の周囲には、姫島黒曜石製の石鏃3点・剥片10点・チップ4点、姫島ガラス質安山岩剥片1点、針尾島黒曜石製の石鏃1点・剥片1点・チップ4点、桑/木津留質石鏃1点、砂岩質台石1点、ホルンフェルス剥片2点。直石製チップ1点の合計30点の石器が出土した。

S C 3 (焼土を伴う土坑) (第83・94回)

A区北部中央寄りB 5グリッドに位置する。長径1.61m、短径1.41m、残深0.35mで横円形を呈する。K-Ah下位の黒褐色土層（IV層）を剥離でそろえた際に検出した。検出面は黒褐色土下面から暗褐色土（V層）上面である。底部は、Kr-Kb（Vla層）である。

埋土は、上位1/3は黒褐色、穴の中位中心は褐色で、周辺は暗褐色、焼上のみられる底部は明褐色である。

この土坑のほぼ中央部に焼土及び焼土ブロックがみられ、炭化物も少量含まれていた。また、土坑内に礫が3点出土した。礫の全重量は3,220 gで、石材は、尾鉢酸性岩1点（2,305 g）、ホルンフェルス2点（645 g、270 g）である。特に尾鉢酸性岩製礫は、赤化率が強であった。

周辺には、南西3 m間に後述する不明土坑1基

(S C 4) が位置する。

S C 4 (第83・95回)

A区北部や西寄りB 5・B 6グリッドの間に位置する。長径1.73m、短径1.38m、残深0.27mで横円形を呈する。黒褐色土（IV層）下面の暗褐色土（V層）で検出した。底部はKr-Kb（Vla層）である。

埋土は、上位2/3は黒褐色で固くしまっている。底部は褐色で、炭化物が含まれていた。この土坑には焼土は確認できなかった。土坑内には礫や遺物は確認できなかった。北東3 m間に焼土を作った土坑（S C 3）が位置する。

S C 7 (第83・96回)

B区北地区西端の南北土層断面確認の際に検出した。B 7グリッドに位置し、長径1.15m以上、短径1.1m以上、残深0.35mで横円形を呈する。暗褐色土層（V層）下面からKr-Kb（Vla層）で検出した。

埋土は、上位1/4は、褐色で粘性がなく、Kr-Kbを2層程度含む。基本土層のVla層と思われる。底部1/4を除く中位は暗褐色土で、粘性がなくKr-Kbが密に詰まり固い。底部は褐色の埋土で、やや粘性がある。基本土層のVII層と思われる。

土坑中には、Kr-Kbを含み1 mm以下の炭化物をわずかに含む。底部はMB I（VII層）である。S C 7は南にS C 8と隣接する。礫や遺物は確認できなかった。

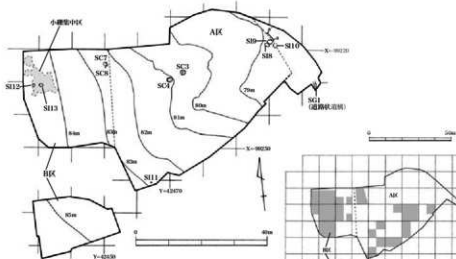
S C 8 (第83・96回)

B区北地区西端の南北土層断面確認の際に検出した。B 7グリッドに位置し、長径0.34m以上、短径0.59m以上、残深0.26mで、隣接するS C 7の形状から西に延展していたとすれば、横円形を呈するのであろう。暗褐色土層（V層）下面からKr-Kb（VII層）で検出した。埋土の状況はS C 7と同じである。

土坑中には、Kr-Kbを含み1 mm以下の炭化物をわずかに含む。底部はMB I（VII層）である。礫や遺物は確認できなかった。

2 遺物 (第85・97~100回、第25~27表)

出土遺物は160点である。その内訳は、縄文土器89点、石器71点である。土器は縄文時代早期の轟I式13点、中原IV式4点、無紋土器65点、不詳7



第83回 横文時代早期 造横分布図 ($S = 1/800$)

第84圖 繪文時代早期 考古區域 ($S = 1/1,600$)

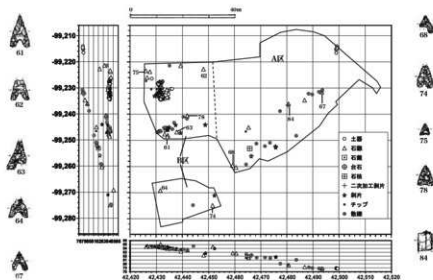
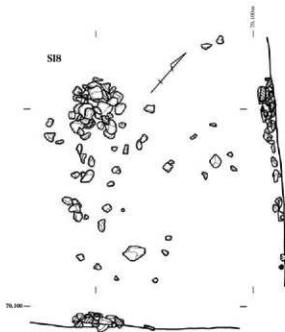


圖85四 繩文時代早期 遺物・散置分布図 ($S = 1/1,000$)

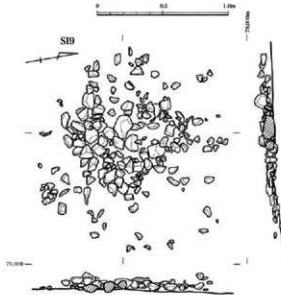
SI8



第86図 集石遺構実測図(1) ($S=1/20$)

0 0.5 1.0m

SI9

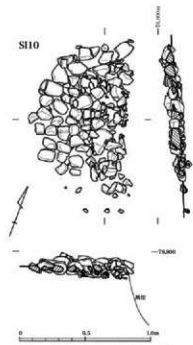


第87図 集石遺構実測図(2) ($S=1/20$)

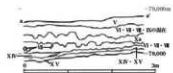
第88図 集石遺構(SI8~10)の位置図 ($S=1/60$)

0 2m

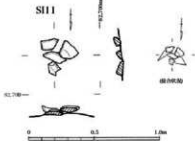




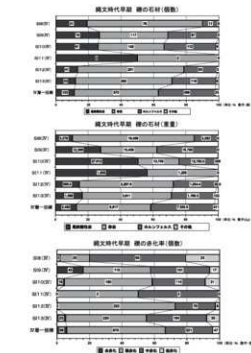
第89圖 集石造橋實測圖 (3) ($S=1/20$)



第90図 鑿石造橋の東壁土槽 (S=1/60)



第91圖 集石造模實測圖 (4) ($S = 1/20$)



第22表 鑿石造橋・礎の石材・赤化率

第23表 無石造模・補計測表

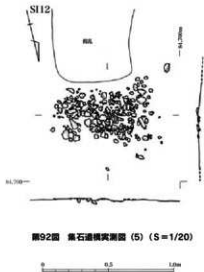


図92図 集石道横実測図(5) (S=1/20)

	集石道 A	集石道 B	集石道 C	集石道 D
計合 (kg)	3, 913.2 kg	6, 399.2 kg	19, 270.5 kg	29, 740.2 kg
平均 (kg)	0.3	0.4	1.0	1.0
石数 (個)	43	64	123	237
積石量 (kg)	0.993.3 kg	1, 064.9 kg	2, 049.0 kg	4, 149.3 kg
積石割合(%)	2.9. 3%	19. 0%	11. 1%	11. 1%
密度 (kg/m ³)	3.4. 3%	3.6. 3%	3.6. 3%	3.6. 3%
平均密度(g/L)	0.3	0.4	0.6	0.6
粗さ	0.0	0.1	0.2	0.3
細さ	0.2	0.3	0.4	0.5
中間	0.2	0.3	0.4	0.5
砂質割合(%)	0.9. 5%	0.6. 7%	4. 9%	4. 9%
粘土質割合(%)	7. 1. 3%	1. 9. 9%	1. 9. 9%	1. 9. 9%
泥質割合(%)	8. 0. 0%	1. 1. 9%	3. 3. 3%	3. 3. 3%
粗さ	1, 034. 4 kg	1, 744. 5 kg	7, 550. 5 kg	10, 371. 4 kg
細さ	2.0. 6%	2.6. 9%	3.0. 9%	3.0. 9%
中間	0.7. 0%	0.6. 9%	0.6. 9%	0.6. 9%
石数 (個)	16	26	36	36
粗さ	0	0	0	0.4
細さ	0.2	0.3	0.1	0.6
中間	0.5	0.6	0.5	0.5
砂質割合(%)	0.5. 5%	0.6. 0%	0.5. 5%	0.5. 5%
粘土質割合(%)	7. 7. 9%	1. 8. 6%	7. 7. 9%	7. 7. 9%
泥質割合(%)	9. 0. 0%	0. 0. 0%	0. 0. 0%	0. 0. 0%
粗さ	0.002	0.002	0.002	0.002
細さ	0.002	0.002	0.002	0.002
中間	0.002	0.002	0.002	0.002
砂質割合(%)	0.002	0.002	0.002	0.002
粘土質割合(%)	0.002	0.002	0.002	0.002
泥質割合(%)	0.002	0.002	0.002	0.002
粗さ	0.002	0.002	0.002	0.002
細さ	0.002	0.002	0.002	0.002
中間	0.002	0.002	0.002	0.002
石数 (個)	0	0	0	0
粗さ	0.002	0.002	0.002	0.002
細さ	0.002	0.002	0.002	0.002
中間	0.002	0.002	0.002	0.002
石数 (個)	0	0	0	0
粗さ	0.002	0.002	0.002	0.002
細さ	0.002	0.002	0.002	0.002
中間	0.002	0.002	0.002	0.002
石数 (個)	0	0	0	0

図24表 集石道構・一括標計測表

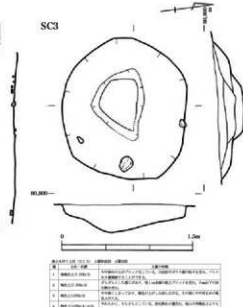
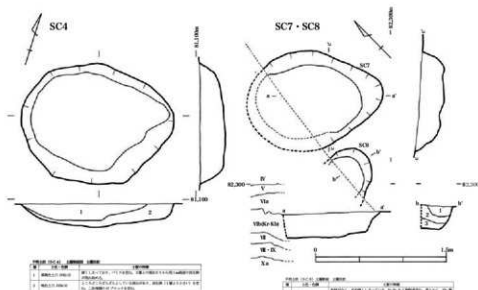


図93図 集石道横実測図(6) (S=1/20)

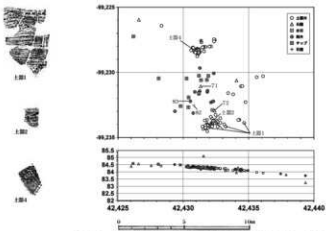
図94図 SC3 (埴土を伴う土坑) 実測図 (5 = 1/30)



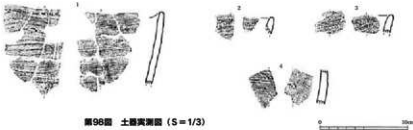
第95図 SC4(不開土坑)実測図(S=1/30)

実測図(1/30)、上部断面、下部断面
1. 地盤上部(0.00m)
2. 地盤上部(0.00m)
3. 地盤上部(0.00m)
4. 地盤上部(0.00m)

第96図 SC7・8(不開土坑)実測図(S=1/30)



第97図 調文時代早期B区北 集石遺構周辺遺物分布図(S=1/200)



第96図 土器実測図 (S=1/3)

No.	B-C	E	東九の面	西面	土器の特徴		内面	外面	内面	外面	土器の特徴		縁文
					内面	外面			内面	外面	内面	外面	
1	B-C	E	東九	西面	ハサウエーリングに形成された 凸凹の縦起線文	ナデ	明褐色 0.200-0.30	2.0-2.5mmの黒褐色粒、1mm の白色透明粒を含む。	明褐色 0.200-0.30	2.0-2.5mmの黒褐色粒、1mm の白色透明粒を含む。	明褐色 0.200-0.30	2.0-2.5mmの黒褐色粒、1mm の白色透明粒を含む。	明褐色
2	B-C	E	東九	西面	ハサウエーリングに形成された 凸凹の縦起線文	ナデ	明褐色 0.200-0.30	2.0-2.5mmの黒褐色粒、1mm の白色透明粒を含む。	明褐色 0.200-0.30	2.0-2.5mmの黒褐色粒、1mm の白色透明粒を含む。	明褐色 0.200-0.30	2.0-2.5mmの黒褐色粒、1mm の白色透明粒を含む。	ナ
3	B-C	E	東九	西面	ハサウエーリングに形成された 凸凹の縦起線文	ナデ	明褐色 0.200-0.30	2.0-2.5mmの黒褐色粒、1mm の白色透明粒を含む。	明褐色 0.200-0.30	2.0-2.5mmの黒褐色粒、1mm の白色透明粒を含む。	明褐色 0.200-0.30	2.0-2.5mmの黒褐色粒、1mm の白色透明粒を含む。	明褐色
4	B-C	E	東九	西面	波状口縁部	ナデ	明褐色 0.200-0.30	2.0-2.5mmの黒褐色粒、1mm の白色透明粒を含む。	明褐色 0.200-0.30	2.0-2.5mmの黒褐色粒、1mm の白色透明粒を含む。	明褐色 0.200-0.30	2.0-2.5mmの黒褐色粒、1mm の白色透明粒を含む。	ナ

第25表 土器観察表

	内面	外側	内面	外側	二次加工跡	縫合	ナデ	骨質
縫合						1.0	0	0.1
縫合							0	0
内・外面							2	2
内面							0	0
縫合	1					0	0	0
縫合ナデ・縫合跡	2					1	0	0
ナデ	6					1	0	0
内ルンフェルス	1		2			1.0	1.0	1.0
縫合						1	1	1
縫合						1	1	1
骨質	2.0	1	1	1	1	2.0	1.0	0.0

第26表 織文時代早期 石材別石器組成表

点の計89点である。

石器は石錐22点、石錐1点、台石1点、石核2点、二次加工剥片1点、剥片32点、チップ12点である。石材には、姫島黒曜石21点、ホルンフェルス21点、針尾島黒曜石9点、チャート7点、腰脛黒曜石5点、桑木津留黒曜石2点、姫島ガラス質安山岩3点、頁岩2点、砂岩1点である。

土器 (第97・98図、第25表)

土器の大部分はB区北地区のS 112・13周辺のB 9・C 9グリッドから確認された。S 1 9の近くでも確認されたが、文様等識別困難な土器であった。土器のほとんどは小片で、少なくとも4個体以上の小片であろうと考えられる。

1は口縁部(波状口縁)を含む9点が接合したもので、外面はへらでなでた時に形成される隔壁起線文を施し、口縁部上部は刻みがみられる。内面は、横方向の貝型条痕文を施した後ナデ調整が施されて

いる。胎土中に1~2mmの黒褐色粒や1mmの大白色透明粒を含む。焼成は良好で、色調は外面が明褐色、内面がにぶい褐色である。

2は、口縁部(波状口縁か)で、内外面の施文は1と同様である。色調は、外面・内面とともににぶい褐色、焼成は良好である。3も口縁部(波状口縁か)であるが、外面は風化が著しく施文が不明瞭である。内面は、1・2と同様で、色調は、外面が橙色、内面は明褐色で、焼成は良好である。

1・2・3は同一個体と考えられ、文様の特徴から縁文I式と思われる。このほかに同一個体と思われる土器小片が3点出土している。

4は脇部とみられ、貝殻腹縁を滑らせて付ける条痕文のもので、内面は削り後ナデ調整が施される。1mmの大白色透明粒や1~2mmの黒褐色粒や1mmの大黑色透明粒を含む。焼成は良好で、色調は、外面が明褐色、内面はにぶい黄褐色である。4は中原IV式と思われる。このほかに、同一個体と思われる土器小片が3点出土した。

この他に、同一個体と思われる無紋土器小片が65点、風化が著しい不詳土器が7点出土している。

石器 (第99・100図、第27表)

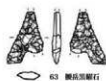
石錐は、A区6点、B区北地区13点、同南地区2点の計21点出土した。散漫な分布であるが、B北地区の北西側と南側に比較的多い。



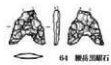
61 稲島ガラス質安山岩



62 稲島ガラス質安山岩



63 稲島黒曜石



64 稲島黒曜石



65 稲島黒曜石



66 チャート



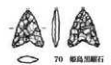
67 稲島黒曜石



68 チャート



69 阿木津留黒曜石



70 稲島黒曜石



71 稲島黒曜石



72 チャート



73 ホルンフェルス



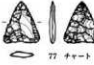
74 稲島黒曜石



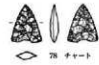
75 稲島黒曜石



76 チャート



チャート



78 チャート



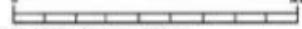
79 稲島黒曜石



稻島黒曜石



81 阿木津留黒曜石



第99図 純文時代早期 石器実測図(1) ($S = 2/3$)



第100図 總文時代早期 石器実測図(2) (S=2/3)

遺物番号(出土地点)	石器種類	工具名	長さ(cm)	幅さ(cm)	厚さ(cm)	重さ(g)	工具番号	出土地点	工具名	長さ(cm)	幅さ(cm)	厚さ(cm)	重さ(g)	工具番号	出土地点
01 西原-38	石器	直角二面削形石器	0.31	0.15	0.05	0.025	022	西原-38	直角二面削形石器	0.31	0.15	0.05	0.025	023	西原-38
02 西原-38	石器	直角二面削形石器	0.15	0.08	0.05	0.022	024	西原-38	直角二面削形石器	0.15	0.08	0.05	0.022	025	西原-38
03 西原-38	石器	圓錐形石器	0.3	0.15	0.05	0.024	026	西原-38	圓錐形石器	0.3	0.15	0.05	0.024	027	西原-38
04 西原-38	石器	圓錐形石器	0.25	0.15	0.05	0.025	028	西原-38	圓錐形石器	0.25	0.15	0.05	0.025	029	西原-38
05 西原-38	石器	圓錐形石器	0.35	0.15	0.05	0.025	030	西原-38	圓錐形石器	0.35	0.15	0.05	0.025	031	西原-38
06 西原-38	石器	圓錐形石器	0.35	0.15	0.05	0.025	032	西原-38	圓錐形石器	0.35	0.15	0.05	0.025	033	西原-38
07 西原-38	石器	圓錐形石器	0.35	0.15	0.05	0.025	034	西原-38	圓錐形石器	0.35	0.15	0.05	0.025	035	西原-38
08 西原-38	石器	圓錐形石器	0.35	0.15	0.05	0.025	036	西原-38	圓錐形石器	0.35	0.15	0.05	0.025	037	西原-38
09 西原-38	石器	圓錐形石器	0.35	0.15	0.05	0.025	038	西原-38	圓錐形石器	0.35	0.15	0.05	0.025	039	西原-38
10 西原-38	石器	圓錐形石器	0.35	0.15	0.05	0.025	040	西原-38	圓錐形石器	0.35	0.15	0.05	0.025	041	西原-38
11 西原-38	石器	圓錐形石器	0.35	0.15	0.05	0.025	042	西原-38	圓錐形石器	0.35	0.15	0.05	0.025	043	西原-38
12 西原-37	石器	チート	0.9	0.14	0.05	0.4	044	西原-37	チート	0.9	0.14	0.05	0.4	045	西原-37
13 西原-37	石器	チート	0.9	0.14	0.05	0.4	046	西原-37	チート	0.9	0.14	0.05	0.4	047	西原-37
14 西原-37	石器	チート	0.9	0.14	0.05	0.4	048	西原-37	チート	0.9	0.14	0.05	0.4	049	西原-37
15 西原-37	石器	チート	0.9	0.14	0.05	0.4	050	西原-37	チート	0.9	0.14	0.05	0.4	051	西原-37
16 西原-37	石器	チート	0.9	0.14	0.05	0.4	052	西原-37	チート	0.9	0.14	0.05	0.4	053	西原-37
17 西原-37	石器	チート	0.9	0.14	0.05	0.4	054	西原-37	チート	0.9	0.14	0.05	0.4	055	西原-37
18 西原-37	石器	チート	0.9	0.14	0.05	0.4	056	西原-37	チート	0.9	0.14	0.05	0.4	057	西原-37
19 西原-37	石器	チート	0.9	0.14	0.05	0.4	058	西原-37	チート	0.9	0.14	0.05	0.4	059	西原-37
20 西原-37	石器	チート	0.9	0.14	0.05	0.4	060	西原-37	チート	0.9	0.14	0.05	0.4	061	西原-37
21 西原-37	石器	チート	0.9	0.14	0.05	0.4	062	西原-37	チート	0.9	0.14	0.05	0.4	063	西原-37
22 西原-37	石器	チート	0.9	0.14	0.05	0.4	064	西原-37	チート	0.9	0.14	0.05	0.4	065	西原-37
23 西原-37	石器	チート	0.9	0.14	0.05	0.4	066	西原-37	チート	0.9	0.14	0.05	0.4	067	西原-37
24 西原-37	石器	チート	0.9	0.14	0.05	0.4	068	西原-37	チート	0.9	0.14	0.05	0.4	069	西原-37
25 西原-37	石器	チート	0.9	0.14	0.05	0.4	070	西原-37	チート	0.9	0.14	0.05	0.4	071	西原-37
26 西原-37	石器	チート	0.9	0.14	0.05	0.4	072	西原-37	チート	0.9	0.14	0.05	0.4	073	西原-37
27 西原-37	石器	チート	0.9	0.14	0.05	0.4	074	西原-37	チート	0.9	0.14	0.05	0.4	075	西原-37
28 西原-37	石器	チート	0.9	0.14	0.05	0.4	076	西原-37	チート	0.9	0.14	0.05	0.4	077	西原-37
29 西原-37	石器	チート	0.9	0.14	0.05	0.4	078	西原-37	チート	0.9	0.14	0.05	0.4	079	西原-37
30 西原-37	石器	チート	0.9	0.14	0.05	0.4	080	西原-37	チート	0.9	0.14	0.05	0.4	081	西原-37

第27表 總文時代早期 石器計測表

61~81の石器の石材は、姫島黒曜石（6点）、チート（5点）、腰舌黒曜石（4点、接合1個体2点があるため）、姫島ガラス質安山岩（2点）、桑木津留（2点）、ホルンフェルス（1点）である。

本遺跡では、前述したように二次・三次調査で出土した石器を形から次のような分類を行った。

- A 3cm以上の大型で基部が丸い（推定含む） 61, 62
- B 3cm以上の大型で基部が外に傾る（推定含む） 63, 64
- C AタイプとBタイプとの中間 65
- D 抜りの顕著なもの 66
- E 逆ハート形の均整の取れたもの 67, 68
- F 抜りが全体の1/4~1/5程度のもの 69, 70, 71, 72, 73, 74, 75

G 抜りのはとんどないもの

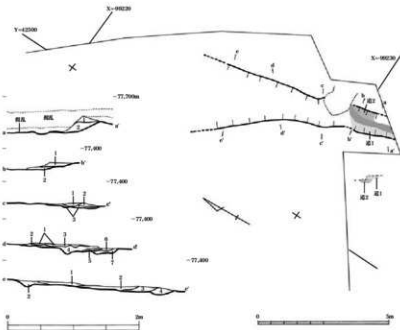
76, 77, 78

H 石器の形が不明なもの

79, 80, 81

石器は、B区 S 113の南1.5m付近で出土した。82は針尾島黒曜石製で、先端が欠損している。出土した周辺には、83の剥片をはじめ、剥片2点、チップ6点が確認された。

84の二次加工剥片は、A区中央南西から北東に展開する谷部にあたる位置で確認された。頁岩製で、先端と基部が欠損している。右側縁部には二次加工を施している。ナイフ形石器または角錐状石器の可能性が考えられよう。周辺には、同村の剥片等を確認することができなかった。



第101図 道路状遺構実測図 (S=1/100、断面は1/40)

3 時代不詳の遺構 道路状遺構 (第101図)

A区東側調査区境界B 1・C 1 グリッドの間に位置する。当初10m以上あると思われたが、確認できた道路は約2mである。硬化面の上層から判断すると、自然流路の上に、はじめに作られた道の上に別の道が作られたようである。残念ながら削平され、わずかに残存したようである。この遺構からは遺物は確認できず、他の遺構との切り合いもないため、時期の特定はできなかった。

遺構名：支那時代「（ル）」	
1	遺構名：（ル）
2	遺構名：（ル）
3	遺構名：（ル）
4	遺構名：（ル）
5	遺構名：（ル）
遺構名：支那時代「（ル）」	
1	遺構名：（ル）
2	遺構名：（ル）
3	遺構名：（ル）
4	遺構名：（ル）
5	遺構名：（ル）
遺構名：支那時代「（ル）」	
1	遺構名：（ル）
2	遺構名：（ル）
3	遺構名：（ル）
4	遺構名：（ル）
5	遺構名：（ル）
遺構名：支那時代「（ル）」	
1	遺構名：（ル）
2	遺構名：（ル）
3	遺構名：（ル）
4	遺構名：（ル）
5	遺構名：（ル）
遺構名：支那時代「（ル）」	
1	遺構名：（ル）
2	遺構名：（ル）
3	遺構名：（ル）
4	遺構名：（ル）
5	遺構名：（ル）

第VII章 自然科学分析の結果

第1節 はじめに

本遺跡の二次調査区及び三次調査区において、陥し穴が6基検出された。しかしながら、陥し穴からは遺物の出土がなく、更に他の構造との切り合い関係もないため、考古学的手法のみでは陥し穴の時期の推測が困難な状態である。

そこで、今回5つの陥し穴から採取した炭化物や埋土を以下に示す4つの自然科学分析委託を実施した（第106回）。

①炭化物年代分析（AMS法）測定—採取した炭化物から陥し穴のつくられた時期をある程度限定する（5点）。

②植物珪酸体分析—陥し穴の埋土と周辺の自然土層の植物珪酸体分析の比較により、陥し穴がつくられたころの時期や環境を明らかにする（陥し穴から計15点、比較対照に必要な自然土層から計24点の合計39点）。

③樹種同定—比較的大きな炭化材が採取できたため、樹種同定により遺跡周辺の森林植生の復元を明らかにする（5点）。

④種別実同定—植物種子が含まれている可能性の高い土壤の選別種実同定により、遺跡周辺の比較的狭い範囲の植生復元や固有の植生環境を明らかにする（1点）。

第2節 放射性炭素年代測定結果

1. 試料と方法

試料名	地点・層準	地点・層準	前処理・調査	測定法
No.1	三次調査、SC5、14層	炭化物	酸-アルカリ-酸洗浄、石墨調査	AMS
No.4	三次調査、SC1、11-12層	炭化物	酸-アルカリ-酸洗浄、石墨調査	AMS
No.6	三次調査、SC2、底部	炭化物	酸-アルカリ-酸洗浄、石墨調査	AMS
No.10	二次調査、SC2、22層	炭化物	酸-アルカリ-酸洗浄、石墨調査	AMS
No.13	二次調査、SC3、16層	炭化物	酸-アルカリ-酸洗浄、石墨調査	AMS

AMC：加速器質量分析法（Accelerator Mass Spectrometry）

2. 測定結果

試料名	測定No. (Beta-)	${}^14\text{C}$ 年代 (年BP)	$\delta {}^{14}\text{C}$ (‰)	補正 ${}^14\text{C}$ 年代 (年BP)	測定年代（西暦） (1σ : 68%確率、 2σ : 95%確率)
No.1	195253	12870±70	-17.3	13000±70	文部: cal BC 13680 1σ : cal BC 13940~13200 2σ : cal BC 14070~13010
No.4	195254	2320±40	-26.9	2290±40	文部: cal BC 380 1σ : cal BC 390~370 2σ : cal BC 400~350, 300~220
No.6	195255	13390±60	-27.4	13350±60	文部: cal BC 14000 1σ : cal BC 14450~13830 2σ : cal BC 14520~13760
No.10	195256	11450±60	-26.6	11420±60	文部: cal BC 11470 1σ : cal BC 11830~11740, 11530~11220 2σ : cal BC 11840~11720, 11550~11200
No.13	195257	11540±40	-27.0	11510±40	文部: cal BC 11510 1σ : cal BC 11840~11720, 11560~11450 2σ : cal BC 11850~11700, 11570~11360 11290~11240

第28表 放射性炭素年代測定結果

(1) ^{14}C 年代測定値

試料の $^{14}\text{C}/^{12}\text{C}$ 比から、単純に現在(AD1950年)から何年前かを計算した値。 ^{14}C の半減期は、国際的慣例によりLibbyの5,568年を用いた。

(2) $\delta^{13}\text{C}$ 測定値

試料の測定 $^{13}\text{C}/^{12}\text{C}$ 比を補正するための炭素安定同位体比($^{13}\text{C}/^{12}\text{C}$)。この値は標準物質(PDB)の同位体比からの千分偏差(‰)で表す。

(3) 補正 ^{14}C 年代値

^{14}C 測定値から試料の炭素の同位体分別を知り、 $^{13}\text{C}/^{12}\text{C}$ の測定値に補正值を加えた上で算出した年代。試料の $\delta^{13}\text{C}$ 値を-25(‰)に標準化することによって得られる年代である。

(4) 暗年代

過去の宇宙線強度の変動による大気中 ^{14}C 濃度の変動を較正することにより算出した年代(西暦)。calはcalibrationした年代値であることを示す。較正には、年代既知の樹木年輪の ^{14}C の詳細な測定値、およびサンゴのU-Th年代と ^{14}C 年代の比較により作成された較正曲線を使用した。最新のデータベースでは約19,000年BPまでの換算が可能となっている。ただし、10,000年BP以前のデータはまだ不完全であり、今後も改善される可能性がある。

暗年代の交点とは、補正 ^{14}C 年代値と暗年代較正曲線との交点の暗年代値を意味する。 1σ (68%確率)と 2σ (95%確率)は、補正 ^{14}C 年代値の偏差の幅を較正曲線に投影した暗年代の幅を示す。したがって、複数の交点が表記される場合や、複数の 1σ ・ 2σ 値が表記される場合もある。

3. 所見

加速器質量分析法(AMS法)による放射性炭素年代測定の結果、№1の炭化物(三次調査、SC5)では $13,000 \pm 70$ 年BP(1 σ の暗年代でBC13,940~13,200年)、№4の炭化物(三次調査、SC1)では $2,290 \pm 40$ 年BP(同BC390~370年)、№6の炭化物(三次調査、SC2)では $13,350 \pm 60$ 年BP(同

BC14,450~13,830年)、№10の炭化物(二次調査、SC2)では $11,420 \pm 60$ 年BP(同BC11,830~11,740、11,530~11,220年)、№13の炭化物(二次調査、SC3)では $11,510 \pm 40$ 年BP(同BC11,840~11,720、11,560~11,450、11,410~11,380年)の年代値が得られた。

このうち、№1(三次調査、SC5)と№6(三次調査、SC2)の年代値は、現在(AD1950年)を基点とする暗年代(cal BP)に換算すると、BP15,890~15,150年およびBP16,400~15,780年となり。霧島小林輕石(Kr-Kb)の年代値である16.7ka(約16,700年前:町田・新井, 2003)に近い年代値であることが分かる。これは、植物珪酸体分析から推定される遺構埋土の層準対比とも整合している(第IV章参照)。

文献

- Stuiver et al. (1998), INTCAL98 Radiocarbon Age Calibration, Radiocarbon, 40, p.1041-1083.
中村俊夫(1999) 放射性炭素法。考古学のための年代測定学入門。古今書院, p.1-36.
町田洋・新井房夫(2003) 新編火山灰アトラス—日本列島とその周辺—。東京大学出版会, p.112.

第3節 種実同定

1. はじめに

植物の種子や果実は比較的強固なものが多く、堆積物や遺構内に残存している場合がある。堆積物などから種実を検出し、その種類や構成を調べることで、過去の植生や栽培植物を明らかにすることができる。

2. 試料

試料は、三次調査SC1の11・12層から水洗選別によって採取された炭化種実である。

3. 方法

肉眼及び双眼実体顕微鏡で観察し、形態的特徴および現生標本との対比によって同定を行った。結果は同定レベルによって科、属、種の階級で示した。

4. 結果

(1) 分類群

分析の結果、草本4分類群が同定された。学名、和名および粒数を表1に示し、主要な分類群を写真に示す。以下に同定根拠となる形態的特徴を記す。

〔草本〕

イネ *Oryza sativa* L. 炭化果実 イネ科

炭化しているため黒色である。長楕円形を呈し、胚の部分がくぼむ。表面には数本の筋が走る。

アワ *Setaria italica* Beauv. 果実 イネ科

炭化しているため黒色で楕円形を呈す。表面には横方向の微細な隆起がある。

マメ科 Leguminosae 炭化子葉 マメ科

黒色で楕円形を呈し、縦に一本の溝状の筋が走る。炭化が進み子葉がないため、科レベルの同定にとどめたが、栽培種と考えられる。

アカネ科? Rubiaceae 炭化種子

偏球形を呈し、背面は広楕円状円形である。中央

に円形の穴がある。炭化が進み表面模様が欠落しているため、科?の同定にとどめた。

(2) 同定結果

三次調査SC1の11・12層から採取された炭化種実は、イネ科、アワ科、マメ科2、アカネ科?9と同定された。参考までに、SC5の14層の試料についても同定を試みたが、いずれも土粒と不明炭化物であり、種実は認められなかった。

5. 考察

分析の結果、三次調査SC1の11・12層から採取された炭化種実は、栽培植物のイネ(炭化米)、アワ、マメ科が同定された。栽培種のマメ科は、西南日本の遺跡では弥生時代から比較的多く出土しており、弥生時代においてイネと併に栽培されていた作物である。アカネ科は多年草で山に生育し、根は染料として西染めに用いられ、また止血及び解熱強壮剤として薬用になる。

なお、SC1の同一層準から採取された炭化材では、放射性炭素年代測定によって 2290 ± 40 BP(曆年代でBC390~370年)の年代値が得られており(第2節参照)、上記の栽培植物の出土年代として重要と考えられる。

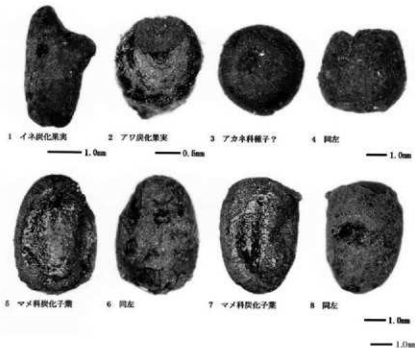
文献

- 笠原安夫(1985)日本雑草図説、義賢堂、494p.
笠原安夫(1988)作物および田畠雑草種類、弥生文化の研究第2巻生業、雄山閣出版、p.131?139.
南木謙彦(1991)栽培植物、古墳時代の研究第4巻生産と流通I、雄山閣出版株式会社、p.165?174.
南木謙彦(1992)低湿地遺跡の種実、月刊考古学ジャーナルNo.355、ニューサイエンス社、p.187?22.
南木謙彦(1993)葉・果実・種子、日本第四紀学会編、第四紀試料分析法、東京大学出版会、p.276?283.
吉崎昌一(1992)古代雑穀の検出、月刊考古学ジャーナルNo.355、ニューサイエンス社、p.2?14.

第29表 西莊原第2遺跡（三次調査）における種実同定結果

学名	分類群 和名	部位	S C I
			11.12層③～④
Herb	草本		
<i>Oryza sativa L.</i>	イネ	炭化果実	1
<i>Setaria italica Beauv.</i>	アワ	炭化果実	1
Leguminosae	マメ類	炭化子葉	2
Rubiaceae	アカネ科？	炭化種子	9
Total	合計		13

西莊原第2遺跡（三次調査）の種実



第4節 樹種同定

1. はじめに

木材は、セルロースを骨格とする本部細胞の集合体であり、解剖学的形質の特徴から樹種の同定が可能である。木材は花粉などの微化石と比較して移動性が少ないとことから、比較的近隣の森林植生の推定が可能であり、遺跡から出土したものについては木材の利用状況や流通を探る手がかりとなる。

2. 試料

試料は、三次調査SC1の11・12層から水洗選別によって採取された5点の炭化材（試料番号①～⑤）である。

3. 方法

試料を削折して、炭化材の新鮮な横断面（木口と同義）、放射断面（輻目と同義）、接線断面（板目と同義）の基本三断面の切片を作製し、落射顕微鏡によって50～1000倍で観察した。同定は、解剖学的形質および現生標本との対比によって行った。

4. 結果

表Iに結果を示し、主要な分類群の顕微鏡写真を示す。以下に同定根拠となった特徴を記す。

コナラ属クヌギ節 *Quercus sect. Aegilops* ブナ科 国版1

横断面：年輪のはじめに大型の道管が、1～2列配列する環孔材である。晚材部では厚壁で丸い小道管が、単独でおよそ放射方向に配列する。早材から晩材にかけて道管の径は急激に減少する。

放射断面：道管の穿孔は単穿孔で、放射組織は平伏細胞からなる。

接線断面：放射組織は同性放射組織型で、単列のものと大型の広放射組織からなる複合放射組織である。

以上の形質よりコナラ属クヌギ節に同定される。コナラ属クヌギ節にはクヌギ、アベマキなどがある。本州、四国、九州に分布する落葉の高木で、高さ15

m、径60cmに達する。材は強弱で弾力に富み、器具、農具などに用いられる。

コナラ属アカガシ亜属？ *Quercus subgen. Cyclobalanopsis*？ ブナ科

横断面：中型の道管が、放射方向に配列する。

放射断面：道管の穿孔は単穿孔で、放射組織は平伏細胞からなる。

接線断面：放射組織は同性放射組織型で、単列のものが存在する。

以上の形質よりコナラ属アカガシ亜属と思われるが、本試料は小片で道管および小道管の配列や広放射組織の有無などが観察できないため、同定には至らなかった。

クスノキ科 *Lauraceae*

横断面：中型から小型の道管が、単独および2～数個放射方向に複合して散在する散孔材である。道管の周囲を鞘状に柔細胞が取り囲んでいる。

放射断面：道管の穿孔は単穿孔のものが存在する。放射組織はほとんどが平伏細胞で上下の縁辺部のみ直立細胞からなる。

接線断面：放射組織は異性放射組織型で1～3細胞幅である。上下の縁辺部のみ直立細胞である。

以上の形質よりクスノキ科に同定される。クスノキ科には、クスノキ、ヤブニッケイ、タブノキ、カゴノキ、シロダモ属などがあり、道管径の大きさ、多孔穿孔および道管内壁のらせん肥厚の有無などで細分できるが、本試料は道管径以外の点が不明瞭なことから、クスノキ科の同定にとどめた。なお、本試料は道管径の大きさから、クスノキ以外のクスノキ科の樹種のいずれかである。

カマツカ属 *Phourthiae* パラ科 国版2

横断面：小型で丸い道管が、ほぼ単独で散在する散孔材である。

放射断面：道管の穿孔は単穿孔で、道管の内壁にはらせん肥厚が存在する。放射組織は異性である。

接線断面：放射組織は、異性放射組織型で、1～3細胞幅である。道管の内壁にはらせん肥厚が存在

する。

以上の形質よりカマツカ属に同定される。カマツカ属には、カマツカ、ケカマツカなどがある。本州、四国、九州に分布する落葉の低木または高木である。

アワブキ属 *Meliosma* アワブキ科 図版3

横断面：小型の道管が、単独ないしその複合部に1～2個の柔細胞をはさんで、放射方向にむかって2～4個複合して散在する散孔材である。

放射断面：道管の穿孔は階段穿孔板からなる多孔穿孔で、階段の数は少なく10本前後である。放射組織は異性である。

接線断面：放射組織は、異性放射組織型で1～4細胞幅である。

以上の形質よりアワブキ属に同定される。アワブキ属は本州、四国、九州に分布する落葉または常緑の小高木～高木である。

5. 所見

分析の結果、三次調査SC I の11・12層から水洗選

別によって採取された炭化材は、コナラ属クヌギ属、コナラ属アカガシ亜属？、クスノキ科、カマツカ属、アワブキ属と同定された。

このうち、コナラ属クヌギ属にはクヌギとアベマキがあり、温帯域に広く分布し、乾燥した台地や丘陵地に生育する。コナラ属アカガシ亜属は、一般にカシと総称されるが、イチイガシやアカガシなど多くの種があり、温帯下部の暖温帯の照葉樹林を形成する主要高木である。クスノキ科も温帯下部の温暖な暖温帯に分布し、照葉樹林の主要構成要素を含む常緑高木である。カマツカ属やアワブキ属は山野に生育し、温帯域に分布する。いずれも、当時の造林周辺で採取できる樹種であったと考えられる。

なお、SC I の同一層準から採取された炭化材では、放射性炭素年代測定によって 2290 ± 40 年BP(歴年代でBC390～370年)の年代値が得られている(第2節参照)。

文献

佐伯浩・原田浩(1985)広葉樹材の細胞、木材の構造、文永堂出版、p.49-100。

第30表 西陸原第2道路(三次調査)における樹種同定結果

試料	結果(学名/和名)
① <i>Quercus</i> sect. <i>Aeglops</i>	コナラ属クヌギ属
② <i>Phourthiaea</i>	カマツカ属
③ <i>Meliosma</i>	アワブキ属
④ <i>Lauraceae</i>	クスノキ科
⑤ <i>Quercus</i> subgen. <i>Cyclobalanopsis</i>	コナラ属アカガシ亜属

西地原第2層粘（三次調査）の炭化材



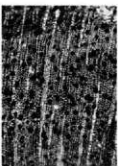
横断面 \longrightarrow : 0.4mm
1. ① コナラ属クヌギ類



放射断面 \longrightarrow : 0.2mm



接縫断面 \longrightarrow : 0.2mm



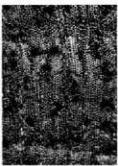
横断面 \longrightarrow : 0.4mm
2. ② カマツカ属



放射断面 \longrightarrow : 0.2mm



接縫断面 \longrightarrow : 0.2mm



横断面 \longrightarrow : 0.4mm
3. ③ アワブキ属



放射断面 \longrightarrow : 0.2mm



接縫断面 \longrightarrow : 0.4mm

第5節 植物珪酸体分析

1.はじめに

植物珪酸体は、植物の細胞内に珪酸 (SiO_4) が蓄積したものであり。植物が枯れたあともガラス質の微化石（プラント・オーバル）となって土壤中に半永久的に残っている。植物珪酸体分析は、この微化石を遺跡土壤などから検出して同定・定量する方法であり、イネをはじめとするイネ科栽培植物の同定および古植生・古環境の推定などに応用されている（杉山, 2000）。なお、テフラ（火山灰）の年代論については、新編火山灰アトラス（町田・新井, 2003）を参照した。

2. 試料

分析試料は、二次調査のSC1（陥し穴）とSC1横、および三次調査のSC1（陥し穴）、SC2（陥し穴）、SC5（陥し穴）、土層断面トレシチの6地点から採取された計39点である。試料採取箇所を分析結果の模式柱状図に示す。なお、三次調査の試料については調査担当者によって採取されたものである。

3. 分析結果

（1）分類群

分析試料から検出された植物珪酸体の分類群は以下のとおりである。これらの分類群について定量を行い、その結果を第31表、第32表および第102図～第105図に示した。主要な分類群について顕微鏡写真を示す。なお、イネ科栽培植物（イネ、ムギ類、ヒエ、アワ、キビなど）に由来する植物珪酸体は、いずれの試料からも検出されなかった。

【イネ科】

キビ族型、ヨシ属、シバ属、スキ属型（おもにスキ属）、ウシクサ族A（チガヤ属など）、ウシクサ族B（大型）、Aタイプ（くさび型）、Bタイプ【イネ科—タケ酢酸】

メダケ節型（メダケ属メダケ節・リュウキュウチク節、ヤダケ属）、ネザサ節型（おもにメダケ属ネザサ節）、クマザサ属型（クマザサ属チマザサ

節・チマキザサ節など）、ミヤコザサ節型（クマザサ属ミヤコザサ節など）、未分類等

【イネ科—その他】

表皮毛起源、棒状珪酸体（おもに結合組織細胞由来）、未分類等

【樹木】

その他

（2）植物珪酸体の検出状況

1) 二次調査、SC1横（第102図）

Vla層（試料1）からIX層（試料8）までの層準について分析を行った。その結果、AT層準のIX層（試料8）では、ミヤコザサ節型やイネ科（その他）が検出されたが、いずれも少量である。VII層（試料7）では、ミヤコザサ節型がやや増加しており、ウシクサ族Aが出現している。VII層（試料6）では、ミヤコザサ節型およびイネ科（その他）が大幅に増加している。VII層（試料3～5）では、キビ族型、スキ属型、ネザサ節型、クマザサ属型などが出現しており、ミヤコザサ節型は減少している。VII層（試料1、2）では、ヨシ属、シバ属、メダケ節型、樹木（その他）が出現している。樹木は一般に植物珪酸体の生産量が低いことから、少量が検出された場合でもかなり過大に評価する必要がある（杉山, 1999）。なお、すべての樹種で植物珪酸体が形成されるわけではなく、落葉樹では形成されないものも多い。おもな分類群の推定生産量によると、VII層ではミヤコザサ節型が優勢となっている。

2) 二次調査、SC1（第103図）

SC1（陥し穴）の埋土の1層（試料1）～11b層（試料12）およびその下位のX1層（試料14）について分析を行った。その結果、X1層（試料14）ではキビ族型、シバ属、ウシクサ族A、ミヤコザサ節型などが検出されたが、いずれも少量である。SC1の埋土の1層（試料1）～11b層（試料12）では、ほとんどの試料でミヤコザサ節型およびイネ科（その他）が多量に検出され、キビ族型、ウシクサ族A、クマザサ属型なども検出された。また、部分的にスキ属型、ネザサ節型、樹木（その他）なども検出

された。おもな分類群の推定生産量によると、ほとんどの試料でミヤコザサ節型が優勢となっている。

3) 三次調査、土層断面トレンチ1 (第104図)

IV層 (試料1) からXb層 (試料16) までの層序について分析を行った。その結果、Xb層 (試料14～16) では、イネ科 (その他) が多量に検出され、ウシクサ族A、イネ科Bタイプ、ミヤコザサ節型も検出された。また、部分的にキビ族、ヨシ属、シバ属、メダケ節型、ネザサ節型なども検出された。Xa層 (試料11～13) でも、おおむね同様の結果であるが、すべての試料からキビ族型が検出され、ヨシ属、シバ属、メダケ節型は見られなくなっている。また、試料11では樹木 (その他) が出現している。VII～IX層 (試料9、10) からV層 (試料8) にかけては、ミヤコザサ節型が増加しており、キビ族型、ウシクサ族A、ネザサ節型は見られなくなっている。Vib層 (試料6、7) では、キビ族型、ウシクサ族A、ネザサ節型が再び検出され、メダケ節型、クマザサ属型も出現している。Vla層 (試料4、5) では、スキ属型が出現し、ミヤコザサ節型は減少している。V層 (試料2、3) からIV層 (試料1) にかけては、メダケ節型やネザサ節型が大幅に増加している。おもな分類群の推定生産量によると、V層～VII～IX層ではおおむねミヤコザサ節型が優勢であり、IV層ではメダケ節型やネザサ節型が優勢となっている。

4) 三次調査、SC 1 (第105図)

陥し穴の埋土下部 (試料1) について分析を行った。その結果、ミヤコザサ節型やイネ科 (その他) が比較的多く検出され、キビ族型やウシクサ族Aも検出された。

5) 三次調査、SC 2 (第105図)

陥し穴の埋土下部 (試料3) と埋土底部 (試料4) について分析を行った。その結果、ミヤコザサ節型やイネ科 (その他) が多く検出され、キビ族型、ウシクサ族Aも検出された。また、試料4ではイネ科Bタイプやネザサ節型も検出された。

6) 三次調査、SC 5 (第105図)

陥し穴の埋土下部 (試料5) と埋土底部 (試料6) について分析を行った。その結果、埋土底部 (試料6) では、イネ科 (その他) が多量に検出され、ネザサ節型、ミヤコザサ節型も比較的多く検出された。また、シバ属、スキ属型、ウシクサ族A、イネ科Bタイプ、メダケ節型、クマザサ属型、樹木 (その他) も検出された。埋土下部 (試料5) では、ミヤコザサ節型が増加しており、キビ族型も出現している。

4. 考察

(1) 植物珪酸体分析から推定される植生と環境

始成Tn火山灰 (AT、約26,000～29,000年前) 直下のXa層およびその下位のXb層の堆積当時は、おもにクマザサ属ミヤコザサ節やウシクサ族などが生育するイネ科植生であり、部分的にキビ族、シバ属、ネザサ節なども生育していたと考えられる。また、Xb層の時期には部分的にヨシ属などが生育する湿地的なところも見られたと推定される。

クマザサ属ミヤコザサ節などの節類は森林の林床でも生育が可能であるが、キビ族やウシクサ族などのイネ科植物は陽当たりの悪い林床では生育が困難である。このことから、当時の遺跡周辺は森林で覆われたような状況ではなく、比較的開かれた環境であったと推定される。

また、キビ族にはヒエ属 (ヒエなど) やエノコログサ属 (アワなど) に近似したものが含まれており、これらの植物が何らかの形で利用されていた可能性も考えられる。これらの可食植物の利用については、考古学的所見とともにあわせて慎重に検討していく必要がある。

その後、ATの堆積によって当時の植生は一時的に破壊されたと考えられるが、AT直上のV層からその上位のVII層にかけては、クマザサ属ミヤコザサ節などの節類を主体としたイネ科植生が成立していたと推定される。クマザサ属は常緑であることから、大半の植物が落葉または枯死する秋から冬にかけてはシカなどの草食動物の重要な食物となっている (高樹、1992)。遺跡周辺にこれらの節類が豊富に

存在したことは、当時の動物相を考える上でも重要なことです。

タケヤ科のうち、メダケ属は温暖、クマザサ属は寒冷の指標とされており、メダケ率（両者の推定生産量の比率）の変遷は、地球規模の氷期～間氷期サイクルの変動と一致することが知られています（杉山、2001）。また、クマザサ属のうちチスマザサ節・チマキザサ節は積雪に対する適応性が高く、ミヤコザサ節は太平洋側の積雪の少ない比較的乾燥したところに分布している（室井、1960、鈴木、1978）。これらのことから、当時は積雪の少ない比較的寒冷で乾燥した環境であったと推定される。この寒冷期は、ATとの層位関係などから最終氷期の最寒冷期（酸素同位体ステージ2）に対比される。

また、メダケ率の変遷から、AT下位のXa層～Xb層の堆積當時は、AT上位のVb～Vc層の時期よりも相対的に温暖な気候であったと推定される。この温暖期は、最終氷期の暖間氷期（酸素同位体ステージ3）の一部に対比されると考えられる。

霧島小林軽石（Kr-Kb、約16,700年前）混のVla層～Vlb層の堆積當時は、クマザサ属ミヤコザサ節などの管類を主体としてススキ属やチガヤ属、キビ属なども生育するイネ科植生であったと考えられ、部分的にメダケ属（メダケ節、ネザサ節）も見られたと推定される。メダケ率の変遷から、当時は下位のVb層～Vc層の時期よりも相対的にやや温暖であったと考えられる。また、クマザサ属（チスマザサ節・チマキザサ節）が出現していることから、この時期に積雪量（降水量）が増加したことが示唆され、乾燥から湿润への環境変化があった可能性が考えられる。

その後、V層から鬼界アカホヤ火山灰（K-Ah、約7,300年前）直下のIV層にかけては、メダケ属（メダケ節・ネザサ節）を主体としてススキ属やチガヤ属、キビ属なども見られるイネ科植生に移行したと推定される。このような植生変化は、後氷期における気候暖化に対応していると考えられる。

花粉分析や植物珪酸体分析の結果から、九州南部では約7,500～8,500年前（未校正のC14年代値）までにはシイ林を中心とする照葉樹林が成立していた

と推定されている（松下、1992、杉山、1999など）、本遺跡ではK-Ah直下のIV層でも照葉樹起源の植物珪酸体が認められなかった。今後、周辺地域で同様の検討を行うことにより、照葉樹林の存在や分布拡大の様相が具体的に解明されるものと期待される。

（2）陥し穴の埋土について

1) 二次調査、SC 1

陥し穴の埋土の堆積当時は、クマザサ属ミヤコザサ節などの管類を主体としてキビ族、ウシクサ族、ネザサ節、クマザサ属（チスマザサ節・チマキザサ節）なども生育するイネ科植生であったと考えられ、埋土底部の堆積当時にはヨシ属、シバ属、および何らかの樹木も見られたと推定される。このような植生および植物珪酸体の組成や密度から、SC 1 の埋土（底部）はSC 1 横の土層断面のVla層に対比されると考えられる。

2) 三次調査、SC 1

陥し穴の埋土（底部）の堆積当時は、クマザサ属ミヤコザサ節やウシクサ族などが生育するイネ科植生であったと考えられ、ススキ属やネザサ節は見られなかったと推定される。土層断面トレンチ1の分析結果との比較では、植物珪酸体の組成や密度が整合する層準は認められなかった。

3) 三次調査、SC 2

陥し穴の埋土の堆積当時は、クマザサ属ミヤコザサ節などの管類を主体としてキビ族、ウシクサ族、メダケ属ネザサ節なども生育するイネ科植生であったと考えられ、ススキ属は見られなかったと推定される。このような植生および植物珪酸体の組成や密度から、SC 2 の埋土（底部）には土層断面トレンチ1のVtb層が主に含まれていると考えられる。

4) 三次調査、SC 5

陥し穴の埋土の堆積当時は、クマザサ属ミヤコザサ節などの管類を主体としてキビ族、シバ属、ススキ属、ウシクサ族、メダケ属ネザサ節なども生育す

るイネ科植生であったと考えられ、周辺には何らかの樹木が生育していたと推定される。このような植生および植物珪酸体の組成や密度から、SC 5 の埋土（底部）には上層断面トレンチ I のVla層が主に含まれていると考えられる。

5.まとめ

植物珪酸体分析の結果、霧島小林駿石（Kr-Kb、約16,700年前）のVla層・Vlb層の堆積当時は、クマザサ属・ミヤコザサ節などの箭薙を主体としてススキ属やチガヤ属、キビ族なども生育するイネ科植生であったと考えられ、部分的にメダケ属（メダケ節、ネザサ節）も見られたと推定される。メダケ属の変遷から、当時は下位のVII層～VII層の時期よりも相対的にやや温暖であったと考えられる。また、クマザサ属（シマザサ節・チマキザサ節）が出現していることから、この時期に乾燥から湿潤への環境変化があった可能性が考えられる。

植物珪酸体の組成や密度から、二次調査のSC 1（陥し穴）の埋土（底部）は、SC 1 横の土層断面のVla層に対比されると考えられる。また、三次調査のSC 2（陥し穴）の埋土（底部）には上層断面トレンチ I のVlb層、SC 5（陥し穴）の埋土（底部）にはVla層が主に含まれていると考えられる。

文献

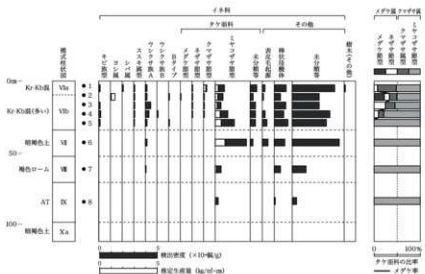
- 杉山真二（1987）タケ科植物の機動細胞珪酸体。富士竹類植物園報告。第31号, p.70-83.
- 杉山真二・松田隆二・藤原宏志（1988）機動細胞珪酸体の形態によるキビ族植物の同定とその応用—古代農耕追究のための基礎資料として—。考古学と自然科学, 20, p.81-92.
- 杉山真二（1999）植物珪酸体分析からみた九州南部の照葉樹林発達史。第四紀研究, 38(2), p.109-123.
- 杉山真二（2000）植物珪酸体（プラント・オバール）。考古学と植物学。同成社, p.189-213.
- 杉山真二（2001）テフラと植物珪酸体分析。月刊地球, 23, p.645-650.
- 鈴木直雄（1978）タケ科植物の概説。日本タケ科植物総目録。学習研究社, 25-45.
- 高橋成紀（1992）北に生きるシカたち—シカ、ササそして雪をめぐる生態学—。どうぶつ社。
- 藤原宏志（1976）プラント・オバール分析法の基礎的研究(I)—数種イネ科栽培植物の珪酸体標本と定量分析法—。考古学と自然科学, 9, p.15-29.
- 町田洋・新井房夫（2003）新編火山灰アトラス—日本列島とその周辺一。東京大学出版会, p.112.
- 松下まり子（1992）日本列島太平洋岸における完新世の照葉樹林発達史。第四紀研究, 31 (5), p.375-387.
- 室井幹（1960）竹林の生態を中心とした分布。富士竹類植物園報告, 5, p.103-121.

第31表 定規風、西村原第2種地(二次調査)における植物群集分析結果

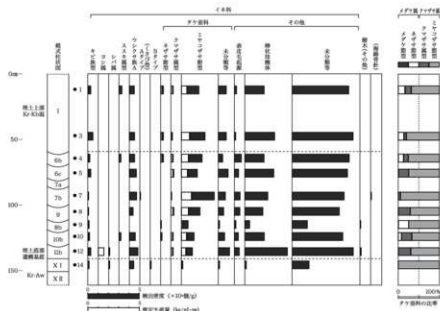
分類群	学名	地點・試験地														SCL	%
		1	3	4	5	7	8	9	10	12	14	1	2	3	4		
イネ科	Gramineae(Graes)																
キビサス型	Panicoid type	22	44	14	20	7	7	8	21	29	15	6	7	7	14	7	
ヨシ属	Phragmito(spread)																
ソバ属	Zosteria																
ススキ属	Miscanthus type	15	7							7	7	8	12	7	7	7	7
ススキ属	Aridopogonoid A type	44	51	34	47	52	29		43	72	30	31	30	47	36	22	21
ウシクツサ属	Aridopogonoid B type																8
アタイグリ(カズラ)	A type																7
アタイグリ(カズラ)	B type																7
タケモ科	Bambusoideae(Bamboo)																
タケモ属	Pleioblastus sect-Medake																
タケモ属	Pleioblastus sect-Nerassai	22	20														
タケモ属	Sasa sect-Miyakozasa	15	7	14	20												
ミヤコザ属	Sasa sect-Miyakozasa	68	218	189	142	310	168	53	14	94	15	74	60	47	108	109	296
ミヤコザ属	Others	66	65	27	88	59	44	8	50	94	8	56	15	33	29	22	14
その他のイネ科	Others																
真皮毛花属	Husk hair origin	22	7	61	34	62	44	6	28	50	10	7	14	29	42		
桜皮毛花属	Rod shaped	183	283	189	271	225	161	45	185	404	15	99	93	79	109	84	53
木の葉属	Others	541	574	540	522	494	439	135	476	572	159	365	231	226	325	283	37
葦木属	Afroteria																
その他	Others																
(種別合計)	Species																
統計的概要	Total	1096	1272	1094	146	126	921	270	944	1363	257	706	413	480	615	647	619
おもな分類群の絶対生産量(単位: kg/m ² ·cm)																	
おもな分類群																	
ヒシ属	Phragmito(spread)																
ススキ属	Miscanthus type	0.18		0.08													
タケモ属	Pleioblastus sect-Medake																
タケモ属	Pleioblastus sect-Nerassai	15	13	13													
タケモ属	Sasa sect-Miyakozasa	0.11	0.10	0.10	0.10	0.15	0.06	0.22	0.04	0.03	0.11	0.11	0.19	0.06	0.05	0.05	0.03
タケモ属	Sasa sect-Miyakozasa	0.50	0.65	0.57	0.43	0.93	0.50	0.36	0.34	0.28	0.05	0.22	0.18	0.14	0.32	0.48	0.08
タケモ属	Sasa sect-Miyakozasa	0.50	0.65	0.57	0.43	0.93	0.50	0.36	0.34	0.28	0.05	0.22	0.18	0.14	0.32	0.48	0.08
タケモ属	Others																
タケモ属	Total	1096	1272	1094	146	126	921	270	944	1363	257	706	413	480	615	647	619
おもな分類群の比率(%)																	
タケモ属	Pleioblastus sect-Medake																
タケモ属	Pleioblastus sect-Nerassai	15	13	13													
タケモ属	Sasa sect-Miyakozasa	15	7	13	26	6	30	19	7	7	10	25	8				
タケモ属	Sasa sect-Miyakozasa	70	80	74	74	94	70	81	71	72	80	53	50	55	79	100	100

第3表 寒地帯、西高東低2種類(三次調査)における植物群集の分析結果
検定値(単位: ×1000個/m²)

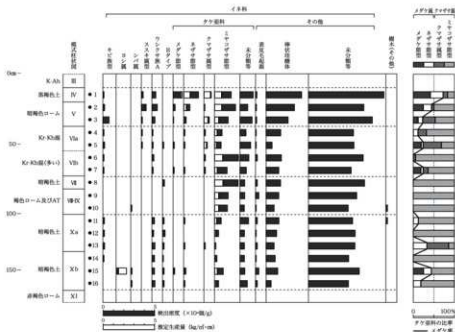
分類群	学名	地C-MH				SC1		SC2				SC5		LV-#1				LV-#2				
		1	3	4	5	6	1	2	3	4	5	6	7	8	9	10	11	12	13	14	15	16
イネ科	Gramineae(Gramineae)																					
キジカクシ科	Polygonaceae(Polygonaceae)	7	7	7	15	7	15	47	7	19	8	7			13	14	20	7	15	7	15	5
ヨシ科	Poaceae(Poaceae)																					
ツバキ科	Zygophyllaceae(Zygophyllaceae)																					
ススキ属	Miscanthus type																					
ウツクサ属	Anthrangium type	33	40	41	15	30	43	51	27	7	13	15	7		26	7	33	27	22	28		
リケイ科	Rileyaceae(Rileyaceae)																					
チドリ科	Bambusoideae(Bambusoideae)																					
メタセコイア科	Metasequoia sect.Metasequoia																					
メタセコイア属	Metasequoia(Metasequoia)																					
ツバキ科	Sassafras type																					
スダジイ科	Sassa sect.Sassa	60	86	130	223	67	43	15	41	7	25	8	7		6		7	7	15	5		
その他の科	Others	20	41	30	52	129	59	101	45	94	75	43	37	29	22	58	28	20	27	15	46	
その他の科	Others																					
表皮毛科	Hawk hair origin	7	13	7	30	34	7	14	7	6	15	44	7	13	7	20	7	30	19			
被子植物	Real object	26	20	75	104	134	337	264	203	127	44	136	99	124	102	59	92	53	68	96	37	
木本植物	Others	218	257	389	269	188	716	521	609	426	426	505	397	534	458	378	422	437	439	376	472	380
被子植物	Asteraceae																					
その他の科	Others																					
被子植物全体	Total	350	442	710	727	789	4661	1226	1204	703	702	995	673	144	749	7	6					
同じく分類別の確定生産量(単位: ha·m ² ·yr ⁻¹) : 種別別の生産量を1.0と仮定して算出																						
甘利園	Phragmitaceae(Phragmitaceae)																					
ススキ属	Miscanthus type	0.09	0.38	0.36	0.08	0.09	0.08															
メタセコイア科	Polygonaceae(Polygonaceae)	0.09	0.83	0.26	0.08	0.07	0.07															
メタセコイア属	Polygonum sect.Polygonum	0.03	0.11	0.25	0.65	0.25	0.10	0.04	0.03	0.03												
クマザサ属	Sauvagesia sect.Sauvagesia																					
クマザサ属	Sauvagesia(Sauvagesia)	0.18	0.26	0.39	0.67	0.20	0.45	0.57	0.39	0.18	0.15	0.07	0.30	0.66	0.35	0.31	0.08	0.02	0.06	0.20	0.07	
チドリ科	Pteridophytes sect.Pteridophytes																					
クマザサ属	Polygonatum sect.Polygonatum	8	14	42	29	21	11	13	7	7	11	43	7	11	17	31	20	24				
クマザサ属	Sasa sect.Sasa	9	14	9	35	23	100	66	34	93	64	100	100	100	100	100	100	100	100	56	76	
クマザサ属	Sasa sect.Miyakozasma	100	100	92	86	34	20	48	45													



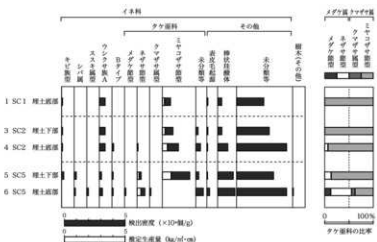
第102図 西鶴原第2道路（二次調査）、SC1標地点における植物珪酸体分析結果



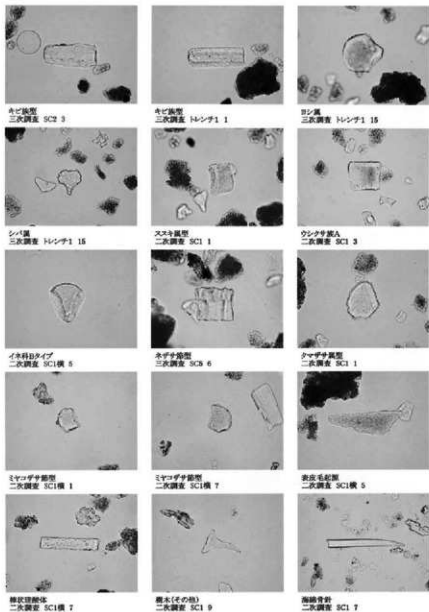
第103図 西鶴原第2道路（二次調査）、SC1における植物珪酸体分析結果



第104図 西畠原第2道跡（三次調査）、土層断面トレンチ1における植物珪酸体分析結果



第105図 西畠原第3道跡（三次調査）、SC1・SC2・SC3・SC5における植物珪酸体分析結果



植物宏观体(プラント・オバール)の顕微鏡写真

— 50 μm —

西畠原第2遺跡 自然科学分析試料採取地点

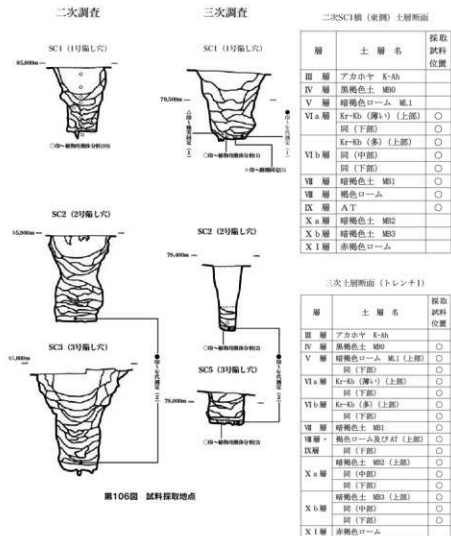


図106回 試料採取地点

第VIII章 まとめ

第1節 本遺跡のまとめ

今回の調査では、旧石器時代から縄文時代早期にかけての遺構・遺物を検出・出土した。この調査結果について、二次・三次調査区ごとにまとめたい。さらに、三次調査縮穴1号(SC1)および三次調査で確認した縄。隣接する道路と本道路の縁について少し述べてみたい。

1 二次調査区

遺構は、旧石器時代の石器ブロック2箇所と縄群2基、縮穴3基であった。また、縄文時代早期の遺物は、石器等が数点であった。出土した縄の数も極めて少ない。

第1文化層では、前述したように石器ブロックの接合関係からは、この2つのブロックはほぼ同時期の活動場所であったことが言えるであろう。また、確認された石器数に比して2割弱製品が含まれていることは特筆すべきであろう。ある程度の期間にこの地に留まつたかどうかは、この調査面積から断定はできない。だが、平成13年度に調査が終了している一次調査区でも、調査区東側境界付近で石器ブロックが確認されている。従って、その可能性も視野にいれる必要がある。

第II文化層では、縮穴が3基確認されている。確認された土層や形状・深さなどから縮穴と判断してよからうと思われる。3基はそれぞれ同時期につくられたのかどうかは明らかでない。SC1からは試料に耐えうる大きさの炭化材が採取できなかつたが、炭化物の放射性炭素年代測定結果（補正¹⁴C年代（年BP））では、SC2とSC3は比較的若い年代測定結果がでている。

従って、この時期調査区周辺は旧石器時代末期から縄文時代早期にかけて、狩猟的な空間であった可能性が高いのではないかと思われる。

2 三次調査区

(1) 旧石器時代（第I・II文化層）

A T降灰以前の時代には、縄群4基（A区1基、

B区3基）および、A区北部を中心東西約30m、南北約10m程度の散縄が確認された。縄群・散縄の合計は438個、遺物数は両文化層合計で95個である。

縄の赤化度は中赤化以上が重量で71%を占めることから、本遺跡では、火を使用した場所として捉えることは可能であろう。確認された遺物数からは、ある程度の期間または断続的に本遺跡で石器製作等が行われた可能性は低いと思われる。

なお、自然科学分析の結果から、第I・II文化層の時期は森林で覆われた状況ではなく、比較的開かれた環境であり、第III文化層の時期よりも相対的に温暖な気候であったと推定されている。

(2) 旧石器時代（第III文化層）

A T降灰以降Kr-Kb降灰以前の時代には、縄群3基（A区2基、B区1基）および、A区北部を中心東西約40m、南北約15m程度の散縄が確認された。縄群・散縄の合計は259個、遺物数は40個である。

縄の赤化度は中赤化以上が重量で6割弱を占めることから、本遺跡では、第I・II文化層同様、火を使用した場所として捉えることは可能であろう。確認された遺物数は、周辺の他遺跡と比べて極端に少ない。本遺跡では石器製作等はほとんど実施されなかつたと思われる。

(3) 旧石器時代（第IV文化層）

Kr-Kb降灰以降の時代には、土坑4基が確認されている。そのうち3基は、確認された土層や形状・深さなどから縮穴と判断してよからうと思われる。これらの縮穴は、長軸が谷部に平行に近い位置に立地していた。水際で水分を補給する動物をねらって用意したものと思われる。

このことは、植物珪酸体分析の結果から、A T上位のVI・VII層（第III文化層）よりもVIA～VIB層（第III文化層の一部及び第IV文化層）が相対的にやや温暖であったと考えられることとも関連があろう。

この文化層の遺物や縄は極めて少ない。本遺跡では、この時期には狩猟の場であった可能性があると

思われる。なお、陥し穴2号と3号の炭化物の放射性炭素年代測定結果（補正¹⁴C年代（年BP））では、年代差が3百年程度あるので、同時期にはつくられていないとみられる。

(4) 繩文時代早期

第IV文化層以降K-Ah層以前の時代には、集石遺構6基（A区4基、B区2基）、A区の焼土を伴う土坑1基および不明土坑3基が確認された。

確認されたすべての集石遺構には掘り込みが多く、焼土伴う土坑の底部に焼けた埋土が、また不明土坑SC4には炭化物が確認できた。B区北では集石遺構の周辺に約90点の繩文土器片（中原IV式、繩1式）が確認され、あわせて2基の集石遺構の周辺に1,100個あまりの小縄群が見られた。同区3箇所に炭化物のみの確認箇所があり、また両区から石器22点をはじめ、石器が60点出土した。

A区の集石遺構にはしっかりとつくりのものも一部見られるが、ほかはそれほどでもなく、B区では周囲の小縄で間に合わせにつくったと思われる粗末なものである。このことは、北に隣接する西野原第1遺跡のこの時期における集石遺構の縄の大きさ（小縄）からも様相を伺うことができる。

したがって、それほど長い期間に滞在した可能性は高くないと思われる。時期によっては、狩場的な場所であった可能性も否定できない。

(5) 地形的な面から見た本遺跡の特徴

本遺跡の遺構は、調査区北境界にある湧水地と調査区の西東にのびる谷の間、特に尾根を中心に、集石遺構6基、縄群7基、焼土を伴う土坑1基、陥し穴3基、不明土坑4基を確認している（第6図参照）。

本遺跡の尾根を中心に活動が展開されたと考えられ、遺構に伴う遺物数は多くなく、それほど長い期間に滞在した可能性は高くないと思われる。

本遺跡のA区北部に縄が集中していたが、前述した集石遺構8～10の東壁断崖のKr-Iw層より幾分下層では縄層が確認できた。この地では身近に多くの縄が存在したと考えられる。

したがって、水害を意識して、尾根を活動場所として選び、A区を中心に存在した多くの縄を活用することで、一時的なキャンプ地になっていたと推定

される。

3 三次調査陥し穴1号（SC1）について

前述したように、陥し穴1号の炭化物の放射性炭素年代測定結果（補正¹⁴C年代）は、2,290±40年BPを示した。また、底部土層から採取した炭化種実の種実同定では、炭化米、アワ、マメ科と同定された。同様に、底部土層から採取した炭化材を樹種同定した結果、コナラ属クタギ節、コナラ属アカガシシキノキなど温帯下部の暖温帯の照葉樹林を形成する主要高木と同定された。さらに、底部土層から採取した埋土の植物珪酸体分析では、土層断面トレンドとの比較による植物珪酸体の組成や密度が整合する層準は認められなかった。このことは、陥し穴というより弥生時代の貯蔵穴の可能性を示唆している。

しかしながら、SC1は以下の理由から貯蔵穴とは考えにくいと思われる。

(1) 植出面はKr-Kb（Vb層）である。

SC1は、K-Ah面では確認できず、VI層面に達したとき確認することができた。また、平成14年度にK-Ah層以降の文化層が調査された際のK-Ah上面で空中写真撮影でも土坑は確認できなかった。

(2) 大きさや形状から、陥し穴の可能性が高い。

前述したように、陥し穴1号の形状（大きさや深さなど）は、貯蔵穴とは考えにくい。また、杭痕と考えられる小穴が4つ確認されている。

(3) 底部に一定の伏流水が存在する。

前述したように、SC1の底部付近は常に一定の伏流水があり、5m以内にある谷部に向けて流れていると推定される。仮に貯蔵穴だったとしても、常に伏流水が溜まりがちな穴に保存することは有用ではないと考える。

(4) K-Ah上層で弥生時代の住居が近接していた。

SC1の北東には、平成14年度の調査でK-Ah上層で弥生時代の住居が3基確認されている。

以上のことから、何らかの理由で弥生期の種子などがこのSC1（陥し穴1号）に紛れ込んだ可能性があると思われる。

4 三次調査で確認した礎について(第33・34表)

本遺跡では、総量751,343.7gに及ぶ礎を確認した。この礎について以下の点を確認した。

(1) 石材について

本遺跡ではどの時代においても、尾鉛酸性岩、砂岩、ホルンフェルスが主たる石材である。時代とともに個数・重量とも増加する砂岩に対し、尾鉛酸性岩は、減少していく。ホルンフェルスは旧石器時代に増加傾向にあったが、縄文時代早期には減少に転じている。

(2) 平均重量と完形率

本遺跡の礎平均重量は、第Ⅰ文化層1,282.1g→第Ⅱ文化層731.1g→第Ⅲ・Ⅳ文化層469.2g→縄文時代早期59.4gと大幅に小礎化し、縄文時代早期においては旧石器時代第Ⅰ文化層平均の約1/22になっている。小礎化は、特に尾鉛酸性岩、次いでホルンフェルスが際立つ。縄文時代早期においては、96%の礎が40%未満の完形率となっている。

(3) 赤化率と赤化した礎の重量

中程度以上（5割以上の赤化が見られる）の礎の赤化率は、第Ⅰ文化層51.4%→第Ⅱ文化層41.7%→第Ⅲ・Ⅳ文化層52.9%→縄文時代早期38.8%で、平均でも41.0%で過半数を超えない。

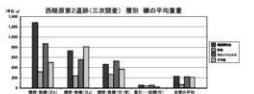
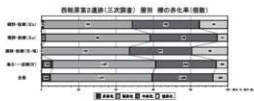
しかし、中程度以上赤化した礎の重量で比較すると、第Ⅰ文化層71.0%→第Ⅱ文化層58.4%→第Ⅲ・Ⅳ文化層52.0%→縄文時代早期60.5%となり、どの時代も過半数を超える。

(4) 黒色付着物

全体でも5%足らずの確認数である。ただ、Ⅳ層については、個数割合は5%であるが、重量の割合では26,296gを量り、17.1%に達する。

以上のことから、使用する礎は時代とともに軽量化したと思われる。ただし、礎の軽量化は度重なる使用頻度や、礎の採取地と使用場所との物理的な距離などの条件にもよるであろう。また、調理施設として有効な熱効率を期待するのであれば極力平たい完形礎を使用する可能性があるであろうから一概には言えない。

本遺跡の南西部に位置する上新開遺跡では掘り込



第33表 三次調査 種の石材・赤化率

(3) Kr-Kb下位礫群の構成

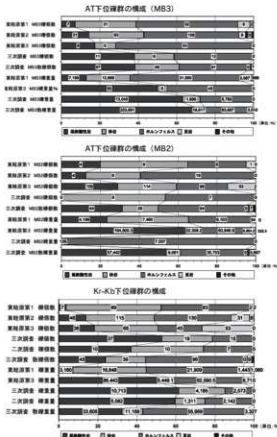
Kr-Kb下位の礫群は、個数割合では三次調査の尾鉢酸性岩の割合が最も高い。が、重量で見た場合は東畦原第3道跡も本道跡も大して変わらない。南下するほど尾鉢酸性岩の割合は高くなる傾向は同様である。ただし、時代とともに、尾鉢酸性岩の割合は減る傾向にある。

礫1個あたりの重量では、東畦原第1道跡241.6g、東畦原第2道跡189g、西畦原第2道跡250g、東畦原第3道跡820gである。

東畦原第3道跡の平均重量が他の4倍以上あるの

は、巨礫の礫群が1基あるためで、巨礫の礫群を除いた同道跡の礫平均は191.7gとなり、他とさほど変わらない。概ね同程度の大きさの礫が使用されていたといえよう。

以上のことから、周辺道跡との比較をしてもやはり使用する礫は時代とともに軽量化していることがわかる。やはり、巨礫では使用場所までの運搬が困難であるし、熱効率をある程度期待できかつ運搬しやすい礫の大きさがこのような結果になったと思われる。



第35表 隣接する道跡と本道跡の礫構成

第2節 高鍋町・新富町検出の陥し穴

1はじめに

東九州自動車道(都農～西都間)建設に伴う埋蔵文化財発掘調査により、高鍋町や新富町で多くの陥し穴が確認された。これらの陥し穴については、平成15年度から報告書にも掲載されるようになった。そこで、現在までに確認した各道路の調査結果をもとに、少し広い視点に立って、陥し穴の特徴や傾向、つくられた時代などについて報告・提案したい。

2高鍋町・新富町で検出された陥し穴の特徴

陥し穴の特徴については、松尾有年氏が次のようにまとめている。

- ①底に小さな穴がある。
 - ②平面の形は円形、楕円形、方形、長方形。
 - ③断面の形は、箱状、台形状、逆フラスコ状。
 - ④穴の中に遺物があまり見られない。
 - ⑤ある程度の深さを持つ。
- (「宮崎県の陥し穴のうつりかわり」2004.3調査報告会より)

これらの諸条件を比較するべく、今までに確認された45の陥し穴について検出面や大きさ、底部施設等をまとめた(第36表)。以下、いくつかの視点に沿って述べていきたい。

陥し穴の規模(第107図)

高鍋町と新富町との確認された陥し穴の大きさを比較すると以下の通りである(平均値:m)。

長軸 1.606(高鍋町) 1.314(新富町)

短軸 1.075(高鍋町) 1.040(新富町)

深さ 1.687(高鍋町) 1.193(新富町)

※高鍋町(下耳切3～牧内2までの道路)

新富町(音明寺1～向原1までの道路)

このように、高鍋町で確認された陥し穴のほうが平均して大きく、深いことがわかる。

実は、新富町の陥し穴は本道路の北と南では様相が違う。

新富町北(音明寺1～西鞋原2までの道路)

新富町南(上新開～向原1までの道路)

長軸 1.28(新富町北) 1.34(新富町南)

短軸 1.025(新富町北) 1.078(新富町南)

深さ 1.5(新富町北) 0.91(新富町南)

高鍋町で確認された陥し穴の大きさや深さには及ばないものの、新富町北では深さが平均1.5mに達する。一方、新富町南の陥し穴は長軸は4cm長く、深さは1mに達しない。

床面の形と底部施設

床面の形は、多い順に楕円形(21)、円形(12)、隅丸長方形(11)、長方形(4)である。円形は新富町のみで、特に新富町南では13基中8基を占める。新富町で確認された25基中12基は円形である。

底部施設については、高鍋町4基、新富町北6基、新富町南7基で確認された。杭柱は15基、道具痕は2基である。新富町で確認されたものがほとんどである。

底部埋土

陥し穴を調査する場合、遺物の混入がほとんど考えられないため、土層がどんな埋土から構成されているのかを明らかすることは極めて重要である。しかも陥し穴がつくられた時期を特定する可能性を持つのが底部の埋土である。

底部埋土は、どの深さまで掘ったのかによっても構成する埋土が違ってくる。が、一般的に黒色、黒褐色、暗褐色、褐色などが多い。少ないものでは、灰黄褐色、黄褐色、暗灰褐色、灰黄褐色。オリーブ褐色。にぶい黄褐色などがあげられる。黄色が強い底部埋土の場合、Kr-Iw下位の粘土層に達している場合が多い。

AT下面からの深さ(第108図)

陥し穴の深さとは別に、AT降灰以前の土層にどのくらい掘り込まれていたかを確認することも確認された時期について考察する際の一つの手がかりとなるのでは考える。ただ、陥し穴を調査した際に、ATの堆積が確認困難またはまったく見られない場合、調査時に掘り込まれた土層まで記載していない例などもあったので28基(高鍋町15基、新富町13基)のみの考察になる。

ただし、高鍋町・新富町に底部がAT途中までまたはAT下位までのものが計3基あったのでこれは除いてAT降灰下面からの深さの平均を算出した。

新富町・高崎町で確認された陥し穴 (東九州自動車道 (鹿児島-西都原) 構造に伴う発掘調査結果)

測量 標 名	番号	長軸 (m)	短軸 (m)	深さ (m)	表面の形	底面の形	底面地質	底 部 墓 土 等	ATT下からの深さ (m)	検出面
下富町原3	1	1. 6.2	0. 9.4	1. 5.1	楕丸長方形	楕丸1.1	粘性のある黄色土、黑色土	不明	Kr - Eb	
	2	1. 5.0	0. 9.2	1. 5.8	楕円形	楕丸2	不明	不明	Kr - Eb	
	3	2. 3.6	1. 7.6	1. 3.8	楕丸長方形	楕丸1.6	黑色または灰黑色帶、粘性	0. 2.7 (MB2)	MB2	
北今牧5	4	1. 7	0. 9	2. 2	楕丸長方形	床はイボコシ	不明	(0~1w)	Kr - Eb	
	5	1. 5	1. 0	1. 0	楕円形	床はA.T	0	(AT)	Kr - Eb	
	6	1. 8.6	1. 5	1. 9.2	楕円形	黑色土、砂粒、砾石	1. 3.5 (Kr-Eb)	Kr - Eb		
鹿木戸1 (一区)	7	1. 4.1	0. 9.6	0. 7.2	楕円形	楕丸5	黑色色、砂粒	0. 1.8 (MB2)	Kr - Eb	
	8	1. 3.8	1. 1.3	1. 4.1	楕円形	黑色土、砂粒質、砾石	0. 0.9 (MB4)	Kr - Eb		
	9	1. 2.9	0. 9.6	2. 2.8	楕丸長方形	灰黄色地、非塑性地質	0. 9 (Kr-Eb)	Kr - Eb		
鹿木戸1 (二区)	10	1. 0.5	0. 6.9	1. 9.5	楕円形	黄色地、砂粒の混じる粘土	1. 3.5 (MB4)	Kr - Eb		
	11	1. 7.1	1. 0.8	2. 2.2	楕円形	灰褐色、砂質、粘性	1. 5.6 (Kr-Eb)	Kr - Eb		
	12	1. 8.3	1. 2.6	2. 1	楕円形	黑色、光沢があり軟質	1. 5. (褐色土)	Kr - Eb		
鹿木戸2	13	2. 0.1	1. 1.7	2. 2	楕円形	灰褐色、硬質	1. 7.1 (褐色土)	Kr - Eb		
	14	1. 4.1	0. 9.9	1. 9.2	楕円形	黑色、光沢のある軟質土	1. 4.7 (褐色土)	Kr - Eb		
	15	2. 1.6	1. 3.2	2. 3	楕丸長方形	黑色、硬質で光沢	1. 4.5 (Kr-Eb)	Kr - Eb		
鹿木戸2	16	1. 3.1	0. 7.3	1. 0.9	楕丸長方形	黑色地質、水分含、A.T	0. 2.6 (MB2)	Kr - Eb		
	17	1. 4.	0. 7.3	1. 1.4	楕丸長方形	暗灰黄色の粘質土、水分含	0. 4 (MB2)	Kr - Eb		
鹿木戸3	18	1. 6.1	1. 2	2. 3	楕丸長方形	灰褐色地、粘性	不明	Kr - Eb		
鹿木戸4	19	1. 4.2	0. 8.7	0. 8.7	楕丸長方形	暗褐色地質土、極めて硬い	Kr - Eb 以下2層厚	Kr - Eb		
和2	20	1. 5.8	1. 3.2	1. 6.4	楕円形	不明	1. 2 (褐色土)	Kr - Eb		

新富町 (E)

田明寺1	21	1. 1.4	1. 0.5	1. 3.2	楕円形	楕丸2	暗褐色細粒土、砂色	1. 1.2 (MB4)	Kr - Eb		
田明寺2	22	1. 5.4	1. 4.4	1. 0.5	円形	黒褐色、やや堅土質	不明	Kr - Eb			
田明寺2	23	1. 3.7	0. 9.2	1. 3.8	楕円形	暗褐色地質土、A.T	0. 6.8 (MB4)	Kr - Eb			
家原原1 (一区)	24	1. 3.1	1. 2.2	1. 7.2	円形	黑色、ロツカ地質土含	1. 1.5 (褐色土)	Kr - Eb			
家原原2 (一区)	25	0. 9.5	0. 8.4	1. 2.3	円形	黑色、軟質	不明	Kr - Eb			
西崎原1 (一区)	26	1. 4.4	1. 2.7	1. 8.8	楕円形	黑色、軟質	1. 2.6 (褐色土)	KR - Eb			
西崎原2 (二区)	27	1. 1	0. 8.5	1. 5.7	円形	楕丸1	褐色土、斑状、砂の塊含	0. 8 (MB3)	Kr - Eb		
西崎原2 (二区)	28	1. 2.7	0. 9.9	1. 9	楕丸長方形	黒褐色、やや堅土質、A.T	1. 1.1 (Kr-Eb)	Kr - Eb			
西崎原2 (二区)	29	2. 0	1. 0.6	2. 3.1	楕円形	楕丸4	黒褐色、強粘土質、水分	1. 5 (褐色土)	Kr - Eb		

新富町 (F)

田明寺2 (二区)	30	1. 5	1. 3.5	1. 5.4	楕円形	楕丸4	赤褐色、細粒、水分	1. 2.6 (褐色土)	Kr - Eb	
田明寺2 (二区)	31	1. 0.7	0. 6.4	1. 3.9	楕円形	にじむ、黒褐色、やや堅土	1. 3.7 (褐色土)	Kr - Eb		
田明寺2 (二区)	32	0. 8.1	0. 6.7	0. 7.1	楕円形	濃黒土	にじむ、黒褐色の細粒、粘性	1. 0.1 (Kr-Eb)	MB 2	

新富町 (G)

上新開	33	0. 8.8	0. 6.2	1. 0.4	楕円形	楕丸2	黒褐色、硬質	0. 5.6 (褐色土)	Kr - Eb	
鶴大寺	34	1. 3.2	0. 9.1	1. 0.3	楕円形	楕丸2	鰐化、砂質	不明	Kr - Eb	
鶴大寺	35	1. 2.4	1. 0.3	0. 9.9	円形	楕丸9?	黒褐色、やや堅土	不明	Kr - Eb	
尾小原 (一区)	36	1. 9.3	1. 3.9	1. 0.7	楕丸長方形	楕丸1.2	黒褐色、硬質	不明	Kr - Eb	
尾小原 (一区)	37	1. 0.6	0. 9.7	0. 9	円形	黒褐色、A.T (細粒)	不明	Kr - Eb		
尾小原 (一区)	38	1. 2.7	1. 1.5	0. 8.6	円形	黒褐色、硬質	0. 2 (MB3)	Kr - Eb		
尾小原 (一区)	39	1. 4.1	1. 1	0. 8.6	円形	黒褐色地	不明	Kr - Eb		
尾小原 (一区)	40	1. 5.3	1. 1	0. 7.3	楕円形	黒褐色、粘質	不明	Kr - Eb		
尾小原 (二区)	41	1. 1.9	1. 1.2	0. 8.1	円形	楕丸1	黒褐色、硬質	不明	Kr - Eb	
尾小原 (二区)	42	1. 2.9	1. 2.5	0. 8.9	円形	楕丸1.2	黒褐色、硬質	不明	Kr - Eb	
尾小原 (二区)	43	1. 2.1	1. 0.1	0. 9.2	円形	楕丸1.2	黒褐色、硬質	不明	Kr - Eb	
向原1	44	1. 3.2	1. 1.6	0. 9.5	円形	楕丸1.7	黒褐色、硬質、砾石	0 (AT層の最下部)	Kr - Eb	
向原1	45	1. 8	1. 3	0. 7.8	楕円形	不明	不明	Kr - Eb		
高崎・新富の平均		1. 4.44	1. 0.54	1. 4.12				1. 0.21 / 26基		
高崎町の平均		1. 6.08	1. 0.75	1. 6.87				1. 0.37 / 34基		
新富町の平均		1. 3.14	1. 0.40	1. 1.93				1. 0.02 / 12基		
新富町北の平均		1. 2.80	1. 0.25	1. 5.00				1. 1.28 / 10基		
新富町南の平均		1. 3.40	1. 0.78	0. 9.10				0. 3.80 / 2基		

(注) 検出面 陥し穴を見つめた層のこと

Kr - Eb 小顆粒石を含む褐色土層。小顆粒石とは、約 10,000 倍に縮退したときの火山灰を含む褐色土層のこと。

ML 1 小顆粒石を含む褐色土層より上位にある暗褐色色のローム層のこと。やや堅い。

MB 1 小顆粒石を含む褐色土層より下位にある暗褐色色のローム層のこと。柔らかい。

A.T 沖カクルニア (奥在の瀬戸内) の塊状の塊状構造を示す。新富町では、断面によって 30 cm 間隔で確認している場合もある。

MB 2 A.T より下位にある暗褐色ローム層。白色の堅密な土を含み、弱に削れやすく、硬くしまっている。

第36表 新富町・高崎町で確認された陥し穴



図107図 陥れ穴の種類と特徴 (S=1/160)

陥れ穴のAT下面からの分類 (28基)

深さ	基数	割合
0~0.49	7	2.5%
0.5~0.99	5	1.8%
1.0~1.49	12	4.3%
1.5m以上	4	1.4%



図108図 陥れ穴のAT下面からの分類 (S=1/160)

その結果は以下の通りである。

高鍋町(14基)	1.037m
新富町(12基)	1.002m
新富町北(10基)	1.126m
新富町南(2基)	0.380m

この結果からみると、陥し穴の規模では高鍋町の陥し穴は大きいのであるが、AT下面からの深さに限ればそれほど差があるわけではない。新富町北の陥し穴は、むしろ高鍋町のものより若干深いことがわかる。ただし、各上層の堆積状況(厚さ)はそれぞれの遺跡により、同一ではないので断定することはできない。

3 陥し穴の使われた時代の手がかり

(1) 西咲原第2遺跡(二次・三次)の陥し穴

本遺跡で確認された6基の陥し穴については以下のようなことが確認された。

- ① 底部付近の埋土に含まれる遺物なし
- ② 埋土の火山灰-Kr-Kb(三次3号以外の5基)
 - AT, Kr-Aw(6基とも含む)
 - Kr-Iw(二次1号以外の5基)
- ③ 検出面 三次3号はMB2、他はKr-Kb
- ④ 植物珪酸体分析
 - 二次1号(SC1) - 基本上層Vla層を主に含む
 - 三次1号(SC1) - 基本上層に整合する層準なし
 - 三次2号(SC2) - 基本上層Vlb層を主に含む
 - 三次3号(SC5) - 基本上層Vla層を主に含む
- ⑤ 放射性炭素年代測定(補正¹⁴C年代)
 - 二次2号(SC2) - 11420±60年BP
 - 二次3号(SC3) - 11510±40年BP
 - 三次1号(SC1) - 2290±40年BP
 - 三次2号(SC2) - 13350±60年BP
 - 三次3号(SC5) - 13000±70年BP

⑥ 底部施設

- 二次1号(SC1) - 杭傾1
- 二次2号(SC2) - 道具痕
- 二次3号(SC3) - 杭傾4
- 三次1号(SC1) - 杭傾4
- 三次2号(SC2) - なし(不明)
- 三次3号(SC5) - 道具痕

⑦ AT下面からの深さ

二次1号(SC1)	- 0. 80m
二次2号(SC2)	- 1. 11m
二次3号(SC3)	- 1. 50m
三次1号(SC1)	- 1. 26m
三次2号(SC2)	- 1. 37m
三次3号(SC5)	- 1. 01m

SC5の検出面はMB2である。隣接する土層断面から数値を推定した。

これらの7つの要素を総合的に判断した結果、本遺跡で検出された陥し穴6基は旧石器時代終末期ころにつくられ活用されたのではないかと推定した。

(2) 高鍋町・新富町の陥し穴(第108回)

本遺跡以外の陥し穴の使われた時期の特定は極めて困難である。収集した陥し穴の図面と担当調査員への検出状況聴取にとどまっているからである。

しかしながら、前述した「AT下面からの深さ」に注目してみると推定の可能性が伺われるよう思う。

① 「AT下面からの深さ」から推定されること

第108回では確認できた28基のうち、22基を掲載した。AT下面からの深さは機械的に0.5mごとに割り振った。この4グループの陥し穴の底部と接する上層は以下の通りである(第7回 基本上層図参照)。

深さ0~0.49m	AT2基	MB2 3基	砂礫層 1基
0.5~0.99m	ML3 1基	ML4 3基	
1.0~1.49m	Kr-Iw 4基	褐色土(粘土層) 5基	
1.5m以上	Kr-Iw 1基	褐色土(粘土層) 3基	

この結果から、これらを3つのグループに分けることが可能ではないか考える。

I 深さ0~0.49mで ATまたはMB2・砂礫層まで
※砂礫層-この遺跡ではATより下は砂礫層で
あった。

II 深さ0.5~0.99mで ML3 またはML4まで

III 深さ1.0m以上で Kr-Iwまたは褐色土(粘土層)まで

これらの陥し穴を掘った人々は、少なくともこの3グループの上層まで掘ることを一つの目安としていたのか、たまたま偶然なのは不明である。現在私たちが手作業で掘り出すのも極めて困難な作業である。ましてや道具のほとんどない時代にこれだけの穴を掘り下げた先人達に心からの敬意を払いたい。

② 陥し穴の使われた時代(仮説)

高鍋町唐木戸第1(一次)遺跡では、本遺跡と同様に陥し穴底部埋土の植物珪酸体分析を実施している。この陥し穴は第107回の唐木戸第1(一次)の①と同②にあたる。その結果は以下の通りである。

唐木戸第1(一次)①—基本土層IV層を主に含む
唐木戸第1(一次)②—基本土層V a層を主に含む

唐木戸第1(一次)の基本土層IV・V aは、本遺跡のV・VIaに相当する(第37表参照)。

前述した3つのグループに本遺跡と唐木戸第1遺跡(一次)の結果をあてはめると以下のような仮説ができる。

グループI一本遺跡V層に相当する時期またはそれ以降の時期

グループII一本遺跡VIaに相当する時期

グループIII一本遺跡VIaまたはVIbに相当する時期

これはあくまで「AT下面からの深さ」と植物珪酸体分析結果をもとにしたものである。それぞれの遺跡により、埋土の堆積状況も違うであろうからあくまで仮説である。

この仮説からは、最も浅いグループIは縄文時代早期またはそれ以降の陥し穴ということになる。陥し穴として使用するために少なくともある程度の必要な深さがあったであろうから、時代とともに浅くなる傾向になるのは当然のことかもしれない。

この仮説の問題点は、本遺跡と唐木戸第1遺跡(一次)の遺跡間の距離や遺跡の立地する地形などによる植生相違の可能性を考慮していないことである。2遺跡は直線距離で約3.9kmの位置にある。

そこで、土層の植物珪酸体分析を実施した遺跡のうち、本遺跡の上層と比較可能な6遺跡(第109図)の分析結果について第38表に示した。この結果から以下のことが推定できよう。

I 遺跡の立地条件により一部相違点もあるが、当時の植生についてそれほどの違いは認められない。

II 各層の植生の主な特徴

VII層: クマザサ属(おもにミヤコザサ節)を主体

VI層: クマザサ属(おもにミヤコザサ節)を主体

V層: クマザサ属(おもにミヤコザサ節)またはクマザサ属(チシマザサ節、チマキザサ節)を主体、尾小原遺跡のみメダケ属(メダケ節やネザサ節)を主体

IV層: メダケ属(メダケ節やネザサ節)を主体

これらの結果から、本遺跡周辺の当時の植生には遺跡間の距離や遺跡の立地する地形などによる大きな違いは認められない。したがって、各層の時期における本遺跡と唐木戸第1遺跡(一次)間の植生にはある程度の妥当性があると言えよう。今後の発掘調査において陥し穴の検出がある程度の基準に達する場合には、有効な視点の一つになるかもしれない。

なお、唐木戸第1遺跡をはじめ陥し穴が確認された遺跡の位置を示す資料として平成16年度埋蔵文化財講座で使用した「新富町・高鍋町で見つかった主な陥し穴と集石遺構」(第110図)と平成15年度本遺跡(三次)の現地説明会資料(第111図)を掲載したので参考にしていただければ幸いである。

【参考文献】

「自然科学分析調査報告書」(唐木戸第1遺跡(一次調査)、牧内第4遺跡(二次調査)、吉明寺第2遺跡(二次調査)、東莊原第2遺跡、西莊原第1遺跡、尾小原遺跡)

地名・遺跡名	標本名	検出状況
西勝原第2(二回) W2-1(手取川)	Vtg-基	マダラ属とリヤマサ属などの根茎を主としてキビ類、ウンカ草、ナシバ属、クサザエ属、(クレマツサ属・クサキサ属)などを検出。
西勝原第2(二回) W2-2(手取川)	植物付着 Vtg-基	根茎類(リヤマサ属、シソ属、アヒルの子根本セイタウ)
西勝原第2(二回) W2-3(手取川)	植物付着 Vtg-基	根茎類(リヤマサ属とマダラ属の根やシラサギなど)を検出。スズキ属、セイタウ属(セイタウ)を検出。
西勝原第2(二回) W2-4(手取川)	植物付着 Vtg-基	根茎類(リヤマサ属)を検出。マダラ属などの根茎を主体としてキビ類、アヒルの子根本セイタウ、シソ属などを検出。
西勝原第2(二回) W2-5(手取川)	植物付着 Vtg-基	根茎類(リヤマサ属)を検出。アヒルの子根本セイタウを検出。シソ属、シヌマ属、クサザエ属、メダガ属などの根や葉を検出。
西勝原第1(一回) W1-1	植物付着 Vtg-基	マダラ属(リヤマサ属)を検出。根茎類(スズキ属など)を検出。
西勝原第1(一回) W1-2	植物付着 Vtg-基	マダラ属(リヤマサ属)を検出。根茎類を主としてキビ類(ウンカ

第37表 西勝原第2遺跡(二次・三次)と西勝原第1遺跡(一次)の階級六堆土の植物珪酸体分析結果

- 1 堀木戸第1遺跡(一次)
- 2 牧内第1遺跡(四次)
- 3 青明寺第1遺跡(二次)
- 4 東野原第2遺跡(一次・二次)
- 5 西野原第1遺跡
- 6 尾小原遺跡(一回)
- 7 西野原第2遺跡(三次)
- 8 西野原第2遺跡(二次)

遺跡名	本遺跡から の距離(距離)	西勝原第2遺跡 に隣接する	検出状況
堀木戸第1 W1-1(手取川)	北東～3.5km	W1-2	マダラ属(リヤマサ属)を主として、スズキ属、ナシバ属、シソ属、メダガ属(メダガ属のホウサク)など
牧内第1 W1-2(手取川)	北東～2.5km	W1-1	マダラ属(リヤマサ属)を検出。
西野原第1 W2-1(手取川)	北東～1.5km	W2-2	マダラ属(リヤマサ属)を主として、スズキ属(シソ属)、シヌマ属などを検出。一方でシヌマ属(シヌマ属のトコロハムカ)を検出。
西野原第1 W2-2(手取川)	北東～1.5km	W2-1	マダラ属(リヤマサ属)を主として、シヌマ属(シヌマ属のトコロハムカ)を検出。
西野原第1 W2-3(手取川)	北東～1.5km	W2-4	マダラ属(リヤマサ属)を主として、スズキ属(シヌマ属のトコロハムカ)を検出。
西野原第1 W2-4(手取川)	北東～1.5km	W2-5	マダラ属(リヤマサ属)を主として、スズキ属(シヌマ属のトコロハムカ)を検出。
西野原第1 W2-5(手取川)	北東～1.5km	W2-1	マダラ属(リヤマサ属)を主として、スズキ属(シヌマ属のトコロハムカ)を検出。
尾小原(一) W1-1	南西～2.1km	W1-2	マダラ属(リヤマサ属)を主として、シヌマ属(シヌマ属のトコロハムカ)を検出。

第38表 周辺遺跡土層の植物珪酸体分析結果



第109図 本道路と6道路の位置 (S=1/50,000)

4 陥し穴の剥ぎ取り方法

剥ぎ取りの対象は、本道跡二次調査で確認された陥し穴のうち、1号(SC1)と3号(SC3)の2つである。陥し穴上層剥ぎ取りは今回初めて行った。剥ぎ取り方法については鹿児島県指宿市教育委員会作成の資料を参考に行った。

実施したのは12月であり、乾燥する時間確保にやらや不安はあったが、何とか実施することができた。準備物と剥ぎ取り方法について説明する。

(1) 準備物

- 薬剤（トマックNS-10、サンコール）
- 寒冷沙（布、幅90cm×必要な長さ）
- 竹串2~300本（剥ぎ取り面積にもよる）
- 刷毛数本 小さなブラバケツ ゴム手袋 マスク
- 脚立 芽切り鉄 角スコップ ねじり鎌
- 補修用接着剤 コンバネ タッカー 角材 ネジ

(2) 剥ぎ取り方法

- ① 剥ぎ取る面の清掃
- ② 土層の分層
- ③ 薬剤（トマックNS-10）をブラバケツに小分けし、剥ぎ取り面に塗布
- ④ 寒冷沙を剥ぎとる面積に合わせて切り取り、薬剤（トマックNS-10）を塗布した上に、竹串を使って貼り付け
- ⑤ 貼り付けた寒冷沙の上にも同じ薬剤（トマックNS-10）を塗布
- ⑥ 乾燥（3~5時間）
- ⑦ 剥ぎ取り
- ⑧ 泥や砂(火山灰)などの水洗い
- ⑨ 接着の悪いところや必要以上に土が付着したところの補修
- ⑩ 補修した表面に薬剤（サンコール）を塗布し 表面加工
- ⑪ コンバネと角材で展示用枠の作成
- ⑫ タッカーで必要サイズに切り、コンバネにタッカーで打ちつけ
- ⑬ キャブションの取り付け
- ⑭ 展示

(3) 留意点

- ① 薬剤を塗布する場合、塗布する土層面の硬さの程度が剥ぎ取りを左右する。柔らか過ぎると薬剤とともに土層が落下してしまうことがある。
- ② 剥ぎ取り面は90度で実施した。薬剤が落下しやすいので極力必要な量の薬剤をムラなくすばやく塗布することが大切である。本来なら、もう少し頑固があつたほうが作業はしやすい。ただし、そうすると本来の土層厚とは違ってくるので要注意である。
- ③ 塗布してもどうしても土層と布の間が空いてしまうことがある。その場合は竹串を多用して極力空間をなくすようにする。
- ④ 薬剤は有機溶剤であるので、ゴム手袋やマスクは欠かせない。特に、空気がこもりがちな窪地での作業は要注意である。
- ⑤ 剥ぎ取り作業の際、剥ぎ取り面積が $2 \sim 3 m^2$ 程度なら2~3人で十分作業は可能である。しかし、それ以上になると7~8人程度確保したほうがよい。その際、剥ぎ取り部分の上と下でかなりの落差があると予想されるので、慎重に作業を進める。
- ⑥ 補修作業を進める際には、特にどの部分の補修が必要かを見極め、必要に応じて剥ぎ取った後の土層面の土をあらかじめ採取して、乾燥させておく必要がある。そうすることで接着剤での補修が可能になる。

(4) 作業風景

主な作業過程を写真で示す。

鉢し穴の土層剥ぎ取り作業過程



I 土層面に薬剤を塗布



II (同②)



III 寒冷沙の上からも薬剤を塗布



IV 塗布終了・乾燥



V 土層剥ぎ取り



VI (同②)



VII (同③)



VIII 剥ぎ取り後の補修作業

新富町・高鍋町で見つかった主な陥し穴と 集石遺構

一時木道跡

○陥し穴が見つかった遺跡

●陥し穴

()数字は陥し穴の数

真上から見た穴



図110図 新富町・高鍋町で見つかった主な陥し穴と集石遺構(平成16年4月24日)

横幅(m)

横から見た穴

【参考文献】

宮崎県埋蔵文化財センター発掘調査報告書第90集「東垣原第2遺跡」	2005
宮崎県埋蔵文化財センター発掘調査報告書第87集「東垣原第3遺跡」	2004
宮崎県埋蔵文化財センター発掘調査報告書第82集「西垣原第1遺跡・西垣原第2遺跡DK」	2004
松尾有年「宮崎県の竪し穴のうつりかわり」(東九州自動車道建設に伴う調査報告会)	2004
宮崎県埋蔵文化財センター発掘調査報告書第80集「北半牧第5遺跡・御座第3A遺跡」	2003
九州縄文研究会鹿児島県団体大会「九州における縄文時代のおとし・穴状遺構」	2004
鹿児島県埋蔵文化財センター発掘調査報告書第56集「前畠遺跡」	2003
指宿市教育委員会「指宿市における土器調査取り扱いと展示活用」	2002
佐藤公之「北方狩猟民の民族考古学」(北海道出版企画センター)	2000
佐藤公之「遺構研究 竪し穴」(『縄文時代研究の100年』縄文時代文化研究会)	1999
日高広人「九州における細石器文化期の遺構について」(『九州の細石器文化』九州旧石器文化研究会)	1998
日高広人「竪し穴(内崎類)」(『旧石器から縄文へ』鹿児島県考古学会・宮崎県考古学会・合同研究大会)	1995
今村啓爾「竪穴」(『縄文時代の研究 2 生業』雄山閣出版)	1994
金子浩吉「狩猟対象と技術」(『縄文時代の研究 2 生業』雄山閣出版)	1994
宮崎県史刊行会「宮崎県史 史通編 考古1」	1993
西本登弘「縄文時代のシカ・イノシシ狩猟」(『古代』早稲田大学考古学会)	1991
今村啓爾「霧ヶ丘遺跡に関する考察」(『霧ヶ丘』霧ヶ丘遺跡調査会)	1973



西畠原第2道路（二次調査） 北より



西畠原第2道路（三次調査） 北東より



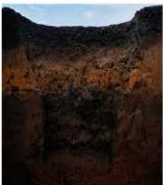
西畠原第2道路（二次・三次調査区） 北東より



西畠原第2道路（二次調査）SC3（陥し穴3号）とSC1（陥し穴1号） 南より



1号陥し穴 (SC 1) 半蔵状況 (南より)



1号陥し穴 (SC 1) 完掘状況 (南より)



2号陥し穴 (SC 2) 半蔵状況 (北西より)



2号陥し穴 (SC 2) 完掘状況 (北西より)



2号陥し穴 (SC 2) 底部 道具痕



二次調査 基本土塁 (北西より・南北壁)



3つの陥し穴、左から陥し穴2号、1号、3号 (真上より)



3号陥し穴 (SC 3) 半蔵状況 (南より)



3号陥し穴 (SC 3) 完掘状況 (南より)



第1文化層 石器ブロック (北西より)



第1文化層 石器ブロック (南東より)



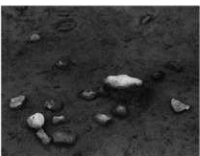
第1文化層 磚群 (St 1) (北西より)



第1文化層 磚群 (St 3) (東より)



第1・2文化層 A区北部磚群中央 (西より)



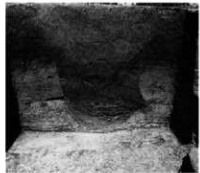
第2文化層 磚群 (St 5) (西より)



第2文化層 磚群 (St 6) (北西より)



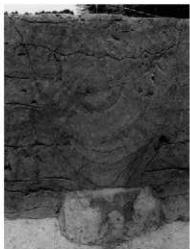
第2文化層 磚群 (St 7) (北より)



1号陷し穴 (SC 1) 半蔵状況 (南より)



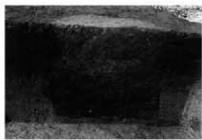
1号陷し穴 (SC 1) 完掘状況 (南より)



2号陷し穴 (SC 2) 土解トレンチ面の断面 (西より)



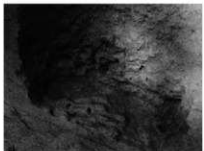
2号陷し穴 (SC 2) 完掘状況 (南西より)



3号陷し穴 (SC 5) 半蔵状況 (南西より)



3号陷し穴 (SC 5) 完掘状況 (南東より)



3号掘し穴 (SC 5) 底部道具痕 (南東より)



不明土坑 (SC 6) 平載状況 (南東より)



集石遺構 (SC 8) (南東より)



集石遺構 (SC 9) (西より)



集石遺構 (SC 10) (西より)



集石遺構 (SC 10) (東側面より)

図版8（三次調査）



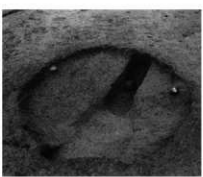
集石遺構 (SC11) (北より)



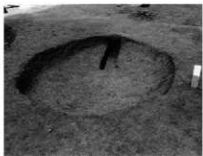
縄文時代早期 小窪群 (B区北) (南西より)



集石遺構 (SI13・12) (北東より)



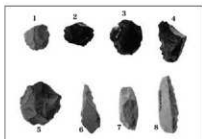
地上を伴う土坑 (SC3) 完掘状況 (南西より)



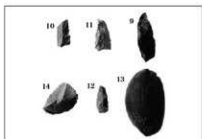
不明土坑 (SC4) 完掘状況 (南西より)



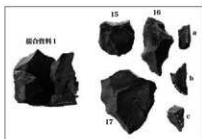
道路状遺構 (SG1) (北東より)



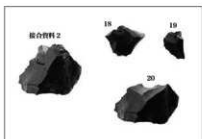
二次調查 第1文化層 石器 (1)



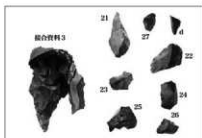
二次調查 第1文化層 石器 (2)



二次調查 第1文化層 石器 (3) 接合資料 1



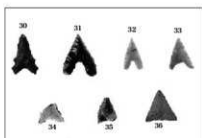
二次調查 第1文化層 石器 (4) 接合資料 2



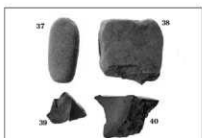
二次調查 第1文化層 石器 (5) 接合資料 3



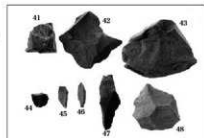
二次調查 第1文化層 石器 (6) 接合資料 4



二次調查 銅文時代早期 石器

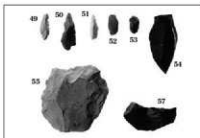


三次調查 第1文化層 石器 (1)



41~43 三次調查 第Ⅰ文化層 石器 (2)

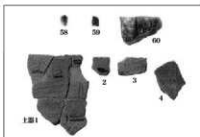
44~48 三次調查 第Ⅱ文化層 石器



三次調查 第Ⅲ文化層 石器 (1)

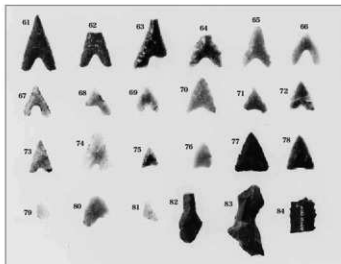


三次調查 第Ⅲ文化層 石器 (2)



58~60 三次調查 第Ⅳ文化層 石器

土器1~4 三次調查 龜文時代早期 土器片



三次調查 龜文時代早期 石器

報告書抄録

ふりがな	にしうねわらだいざいせき 2じ・3じちょうさ						
書名	西椎原第2道路 二次・三次調査						
調査名	東九州自動車道（那珂～西都原）建設に伴う埋蔵文化財発掘調査報告書						
巻次	17						
シリーズ名	宮崎県埋蔵文化財センター発掘調査報告書						
シリーズ番号	第109集						
編著者名	安藤真二						
発行機関	宮崎県埋蔵文化財センター						
所在地	〒880-0212 宮崎市佐土原町大字下那珂4019番地 TEL 0985-36-1171						
発行年月日	2005年3月18日						
ふりがな 所取遺跡名	ふりがな 所在地	コード	北緯	東經	調査期間	調査面積	調査原因
西椎原第2 道路 二次調査	宮崎県児湯 市新田 大学新田	45402	32° 06' 15" 付近	131° 27' 11" 付近	2002.9.24 ～ 2002.12.26	二次調査 760m ²	東九州自動車 道（那珂～西 都原）建設に 伴う発掘調査
西椎原第2 道路 三次調査	宇都原(二次) ・吐合(三次)				2003.4.3 ～ 2003.12.25	三次調査 3,700m ²	
所取遺跡名	種別	主な時代	主な遺構	主な遺物	特記事項		
西椎原第2 道路 二次・三次 調査	散布地	旧石器時代 縄文時代早期	礫群 石器ブロック2箇所 陥し穴 不明土坑 集石遺構 土坑 道路状遺構	9基 2箇所 6基 1基 6基 4基 1条	ナイフ形石器・嵌石 台石・磨石・スクレ イバー・角錐状石器 三棱尖頭器・打製石 斧・石核・石礫・石 錐・二次加工剥片・ 縄文土器		

宮崎県埋蔵文化財センター発掘調査報告書第109集

西畠原第2(二次・三次)遺跡

東九州自動車道建設（都農～西都間）に伴う

埋蔵文化財発掘調査報告書17

2005年3月

発行 宮崎県埋蔵文化財センター

〒880-0212 宮崎郡都佐土原町大字下那珂4019番地

TEL 0985(36)1171 FAX 0985(72)0660

印刷 藤屋写真印刷株式会社

〒883-0045 宮崎県日向市本町7-15

TEL 0982(52)7171 FAX 0982(56)1208
